

**DESAIN SISTEM KONTROL KECEPATAN PELONTAR
SHUTTLECOCKPADAROBOT DIVISI KONTES ROBOT ABU
INDONESIA
SKRIPSI**

TEKNIK ELEKTRO KONSENTRASI TEKNIK KONTROL

Ditujukan untuk memenuhi persyaratan

memperoleh gelar Sarjana Teknik



**MUHAMMAD SYAFEI
NIM 155060301111024**

UNIVERSITAS BRAWIJAYA

**FAKULTAS TEKNIK
MALANG**

2019



*Teriring Ucapat Terima Kasih kepada:
Ayahanda dan Ibunda Tercinta*







LEMBAR ORISINALITAS SKRIPSI

Saya menyatakan dengan sebenar-benarnya bahwa sepanjang pengetahuan saya dan berdasarkan hasil penelusuran berbagai karya ilmiah, gagasan dan masalah ilmiah yang diteliti dan diulas di dalam Naskah Skripsi ini adalah asli dari pemikiran saya. tidak terdapat karya ilmiah yang pernah diajukan oleh orang lain untuk memperoleh gelar akademik di suatu Perguruan Tinggi, dan tidak terdapat karya atau pendapat yang pernah ditulis atau diterbitkan oleh orang lain, kecuali yang secara tertulis dikutip dalam naskah ini dan disebutkan dalam sumber kutipan dan daftar pustaka.

Apabila ternyata di dalam naskah Skripsi ini dapat dibuktikan terdapat unsur-unsur jiplakan, saya bersedia Skripsi dibatalkan, serta diproses sesuai dengan peraturan perundang-undangan yang berlaku (UU No. 20 Tahun 2003, pasal 25 ayat 2 dan pasal 70).

Malang, 6 Januari 2020

Mahasiswa,

Muhammad Syafei
NIM.155060301111024





RINGKASAN

Muhammad Syafei, Jurusan Teknik Elektro, Fakultas Teknik Universitas Brawijaya,

Desember 2019, Desain Sistem Kontrol Kecepatan Pelontar *Shuttlecock*Pada Robot Divisi

Kontes Robot Abu Indonesia, Dosen Pembimbing 1: Moch Rusli, Dosen Pembimbing 2:

Erni Yudaningtyas

Kontes Robot ABU Indonesia adalah salah satu divisi yang diperlombakan dalam ajang

Kontes Robot Indonesia yang diselenggarakan setiap tahunnya oleh Direktorat Jenderal

Pendidikan Tinggi. Tema dan aturan pelombaon Kontes Robot ABU Indonesia mengacu

pada *Asia-Pacific Broadcasting Union Robocon*. Tema dan aturan tersebut berbeda setiap

tahunnya tergantung dengan tuan rumah penyelenggara *Asia-Pacific Broadcasting Union*

Robocon. Pelontar *shuttlecock* adalah salah satu mekanisme yang digunakan pada robot pada perlombaan dengan mengacu pada perlombaan Kontes Robot ABU Indonesia tahun

2018. Pelontar digerakkan oleh motor DC dan kecepatan putar dibaca oleh sensor *rotary encoder*. Kontroler yang digunakan adalah kontroler Proposional Integral. Penentuan

parameter kontroler Kp dan Ki dilakukan dengan menggunakan metode *Root Locus* dan didapatkan nilai parameter kontroler $K_p = 0.748755$ dan $K_i = 2.5$. Setelah dilakukan

pengujian pada sistem didapatkan nilai *settling time* rata-rata sebesar 56.34 milidetik pada pengujian tanpa beban, 259.13 milidetik pada pengujian berbeban, nilai *error steady state*

kurang dari 2.1% dan *overshoot* kurang dari 5.1%.

Kata Kunci: Motor DC, Kontroler PI, *Root Locus*, *Throwing Mechanism*.



SUMMARY

Muhammad Syafei, *Department of Electrical Engineering, Faculty of Engineering,*

Brawijaya University, December 2019, Speed Control of Shuttlecock Thrower on

Indonesia Abu Robot Contest division, Supervisor 1:Moch Rusli, Supervisor 2:Erni

Yudaningtyas,

The Indonesian aburobot contest is one of the divisions competed in the Indonesian robot

contest held annually by the Direktorat Jenderal Pendidikan Tinggi. The theme and rules of

the Indonesia Abu robot contest refer to the Asia Pacific Broadcasting Union Robocon.

The themes and rules differ each year depending on the hosts of Asia Pacific Broadcasting

Union Robocon organizers.Shuttlecockthrowing mechanism is one of the main

mechanismto use at Indonesia abu robot contest event 2018. The throwing mechanism is

driven by a DC motor and the speed is read by the rotary encoder sensor. The controller

used is the PI controller. Kp and Ki controller parameters are determined using the Root

Locus method and obtained controller parameter values $K_p = 0.748755$ and $K_i = 2.5$.

After testing on the system, the average settling time is 56.34 milliseconds on load-free

testing, 259.13 milliseconds on load testing, steady state error value is less than 2.1% and

overshoot is less than 5.1%.

Keywords: DC Motor, PI Controller, Root Locus, Throwing Mechanism.



DAFTAR ISI	
RINGKASAN	i
SUMMARY	iii
PENGANTAR	v
DAFTAR GAMBAR	ix
DAFTAR TABEL	xi
BAB I PENDAHULUAN	1
1.1 Latar Belakang	1
1.2 Rumusan Masalah	2
1.3 Batasan Masalah	2
1.4 Tujuan	2
1.5 Manfaat	3
BAB II TINJAUAN PUSTAKA	5
2.1 <i>Shuttlecock</i>	5
2.2 Motor DC	5
2.3 <i>Rotary encoder</i>	8
2.4 Driver Motor H-bridge	9
2.5 Mikrokontroler STM32F407VGT6	10
2.6 <i>Pulse Width Modulation (PWM)</i>	12
2.7 Kontroler	12
2.6.1 Kontroler Proporsional	13
2.6.2 Kontroler Integral	13
2.6.3 Kontroler PI (Proporsional Integral)	14
2.7 Root Locus	15
BAB III METODE PENELITIAN	17
3.1 Perancangan Blok Diagram Sistem	17
3.2 Spesifikasi Desain	18

3.3	ver Penentuan <i>Setpoint</i>	18
3.4	Karakterisasi Motor DC	20
3.5	Karakteristik Driver Motor	22
3.6	ver Penentuan Fungsi Alih Motor DC	24
3.7	Penentuan Parameter Kontroler PI dengan Metode <i>Root Locus</i>	27
3.8	Pembuatan Perangkat Keras	37
3.9	Pembuatan Algoritma dan Program	42
3.10	Perancangan Pengujian Sistem	42
BAB IV HASIL DAN PEMBAHASAN		45
4.1.	Pengujian Sistem Tanpa Beban	45
4.2.	Pengujian Sistem Berbeban	48
4.3.	Pengujian Sistem dengan Variasi Beban	51
4.4.	Pengujian Sifat Reversibel Sistem	55
BABV KESIMPULAN		57
DAFTAR PUSTAKA		59

DAFTAR GAMBAR	
<i>Gambar 2.1 Shuttlecock</i>	5
<i>Gambar 2.2 Rangkaian ekivalen motor DC magnet permanen</i>	7
<i>Gambar 2.3 Diagram blok pengontrolan motor DC magnet permanen</i>	7
<i>Gambar 2.4 Motor DC PG45</i>	8
<i>Gambar 2.5 Rotary encoder</i>	9
<i>Gambar 2.6 Driver Motor VNH3SP30</i>	10
<i>Gambar 2.7 Rangkaian H-Bridge</i>	10
<i>Gambar 2.8 STM32F407VGT6</i>	11
<i>Gambar 2.9 Duty Cycle Pada Sinyal PWM</i>	12
<i>Gambar 2.10 Diagram Blok Kontroler Proporsional</i>	13
<i>Gambar 2.11 Diagram Blok Kontroler Integral</i>	14
<i>Gambar 2.12 Diagram Blok Kontoler PI (Proporsional Integral)</i>	15
<i>Gambar 2.13 Sistem kontrol loop tertutup</i>	15
<i>Gambar 3.1 Blok Diagram Sistem</i>	17
<i>Gambar 3.2 Lapangan lomba</i>	19
<i>Gambar 3.3 Pengujian motor DC</i>	21
<i>Gambar 3.4 Hasil pengujian driver motor</i>	24
<i>Gambar 3.5 Sinyal Masukan PRBS dan Keluaran Motor DC</i>	25
<i>Gambar 3.6 System Idenctification Toolbox</i>	25
<i>Gambar 3.7 Hasil Estimasi Model</i>	26
<i>Gambar 3.8 Model continuous fungsi alih motor DC</i>	26
<i>Gambar 3.9 Validasi fungsi alih motor DC</i>	27
<i>Gambar 3.10 Penentuan pole pada diagram Root Locus</i>	29
<i>Gambar 3.11 Keluaran sitem dengan nilai Kp 0,169341 dan Ki 1</i>	31
<i>Gambar 3.12 Keluaran sistem dengan nilai Kp 0,238212 dan Ki 1,5</i>	31
<i>Gambar 3.13 Keluaran sistem dengan nilai Kp 0,307082 dan Ki 2</i>	32
<i>Gambar 3.14 Keluaran sistem dengan nilai Kp 0,375953 dan Ki 2,5</i>	32
<i>Gambar 3.15 Keluaran sistem dengan nilai Kp 0,444823 dan Ki 3</i>	33
<i>Gambar 3.16 Keluaran sistem dengan nilai Kp 0,513694 dan Ki 3,5</i>	34
<i>Gambar 3.17 Keluaran sistem dengan nilai Kp 0,582564 dan Ki 4</i>	34
<i>Gambar 3.18 Keluaran sistem dengan nilai Kp 0,651435 dan Ki 4,5</i>	35
<i>Gambar 3.19 Keluaran sistem dengan nilai Kp 0,720305 dan Ki 5</i>	36

<i>Gambar 3.20 Keluaran sistem dengan nilai K_p 0,789176 dan K_i 5,5</i>	36
<i>Gambar 3.21 Skema pembuatan perangkat keras</i>	38
<i>Gambar 3.22 Baterai LiPo 3S</i>	38
<i>Gambar 3.23 Mikrokontroler STM32F407</i>	38
<i>Gambar 3.24 Sensor rotary encoder</i>	39
<i>Gambar 3.25 Driver motor VNH3SP30</i>	39
<i>Gambar 3.26 Motor DC planetary gearbox</i>	39
<i>Gambar 3.27 PC atau komputer</i>	40
<i>Gambar 3.28 Foto alat tampak depan</i>	40
<i>Gambar 3.29 Foto pengkabelan alat</i>	41
<i>Gambar 3.30 Flowchart Pemrograman</i>	42
<i>Gambar 4.1 Keluaran sistem tanpa beban dengan setpoint 100 RPM</i>	45
<i>Gambar 4.2 Keluaran sistem tanpa beban dengan setpoint 125 RPM</i>	46
<i>Gambar 4.3 Keluaran sistem tanpa beban dengan setpoint 150 RPM</i>	47
<i>Gambar 4.4 Keluaran sistem berbeban dengan setpoint 100 RPM</i>	48
<i>Gambar 4.5 Keluaran sistem berbeban dengan setpoint 125 RPM</i>	49
<i>Gambar 4.6 Keluaran sistem berbeban dengan setpoint 150 RPM</i>	50
<i>Gambar 4.7 Keluaran sistem dengan beban 308 gr</i>	52
<i>Gambar 4.8 Keluaran sistem dengan beban 318 gr</i>	53
<i>Gambar 4.9 Keluaran sistem dengan beban 325 gr</i>	54
<i>Gambar 4.10 Keluaran sistem dengan beban 328 gr</i>	54
<i>Gambar 4.11 Keluaran pada pengujian sifat reversibel sistem</i>	56

	DAFTAR TABEL	
Tabel 3.1 Setpoint.....	20
Tabel 3.2 Data pengujian sensor kecepatan <i>rotary encoder</i>	20
Tabel 3.3 Data pengujian driver motor.....	23
Tabel 3.4 Nilai parameter K_p dan K_i	30
Tabel 3.5 Data Pengujian Parameter Kontroler	37
Tabel 4. 1 Data Hasil Pengujian Sistem Tanpa Beban dan Berbeban	51
Tabel 4. 2 Data Pengujian Sistem dengan Variasi Beban	55





1.1 Latar Belakang

Kontes Robot Indonesia (KRI) adalah ajang kompetisi rancang bangun dan rekayasa dalam bidang robotika yang diselenggarakan oleh Direktorat Kemahasiswaan, Direktorat Jenderal Pembelajaran dan kemahasiswaan, Kementerian Riset, Teknologi, dan Pendidikan Tinggi Republik Indonesia. Kontes robot Indonesia ini dapat diikuti oleh tim mahasiswa pada Perguruan Tinggi yang tercatat di kemenristekdikti. Pada ajang KRI terdapat lima kategori robot yang dilombakan yaitu Kontes Robot Seni Tari Indonesia (KRSTI), Kontes Robot Sepak Bola Indonesia (KRSBI) humanoid dan beroda, Kontes Robot Pemadam Api Indonesia (KRPAI) dan Kontes Robot ABU Indonesia (KRAI).

Sejak Tahun 2001 dan seterusnya, Kontes Robot Indonesia (KRI) diadakan setiap tahun sekali. Dengan mengambil tema yang sesuai dengan tema yang digunakan dalam ABU Robocon agar tim dari Indonesia dapat menjadi salah satu peserta yang mewakili negara Indonesia. Tema dan aturan pada KRAI setiap tahunnya selalu berubah tergantung dengan negara tuan rumah ABU Robocon.

Pada tema ABU Robocon 2018 yang mengacu pada permainan tradisional Vietnam Lempar Bola Berkah. Game ini dimainkan dengan melemparkan *shuttlecock* melewati lingkaran yang ditempatkan diatas tiang yang berdiri secara vertikal dan harus mendarat pada titik yang ditentukan. Salah satu mekanisme melontar adalah dengan menggunakan lengan pelontar yang sumbu putarnya disambung dengan motor DC sebagai penggerak.

Motor DC adalah motor listrik yang memerlukan suplai tegangan arus searah pada kumparan medan untuk diubah menjadi energi mekanik. Motor DC yang digunakan pada penelitian kali ini adalah motor DC PG45. Motor DC PG45 adalah motor DC yang telah digabungkan dengan *rotary encoder* dan juga gearbox untuk menambahkan torsi motor tersebut. Dalam penelitian pendahuluan untuk menggunakan motor DC sebagai aktuator dalam pelontar *shuttlecock* yang sudah dilakukan yaitu tanpa menggunakan kontroler. Didapatkan kecepatan motor kurang dari kecepatan yang diinginkan, atau kecepatan berlebih. Untuk itu dibutuhkan pengontrol kecepatan dari motor pelontar *shuttlecock*. Agar kecepatan sesuai dengan yang diinginkan.

Dibutuhkan sebuah kontroler untuk mengatur kecepatan motor DC. Terdapat beberapa macam tipe kontroler seperti kontroler proporsional (P) yang berfungsi untuk mempercepat *rise time*, kontroler integral (I) berfungsi mengurangi *error steady state*, proporsional

2

integral (PI) gabungan dari kontroler proporsional (P) dan integral (I), dan proporsional integral diferensial (PID). Berdasarkan karakteristik dari masing-masing kontroler maka pada penilitian ini digunakan kontroler proporsional integral (PI) adalah aksi kontrol yang memiliki keluaran cepat, dan menghilangkan *error steady state* sehingga sesuai untuk mengontrol motor DC. (R. Selvy, 2016). Dengan menggunakan kontroler PI pada kontrol kecepatan motor DC pada penelitian ini. Kontroler PI sendiri membutuhkan parameter K_p dan K_i yang harus dicari terlebih dahulu. Maka dibutuhkan sebuah metode untuk menentukan parameter kontroler PI.

Metode *Root Locus* merupakan cara perhitungan atau metode untuk mencari parameter PID dengan mencari fungsi alih suatu sistem langsung dari perhitungan spesifik dari aktuator dan sensornya yang kemudian dicari beberapa letak pole sistemnya. Metode ini memungkinkan untuk menentukan pole dari sistem secara manual sehingga bisa diganti apabila tidak sesuai dengan yang diharapkan.

1.2 Rumusan Masalah

Berdasarkan latar belakang yang telah dikemukakan sebelumnya, maka rumusan masalah dalam skripsi ini ditekankan pada:

1. Bagaimana merancang sistem kontrol kecepatan pada pelontar *shuttlecock* robot divisi KRAI
2. Bagaimana keluaran sistem setelah diberi kontroler PI.
3. Bagaimana keluaran sistem setelah diberikan nilai *setpoint* berbeda.
4. Bagaimana keluaran sistem setelah diberi gangguan.

1.3 Batasan Masalah

Demi terfokusnya objek pengkajian, maka dilakukan pembatasan masalah. Adapun batasan masalah pada skripsi ini adalah:

1. Metode penentuan parameter kontroler yang digunakan adalah *Root Locus*
2. Motor yang digunakan adalah motor DC PG45
3. Tegangan yang digunakan pada motor DC adalah 24V
4. Tegangan mikrokontroler adalah 5V
5. Alat ini hanya bekerja dengan efisien pada *duty cycle* 85% – 100%

1.4 Tujuan

Tujuan yang ingin dicapai dari skripsi ini adalah dapat merancang dan membuat sistem kontrol kecepatan motor pada sistem pelontar *shuttlecock* pada robot KRAI.





1.5 Manfaat

Penelitian skripsi ini diharapkan mampu memberikan manfaat sekurang – kurangnya antara lain:

1. Bagi Peneliti

Sebagai sarana belajar dan sebagai wadah untuk mengimplementasikan ilmu pengetahuan yang didapat selama masa perkuliahan.

2. Bagi Tim Robotika

Agar dapat digunakan sebagai acuan apabila diadakan kembali rule lomba yang menggunakan pelontar dengan prinsip kerja yang serupa.

3. Bagi Calon Peneliti

Sebagai sumber referensi dalam pembelajaran dan penelitian yang serupa sehingga dapat menambah dan memperkaya wawasan peneliti berikutnya.

4



2.1 Shuttlecock

Konsep dari tema ABU Robocon 2018 berdasarkan permainan tradisional Vietnam “NÉM CÒN” atau lempar bola berkah. Game ini dimainkan dai halaman terbuka dengan bambu yang ditancapkan di tengah lapangan dengan tinggi 15m, dengan bambu berbentuk lingkaran yang di letakkan di atas tiang bambu tersebut.

Inti dari permainan ini terletak pada “CÒN” atau dalam *rule* kali ini disebut dengan *shuttlecock*. *Shuttlecock* disini dibuat dengan bentuk bulat berisikan kapas dan beras, yang melambangkan kemakmuran dan kebahagiaan. *Shuttlecock* digantung dengan tali yang dijait ditengah-tengah *shuttlecock* dan diberi hiasan berupa kain warna-warni yang dijait pada sisi *shuttlecock*. Saat dimainkan *shuttlecock* dipegang pada ujung tali dan diputar searah jarum jam beberapa kali dan dilemparkan kearah tengah lingkaran. Jika *shuttlecock* berhasil melewati lingkaran maka pemain dianggap menang. *Shuttlecock* terbang menggambarkan naga terbang yang ikonik dengan kekuatan manusia dan semesta. Gambar dari *shuttlecock* dapat dilihat dalam Gambar 2.1



Gambar 2.1 Shuttlecock

2.2 Motor DC

Motor DC merupakan motor listrik yang sangat sering di gunakan sebagai elemen kontrol akhir dalam sistem kontrol posisi dan kecepatan. Prinsip kerja motor dc sesuai

6

dengan hukum Lorentz, apabila arus dialirkan melalui kumparan jangkar dari mesin DC dan kumparan medannya diberi penguatan, maka akan timbul Gaya Lorentz pada tiap sisi kumparan jangkar tersebut (Soemarwanto, 2010)

Besar gaya Lorentz yang di timbulkan motor DC adalah

$$F = B \cdot I \cdot l \text{ dyne}$$

dengan:

B = kerapatan medan magnetik (Gauss).

I = arus listrik (Ampere).

l = panjang konduktor (cm).

Akibat timbulnya gaya lorentz, maka timbul kopel yang besarnya adalah:

$$\text{Kopel: } M = F \times r \text{ dyne-cm}$$

Dimana:

r = jari jari jangkar (cm)

$$M = B \cdot I \cdot l \cdot r \text{ dyne-cm}$$

Apabila jumlah: $M = z \cdot B \cdot I \cdot l \cdot r \text{ dyne-cm}$

$$\text{Karena } B = \frac{\phi}{A}$$

dimana:

ϕ = fluksi tiap kutub (Maxwell)

A = Luas penampang (cm^2)

z = jumlah konduktor di jangkar

$$\text{maka: } M = z \cdot \frac{\phi}{A} \cdot I \cdot l \cdot r$$

Motor *Direct Current* (DC) merupakan aktuator yang banyak digunakan dalam teknologi kontrol. Motor DC memerlukan suplai tegangan yang searah pada kumparan medan untuk diubah menjadi energi mekanik. Catu tegangan DC dari baterai menuju ke lilitan melalui sikat yang menyentuh komutator, dua segmen yang terhubung dengan dua ujung lilitan. Kumparan dalam satu lilitan disebut *armature* (jangkar). *Armature* adalah sebutan untuk komponen yang berputar di antara medan magnet.

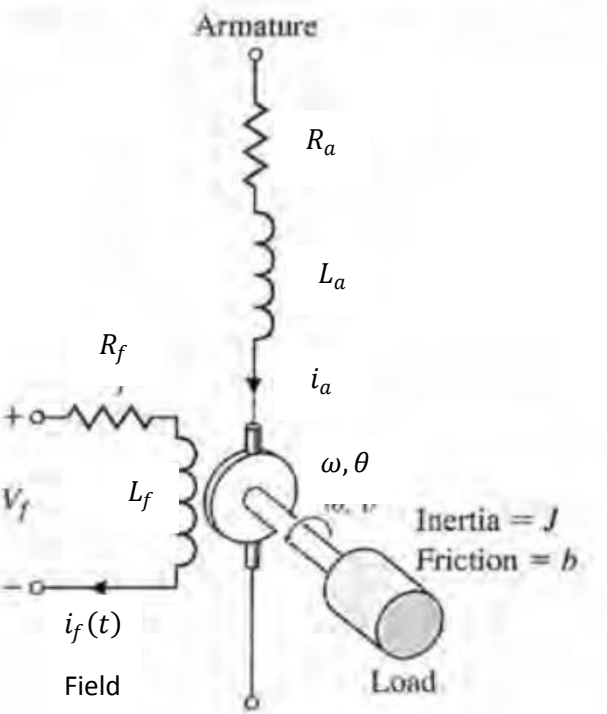
Rangkaian ekivalen motor DC magnet permanen dapat dilihat dalam Gambar 2.2.

(2-1)

(2-2)

(2-3)

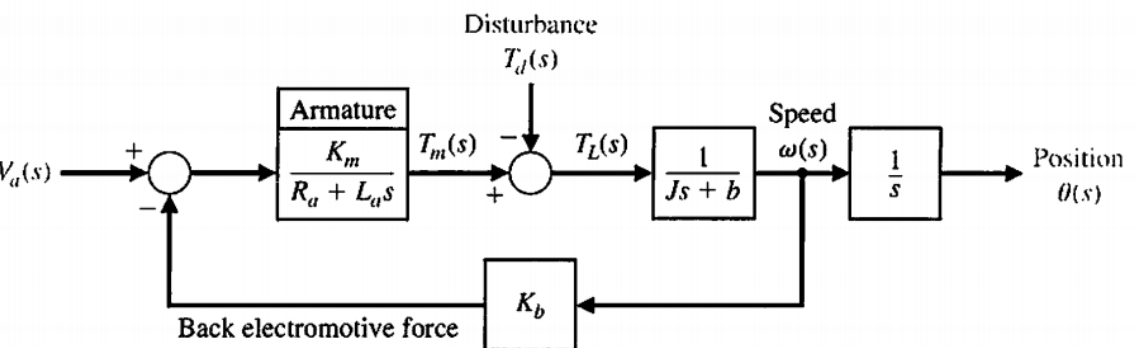




Gambar 2.2 Rangkaian ekivalen motor DC magnet permanen

Sumber: Dorf, R C. & Bishop, R. H., 2011

Pada motor DC magnet permanen, arus kumparan medan I_f dibuat konstan Diagram blok pengontrolan kecepatan motor DC magnet permanen dapat dilihat dalam Gambar 2.3.



Gambar 2.3 Diagram blok pengontrolan motor DC magnet permanen

Sumber: Dorf, R. C & Bishop, R. H., 2011

Apabila *disturbance* (gangguan) $T_d(s)=0$, maka fungsi alih motor DC adalah

$$\frac{\omega(s)}{V_a(s)} = \frac{K_m}{(R_a + L_a s)(J s + b) + (K_b K_m)}$$

dengan:

K_m = konstanta motor

K_m = konstanta *back electromotive force*

K_m = resistansi *armature*

K_m = resistansi *armature*



8 Universitas Brawijaya
Universitas Brawijaya
Universitas Brawijaya
awijaya **Jive = inersia**
awijaya **bive = gesekan**
awijaya Salah satu jenis motor DC magnet permanen adalah motor DC PG45 seperti terlihat dalam Gambar 2.4



Gambar 2.4 Motor DC PG45

2.3 *Rotary encoder*

Rotary encoder adalah alat elektromekanik yang dapat memonitor gerakan dan posisi. *Rotary encoder* umumnya menggunakan sensor optik untuk menghasilkan serial pulsa yang dapat diartikan menjadi gerakan, posisi, dan arah. Sehingga posisi sudut suatu poros benda berputar dapat diolah menjadi informasi berupa kode digital oleh *rotary encoder* untuk diteruskan oleh rangkaian kontrol. *Rotary encoder* umumnya digunakan pada pengontrolan robot, motor *driver*, dsb.

Rotary encoder tersusun dari suatu piringan tipis yang memiliki lubang-lubang pada bagian lingkaran piringan. *Light Emitting Diode* (LED) ditempatkan pada salah satu sisi piringan sehingga cahaya akan menuju ke piringan. Di sisi yang lain suatu *photo-transistor* diletakkan sehingga *photo-transistor* ini dapat mendeteksi cahaya dari LED yang berseberangan. Piringan tipis tadi dikopel dengan poros motor, atau divais berputar lainnya yang ingin kita ketahui posisinya, sehingga ketika motor berputar piringan juga akan ikut berputar. Apabila posisi piringan mengakibatkan cahaya dari LED dapat mencapai *photo-transistor* melalui lubang-lubang yang ada, maka *photo-transistor* akan mengalami saturasi dan akan menghasilkan suatu pulsa gelombang persegi. Semakin banyak deretan pulsa yang dihasilkan pada satu putaran menentukan akurasi *rotary encoder* tersebut, akibatnya semakin banyak jumlah lubang yang dapat dibuat pada piringan menentukan akurasi *rotary*

encoder tersebut. Bentuk fisik dari *rotary encoder* omron E6C2 dapat dilihat dalam Gambar 2.5.



Gambar 2.5 Rotary encoder

Sumber: www.omron.com

2.4 Driver Motor H-bridge

Driver motor DC tipe H-Bridge menggunakan Power Driver berupa transistor, transistor ini berfungsi sebagai saklar yaitu dengan menghasilkan keadaan on dan keadaan off. Keadaan off/tutup merupakan suatu keadaan dimana tidak ada arus yang mengalir. Keadaan on/buka merupakan satu keadaan yang mana arus bisa mengalir dengan bebas atau dengan kata lain (secara ideal) tidak ada resistivitas dan besar voltase pada saklar sama dengan nol (Rahmat. A, 2019).

Driver Motor H-Bridge MOSFET merupakan bagian yang berfungsi untuk mengendalikan motor BLDC yang mengatur arah putaran motor maupun kecepatan putar motor bergantung dari nilai tegangan yang dimasukan pada masukan driver itu sendiri.

Driver motor yang digunakan pada perancangan ini adalah driver motor VNH3SP30.

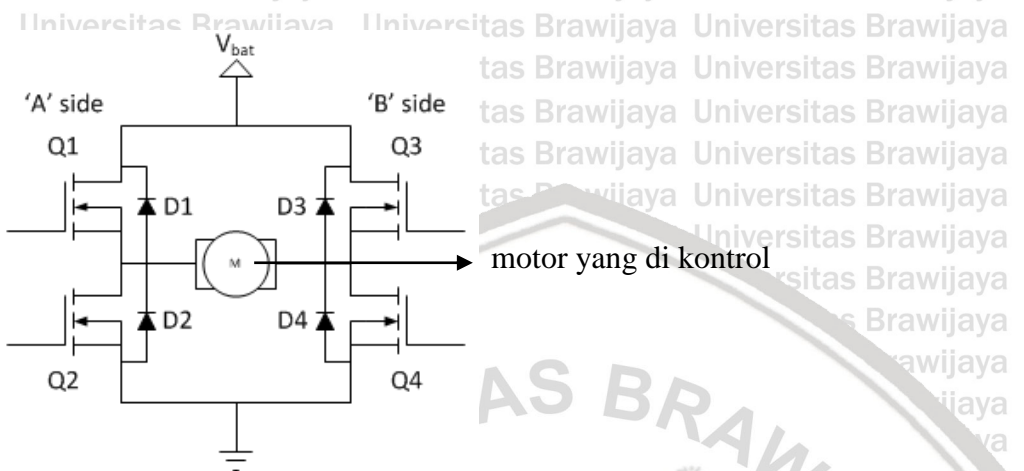
Driver motor VNH3SP30 dapat dilihat dalam Gambar 2.6.



Gambar 2.6Driver Motor VNH3SP30

H-Bridge merupakan rangkaian yang berfungsi untuk mengatur arah pergerakan motor.

Diberi nama rangkaian H-Bridge karena bentuk dari rangkaian yang menyerupai huruf H seperti dalam Gambar 2.7.

**Gambar 2.7**Rangkaian H-Bridge

Sumber: Rahmat. A, 2019

Rangkaian ini terdiri dari dua buah MOSFET kanal P dan dua buah MOSFET kanal N.

Prinsip kerja rangkaian ini adalah dengan mengatur mati-hidupnya ke empat MOSFET tersebut. Huruf M pada Gambar adalah motor DC yang akan dikontrolkan. Bagian atas rangkaian akan dihubungkan dengan sumber daya kutub positif, sedangkan bagian bawah rangkaian akan dihubungkan dengan sumber daya kutub negatif. Pada saat MOSFET A dan MOSFET D *on* sedangkan MOSFET B dan MOSFET C *off*, maka sisi kiri dari gambar motor akan terhubung dengan kutub positif dari catu daya, sedangkan sisisebelah kanan motor akan terhubung dengan kutub negatif dari catu daya sehingga motor akan bergerak searah jarum jam. Tabel logika aksi motor ditunjukkan dalam Tabel 2.1

Tabel 2.1 Tabel Logika Aksi Motor

Sumber: Rahmat. A, 2019

Q1	Q2	Q3	Q4	Arah Putaran
ON	OFF	OFF	ON	Motor berputar searah jarum jam
OFF	ON	ON	OFF	Motor berputar berlawanan arah jarum jam
ON	OFF	ON	OFF	Pengereman
OFF	ON	OFF	ON	Pengereman
OFF	OFF	OFF	OFF	Bebas

2.5 Mikrokontroler STM32F407VGT6

STM32F407VGT6 didasarkan pada kinerja tinggi ARM®Cortex®-M4 32-bit RISC yang beroperasi pada frekuensi hingga 168 MHz. Inti Cortex-M4 dilengkapi dengan

akurat *Floating Point Unit* (FPU) tunggal yang mendukung semua instruksi pemrosesan data dan tipe data presisi tunggal *Advanced RISC Machine*(ARM). Ini juga mengimplementasikan satu set lengkap instruksi *Digital Signal Processing*(DSP) dan *memory Protection Unit* (MPU) yang meningkatkan keamanan aplikasi. Mikrokontroler STM32F407VGT6 dapat dilihat dalam Gambar 2.8.



Gambar 2.8 STM32F407VGT6

STM32F407VGT6 menggabungkan memori tertanam berkecepatan tinggi (memori Flash hingga 1 Mbyte, hingga 192 Kbytes *Static Random Acces Memory*(SRAM)), hingga 4 Kbytes SRAM cadangan, dan rentang luas I / Os yang disempurnakan dan peripheral yang terhubung ke dua *Advanced Peripheral Bus* (APB) bus, tiga bus *Advanced High performance Bus*(AHB) dan matriks bus multi-AHB 32-bit. Spesifikasi dari mikrokontroler STM32F407VGT6 dapat dilihat dalam Tabel 2.2

Tabel 2.2 Spesifikasi mikrokontroler STM32F407VGT6

Sumber: Rahmat. A, 2019

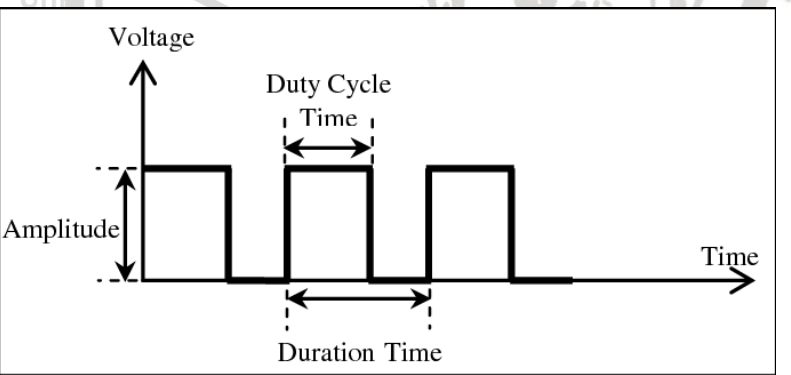
Core	Cortex-M4F 8
Memory	1MB Flash
RAM	192KB SRAM
Debug Mode	Serial Wire Debug (SWD) & JTAG Interface
Package	LQFP100
I/O Pins	82
Timer (16-bit)	12
Advanced Control Timers	2

12	General Purpose Timers	a 10
	Basic Timers	2
	PWM Channels	6
	ADC (12-bit)	3 (16 Channel)
	I2C (TWI)	3
	USART	4
	SPI	3 Full Duplex
	DMA	2 (8Channel)
	USB	1 (2,0 Full Speed)
	CAN	2 (2,0 Active)
	Supply Voltage	1,8 – 36V

2.6 Pulse Width Modulation(PWM)

Pulse Width Modulation(PWM) adalah sebuah teknik modulasi dengan cara memanipulasi lebar pulsa dengan frekuensi dan amplitudo yang sama untuk mendapatkan tegangan rata-rata yang berbeda. Sinyal PWM memiliki amplitudo dan frekuensi yang tetap namun memiliki lebar pulsa / *duty cycle* yang bervariasi antara 0% hingga 100%.

Duty cycle merupakan perbandingan antara pulsa positif terhadap total pulsa yang dinyatakan dalam persen. Duty cycle pada sinyal PWM dapat dilihat dalam Gambar 2.9.



Gambar 2.9 Duty Cycle Pada Sinyal PWM

Sumber: Mokhtar, 2013

2.7 Kontroler

Kontroler adalah sebuah subsistem dinamis yang dimasukkan ke dalam suatu sistem untuk memanipulasi suatu persamaan matematis sebuah *plant*. Secara umum kontroler juga dikenal dengan istilah kompensator, pengendali (Ogata, 2010).

Salah satu fungsi kontroler adalah mengurangi *error* yang merupakan selisih antara nilai *setpoint* dengan keluaran *plant*. *Setpoint* adalah nilai referensi atau nilai yang diinginkan, sedangkan keluaran *plant* adalah nilai aktual yang terukur pada keluaran *plant*. Semakin kecil nilai *error* maka kinerja sistem kontrol dinilai semakin baik.



Prinsip kerja kontroler adalah membandingkan nilai keluaran *plant* dengan nilai *setpoint*, menentukan nilai *error* dan akhirnya menghasilkan sinyal kontrol untuk meminimalkan *error* (Ogata, 2010).

2.6.1 Kontroler Proporsional

Kontroler proporsional adalah sebuah kontroler yang memiliki karakteristik

mempercepat keluaran. Hubungan antara keluaran kontroler $u(t)$ dan sinyal $error(t)$ ditunjukkan dalam persamaan berikut:

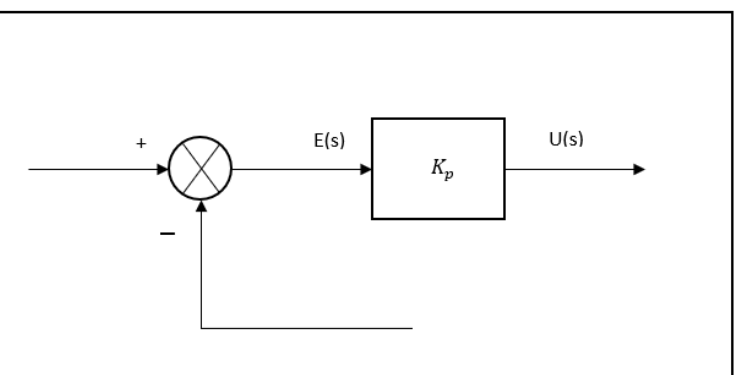
$$u(t) = K_p e(t) \quad (2-3)$$

atau, dalam fungsi alih

$$\frac{U(s)}{E(s)} = K_p$$

dimana K_p adalah penguatan

Diagram blok kontrol proporsional (P) ditunjukkan dalam Gambar 2.10.



Gambar 2.10 Diagram Blok Kontroler Proporsional

Sumber: Ogata K., 2010

Apapun wujud mekanisme yang sebenarnya dan apapun bentuk daya penggeraknya, kontroler proporsional pada dasarnya merupakan penguat dengan penguatan yang dapat diatur (Ogata K., 2010).

2.6.2 Kontroler Integral

Kontroler *integral* memiliki kemampuan untuk mengurangi *error* yang diakibatkan oleh kontroler proporsional. Keluaran kontroler $u(t)$ diubah dengan laju yang sebanding dengan $error(t)$. Persamaan kontroler integral (I) ditunjukkan dalam persamaan berikut (Ogata K., 2010).

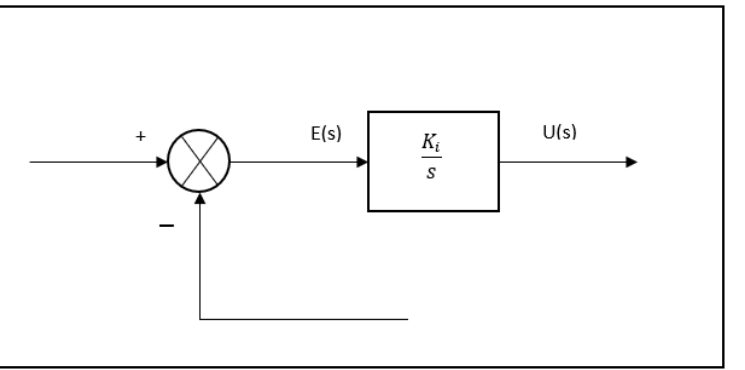
$$\frac{du(t)}{dt} = K_i e(t)$$



14

$$\begin{aligned} u(t) &= K_i \int_0^t e(t) dt \\ \frac{U(s)}{E(s)} &= \frac{K_i}{s} \end{aligned} \quad (2-4)$$

yang merupakan fungsi alih kontroler integral (I), dengan K_i adalah konstanta integral yang dapat diubah nilainya. Jika $e(t)$ bernilai nol, maka nilai $u(t)$ tetap konstan. Aksi kontrol integral biasa disebut dengan kontrol reset. Gambar 2.11 menunjukkan diagram blok kontroler integral (I).



Gambar 2.11 Diagram Blok Kontroler Integral
Sumber: Ogata K., 2010

2.6.3 Kontroler PI (Proporsional Integral)

Kontroler *proporsional integral* (PI) memiliki kemampuan untuk mempercepat keluaran dan mengurangi *eror*. Persamaan kontroler proporsional integral (PI) adalah

$$u(t) = K_p e(t) + \frac{K_p}{T_i} \int_0^t e(t) dt \quad (2-5)$$

Adapun fungsi alihnya adalah

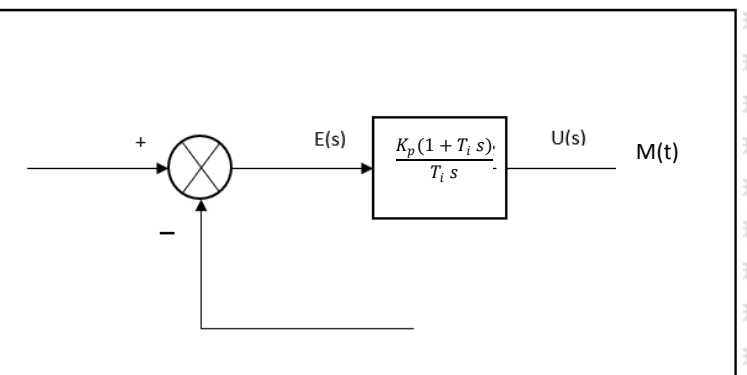
$$\frac{U(s)}{E(s)} = K_p \left(1 + \frac{1}{T_i s} \right)$$

$$= \frac{K_p(1 + T_i s)}{T_i s}$$

Dengan K_p penguatan proporsional dan T_i disebut waktu integral yang keduanya dapat ditentukan. Waktu integral mengatur aksi kontrol internal sedangkan perubahan nilai K_p berakibat pada bagian aksi kontrol proporsional maupun integral.

Gambar 2.12 menunjukkan diagram blok kontroler proporsional integral (PI)



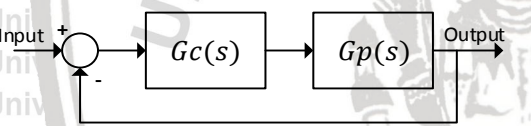


Gambar 2.12 Diagram Blok Kontoler PI (Proporsional Integral)

Sumber: Ogata, K. 2010

2.7 Root Locus

Rancangan sistem kontrol loop tertutup menggunakan *Root Locus* memungkinkan untuk mengatur sekurang-kurangnya beberapa letak *pole* sistem *loop* tertutup sehingga dapat mengatur tanggapan transien pada tingkat tertentu dan pengaruhnya terhadap tanggapan keadaan mantap (Philips, 1996). Prosedur analitis perancangan kontroler PID menggunakan metode *Root Locus* (Charles L. Philips dan Royce D. Harbour, 2010). Sistem kontrol loop tertutup dapat dilihat dalam Gambar 2.13.



Gambar 2.13 Sistem kontrol loop tertutup

Sumber: Charles. L. Philips, 2010

Untuk sistem tersebut, persamaan karakteristik diberikan pada persamaan (2-6).

$$1 + G_c(s)G_p(s) = 0 \quad (2-6)$$

Misalkan diinginkan *root locus* melalui $s = s_1$, maka hasil dari persamaan ditunjukkan pada persamaan (5)

$$G_c(s_1)G_p(s_1) = -1$$

$$G_c(s_1)|G_p(s_1)|e^{j\psi} = 1e^{j\pi} \quad (2-7)$$

Fungsi alih kontroler PID setelah ditransformasi laplace dinyatakan oleh persamaan (2-8).

$$G_c(s) = K_p + \frac{K_i}{s} + K_d s \quad (2-8)$$

Perhitungan dari persamaan (2-8) ditunjukkan pada persamaan (2-9).

$$G_c(s_1) = \frac{1}{|G_p(s_1)|} e^{j(\pi-\psi)} \quad (2-9)$$

Substitusi persamaan (2-9) kedalam persamaan (2-8) didapatkan persamaan (2-10).



16

$$Kd(s_1)^2 + Kp(s_1) + Ki = \frac{e^{j(\Pi - \psi)}}{|Gp(s_1)|} \quad (2-10)$$

Dengan

$$s_1 = |s_1| e^{j\beta}$$

Hasil dari substusi persamaan (2-11) ke persamaan (2-10) akan didapatkan persamaan (2-12).

$$\begin{aligned} & Kd|s_1|^2(\cos 2\beta + j \sin 2\beta) + Kp|s_1|(\cos \beta + j \sin \beta) + Ki \\ &= \frac{|s_1|}{|Gp(s_1)|} [\cos(\beta + \Pi - \psi) \\ &\quad + j \sin(\beta + \Pi - \psi)] \end{aligned} \quad (2-12)$$

Menyamakan real dengan real dan imajiner dengan imajiner, didapatkan hasil pada persamaan (2-13).

$$\begin{bmatrix} |s_1|^2 \cos 2\beta & |s_1| \cos \beta \\ |s_1|^2 \sin 2\beta & |s_1| \sin \beta \end{bmatrix} \begin{bmatrix} Kd \\ Kp \end{bmatrix} = \begin{bmatrix} \frac{|s_1|}{Gp(s_1)} \cos(\beta + \Pi + \psi) - Ki \\ \frac{|s_1|}{Gp(s_1)} \sin(\beta + \Pi + \psi) \end{bmatrix} \quad (2-13)$$

Atau dapat ditunjukkan pada persamaan (2-14).

$$\begin{bmatrix} |s_1|^2 \cos 2\beta & |s_1| \cos \beta \\ |s_1|^2 \sin 2\beta & |s_1| \sin \beta \end{bmatrix} \begin{bmatrix} Kd \\ Kp \end{bmatrix} = \begin{bmatrix} -\frac{|s_1|}{Gp(s_1)} \cos(\psi - \beta) - Ki \\ \frac{|s_1|}{Gp(s_1)} \sin(\psi - \beta) \end{bmatrix} \quad (2-14)$$

Dari persamaan tersebut dilihat bahwa untuk perancangan kontroler PID, satu dari tiga penguatan Kp, Ki dan Kd harus ditentukan terlebih dahulu. Sedangkan untuk perancangan kontroler PI maka Kd dibuat sama dengan nol, sudut dari ψ sama dengan 0.

Maka didapatkan persamaan (2-15)

$$Kp = \frac{s_1}{|Gp(s_1)| \cos \beta} - \frac{Ki \cos \beta}{|s_1|} \quad (2-15)$$



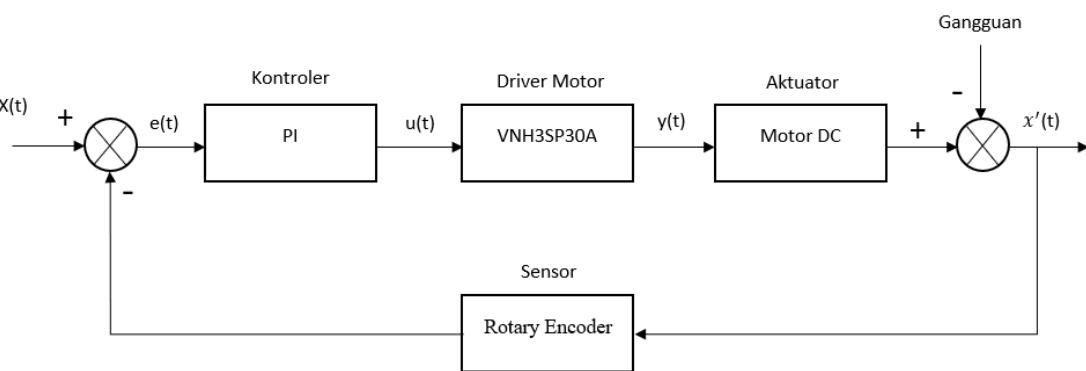
Untuk menyelesaikan rumusan masalah dan merealisasikan tujuan penelitian yang terdapat di bab pendahuluan maka diperlukan langkah-langkah untuk menyelesaikan masalah tersebut. Metode penelitian pada skripsi ini meliputi:

1. Perancangan blok diagram sistem
2. Spesifikasi desain
3. Karakterisasi setiap subsistem
4. Pembuatan perangkat keras
5. Pembuatan algoritma dan program
6. Pengujian alat
7. Pengambilan kesimpulan dan saran

Metode penelitian tersebut dijelaskan sebagai berikut

3.1 Perancangan Blok Diagram Sistem

Perancangan diagram blok sistem menjelaskan sistem secara garis besar dan diharapkan alat dapat bekerja sesuai dengan spesifikasi desain. Blok diagram sistem kontrol kecepatan dapat dilihat dalam Gambar 3.1.



Gambar 3.1 Blok Diagram Sistem

Keterangan:

1. $x(t)$ merupakan *setpoint* (nilai masukan sistem yang diinginkan pada keluaran sistem) dalam pengujian ini berupa kecepatan motor (RPM).
2. $e(t)$ adalah nilai selisih antara *setpoint* dengan *keluaran*.
3. $u(t)$ adalah sinyal terkontrol 0-5V (Volt).
4. $y(t)$ adalah tegangan terkontrol 0-24V (Volt).
5. $x'(t)$ adalah keluaran aktual motor yaitu kecepatan motor (RPM).

3.2ni Spesifikasi Desain

Spesifikasi desain yang diinginkan yaitu:

1. *Settling time* kurang dari 2 detik, karena pada sistem diharapkan dengan

menggunakan kontroler PI keluaranmotor DC PG45 dapat mencapai kecepatan

yang diinginkan dengan cepat.

2. *Error steady state*(e_{ss}) kurang dari 5%

Karena sistem yang baik memiliki *error steady state* kurang dari 5%

3. *Overshoot* kurang dari 5%

Overshoot kurang dari 5%, karena suatu sistem dapat dikatakan baik ketika

overshoot dibawah 10%. Dengan adanya kontroler PI, sistem didesain untuk

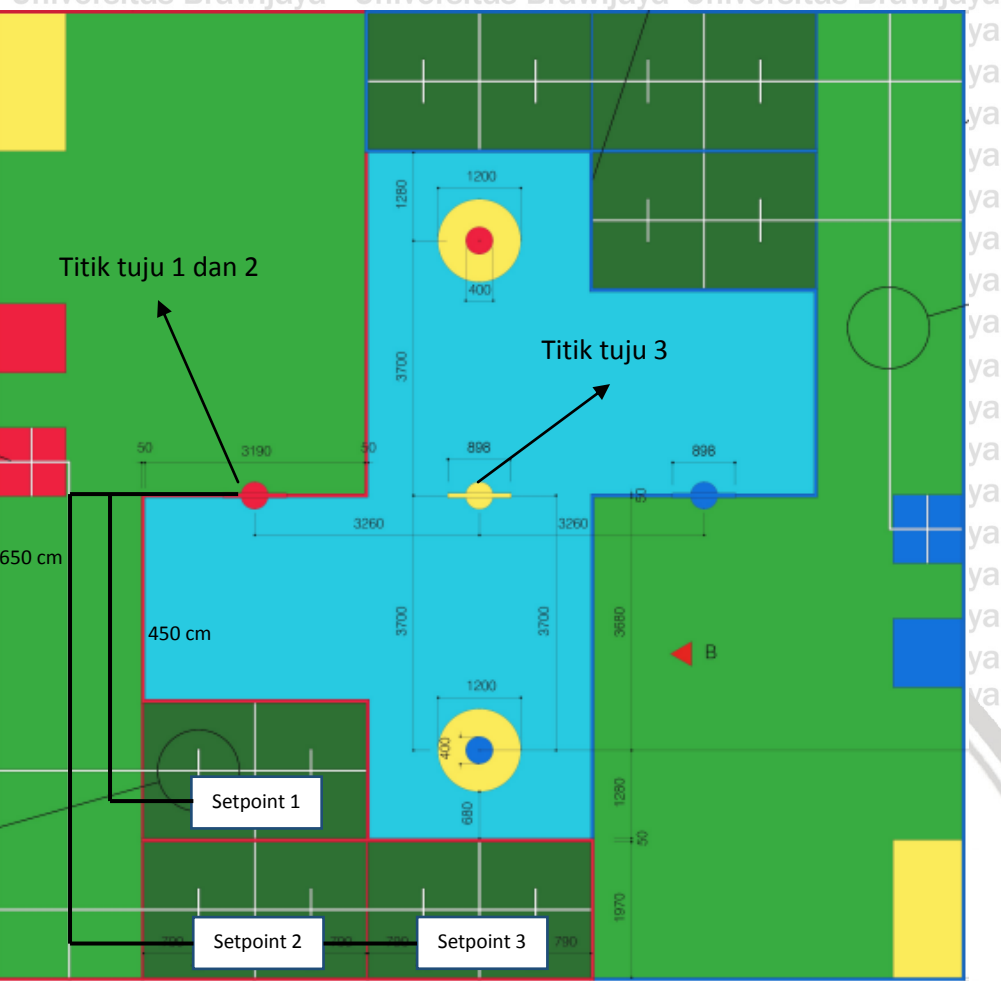
overshoot tidak lebih dari 4%.

3.3 Penentuan Setpoint

Setpoint adalah elemen yang digunakan untuk menyatakan nilai yang dikehendaki atau nilai referensi dari variabel dinamik atau variabel yang dikendalikan dari suatu sistem.

Dalam penelitian ini digunakan *setpoint* yang didapatkan dari perhitungan jarak dan kecepatan awal lontaran. Dalam Gambar 3.2 dapat dilihat jarak dari tempat robot pelontar dan tempat yang akan dituju.





Gambar 3.2 Lapangan lomba

Untuk mencari kecepatan lontar maka dibutuhkan rumus gerak parabola.

Kecepatan awal benda bergerak dalam sumbu x dan y saat $t = 0$

$$V_x = V \cos \theta$$

$$V_y = V \sin \theta$$

Untuk mencari jarak pada detik t digunakan rumus

$$x = V_x t$$

Dengan memasukkan nilai $x = \text{jarak}$ yang diinginkan maka didapatkan waktu pada jarak x

$$t = \frac{x}{V_x}$$

Untuk mencari ketinggian pada detik t digunakan rumus

$$y = h + V_y t - \frac{1}{2} g t^2$$

Sumber: Mikrajudin Abdullah, 2016



Dengan substitusi persamaan 4 ke persamaan 5 maka didapatkan V awal lontar lalu dikonversikan ke RPM. Dengan menggunakan perhitungan rumus diatas dapat dilihat dalam Tabel 3.1

Tabel 3.1

Setpoint	Ketinggian (m)	Jarak	Kecepatan (RPM)	Setpoint
1	2,4	450	100	
2	2,4	650	125	
3	3,4	650	150	

3.4 Karakterisasi Motor DC

a) Tujuan

Mengetahui karakteristik motor DC dengan perubahan tegangan masukan yang diberikan terhadap kecepatan putar motor DC.

b) Peralatan yang digunakan

- Motor DC PG45
- Driver motor VNH3SP30
- *Power Supply* 24V
- Tachometer Digital
- Mikrokontroler STM32F407
- PC
- *Software STM Studio*

c) Prosedur pengujian

1 Pin IN1, IN2 dan PWM pada driver motor dihubungkan ke mikrokontroler STM32F407

2 Power pada driver motor dihubungkan dengan *power supply* 24V

3 OUTA dan OUTB pada driver motor dihubungkan dengan motor DC

4 Nilai PWM diubah dalam software STM Studio sesuai dengan nilai dalam Tabel 3.1

5 Kecepatan motor DC diukur menggunakan tachometer digital

6 Hasil kecepatan motor DC dicatat dalam Tabel 3.2

Setelah melakukan prosedur pengujian, didapatkan nilai kecepatan motor DC seperti yang ditunjukkan dalam Tabel 3.2.

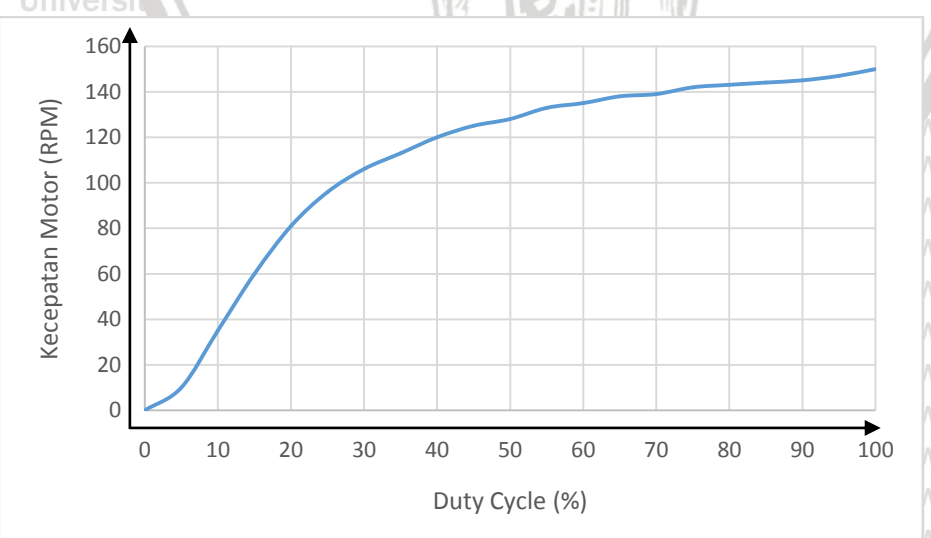
Tabel 3.2 Data pengujian sensor kecepatan *rotary encoder*

Duty Cycle (%)	PWM	RPM
0	0	0
5	13	10
10	25	35
15	38	60
20	51	81
25	64	96
30	77	106
35	90	113
40	102	120
45	115	125
50	127	128
55	140	133
60	153	135
65	166	138
70	178	139
75	191	142
80	204	143
85	217	144
90	229	145
95	242	147
100	255	150

Gambar pengujian motor DC ditunjukkan dalam Gambar 3.2

Tabel di atas merupakan keluaran motor DC yang diberi masukkan tegangan sebesar 24V dan perubahan kecepatan dibaca menggunakan sensor *rotary encoder*. Dari Tabel diatas didapatkan kecepatan putar motor dengan tegangan maksimal 24V sebesar 150 RPM. Dari Tabel di atas agar mempermudah melihat hasil pembacaan sensor maka dibuatlah kurva kecepatan motor (RPM) terhadap *duty cycle* yang dapat dilihat dalam

Gambar 3.3



Gambar 3.3 Pengujian motor DC

Dari pengujian ini bisa dilihat bahwa kecepatan motor berubah dengan nilai yang cukup besar saat diberi masukan *duty cycle* antara 1% sampai 40%.

3.5 Karakteristik Driver Motor

a) Tujuan

Mengetahui karakteristik tegangan keluaran efektif dari driver motor VNH3SP30 terhadap masukan berupa duty cycle sinyal PWM yang dibangkitkan oleh mikrokontroler STM32F407.

b) Peralatan yang digunakan

- *Drivermotor VNH3SP30*
- *Power Supply24V*
- *Mikrokontroler STM32F407*
- *Voltmeter Digital*
- *PC*
- *Software STMStudio*

c) Prosedur Pengujian

1. Pin IN1, IN2 dan PWM pada *drivermotor* dihubungkan ke mikrokontroler STM32F407
2. Power pada *drivermotor* dihubungkan dengan *power supply24V*
3. Nilai PWM diubah pada *software STM Studio* sesuai dengan nilai dalam Tabel 3.2
4. Tegangan keluaran pada pin OUTA dan OUTB *drivermotor* diukur sesuai dengan nilai PWM yang diberikan dengan voltmeter digital

Tegangan keluaran *drivermotor* dicatat dalam Tabel 3.3

Pengujian ini dilakukan dengan memberi masukan tegangan 24V pada *driver motor* dan keluaran dari *driver motor* dimasukkan ke motor DC PG45 dan pembacaan kecepatan putar motor dibaca menggunakan sensor *rotary encoder*. Data pengujian tegangan keluaran pada driver motor dapat dilihat dalam Tabel 3.3

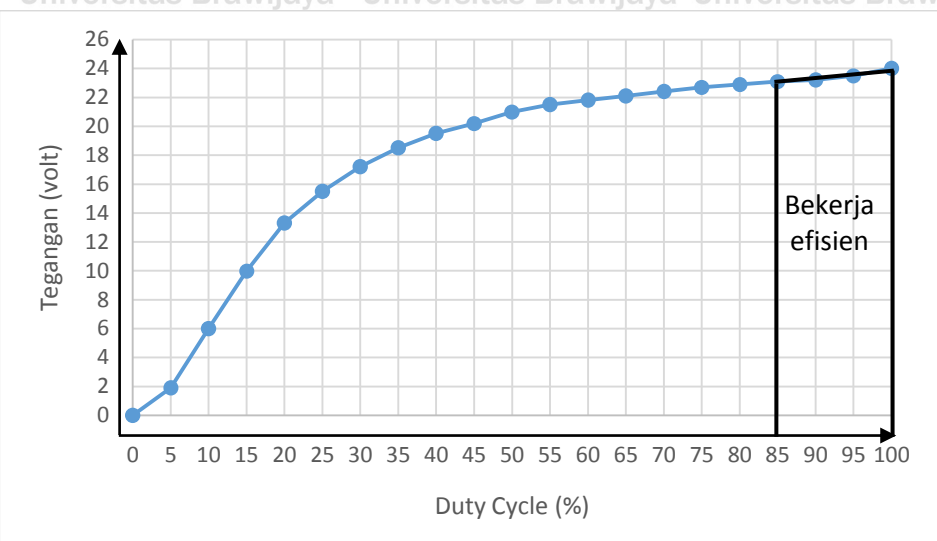


Tabel 3.3 Data pengujian driver motor

Duty Cycle (%)	PWM	RPM	Tegangan (Volt)	Gain
0	0	0	0	0
5	13	10	1,9	2
10	25	35	6	3,5
15	38	60	10	4
20	51	81	13,3	4,05
25	64	96	15,5	3,84
30	77	106	17,2	3,53
35	90	113	18,5	3,23
40	102	120	19,5	3
45	115	125	20,2	2,77
50	127	128	21	2,56
55	140	133	21,5	2,42
60	153	135	21,8	2,25
65	166	138	22,1	2,12
70	178	139	22,4	1,98
75	191	142	22,7	1,8
80	204	143	22,9	1,78
85	217	144	23,1	1,69
90	229	145	23,2	1,61
95	242	147	23,5	1,54
100	255	150	24	1,5

Tabel di atas merupakan hasil dari pengujian driver VNH3SP30 dengan masukan berupa tegangan 24V. Dari data tersebut didapatkan *gain* yang merupakan hasil dari membagi kecepatan putar motor (RPM) dengan *Duty cycle*. penelitian ini bekerja dengan efisien saat *gain* driver motor memiliki nilai yang tidak jauh beda. Dalam Tabel 3.2 dapat dilihat bahwa nilai gain driver motor dari duty cycle 85 hingga 100% yang memiliki nilai gain yang tidak jauh berbeda, oleh karena itu pengujian kali ini menggunakan duty cycle antara 85 sampai dengan 100%. Dari Tabel tersebut maka digambarkan kurva tegangan terhadap *duty cycle* yang dapat dilihat dalam Gambar 3.4





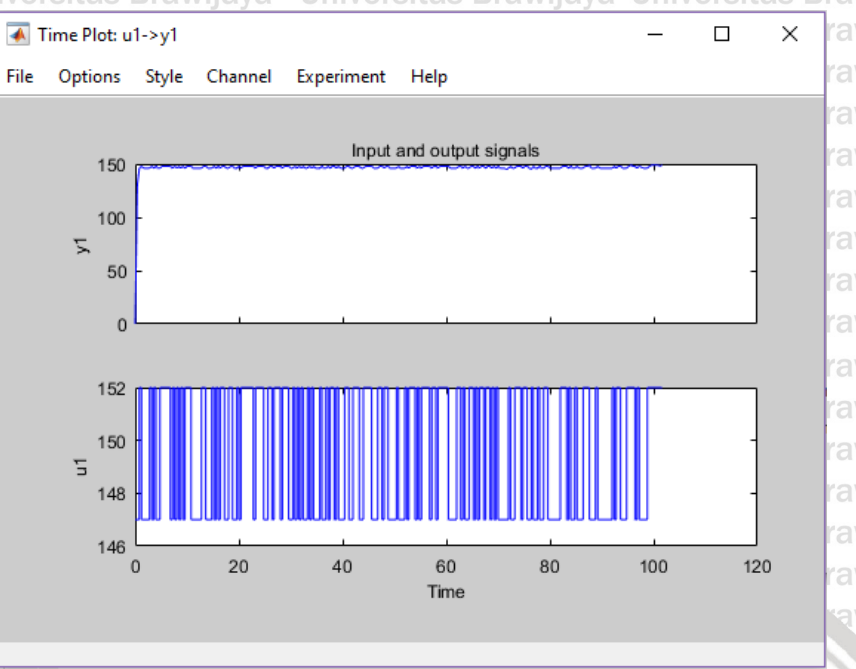
Gambar 3.4 Hasil pengujian driver motor

3.6 Penentuan Fungsi Alih Motor DC

Pada pengontrolan kecepatan pelontar *shuttlecock* dibutuhkan kontroler agar mampu mengontrol kecepatan motor DC sehingga sesuai dengan spesifikasi desain yang telah ditentukan. Motor DC yang digunakan dalam penelitian ini masih belum diketahui fungsi alihnya. Fungsi alih akan digunakan untuk menentukan parameter dari kontroler PI pada kontrol kecepatan motor DC sehingga perlu dicari fungsi alih dari motor DC. Karakteristik motor DC didapatkan dengan cara memberikan masukan *unit step*. Fungsi alih akan didapatkan dari pemodelan dengan cara mencari keluaran dari motor yang diberi masukan berupa sinyal PRBS. Langkah-langkah yang dilakukan untuk menentukan fungsi alih dengan membangkitkan sinyal PRBS adalah sebagai berikut: (Rahmat. A, 2019)

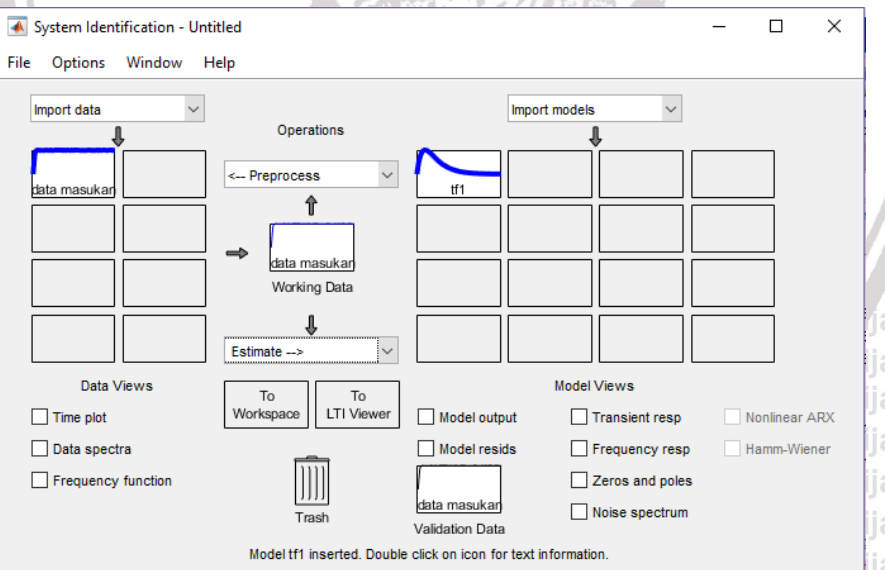
1. Mencari nilai yang linier dari hasil kecepatan motor terhadap duty cycle PWM.
2. Memasukkan nilai batas atas dan batas bawah berdasarkan nilai yang linier untuk membangkitkan sinyal PRBS.
3. Sinyal PRBS yang telah dibangkitkan kemudian digunakan sebagai masukan motor DC.
4. Setelah didapatkan data sinyal PRBS dan data kecepatan motor DC, selanjutnya adalah melakukan identifikasi dengan menggunakan software matlab seperti dalam Gambar 3.5





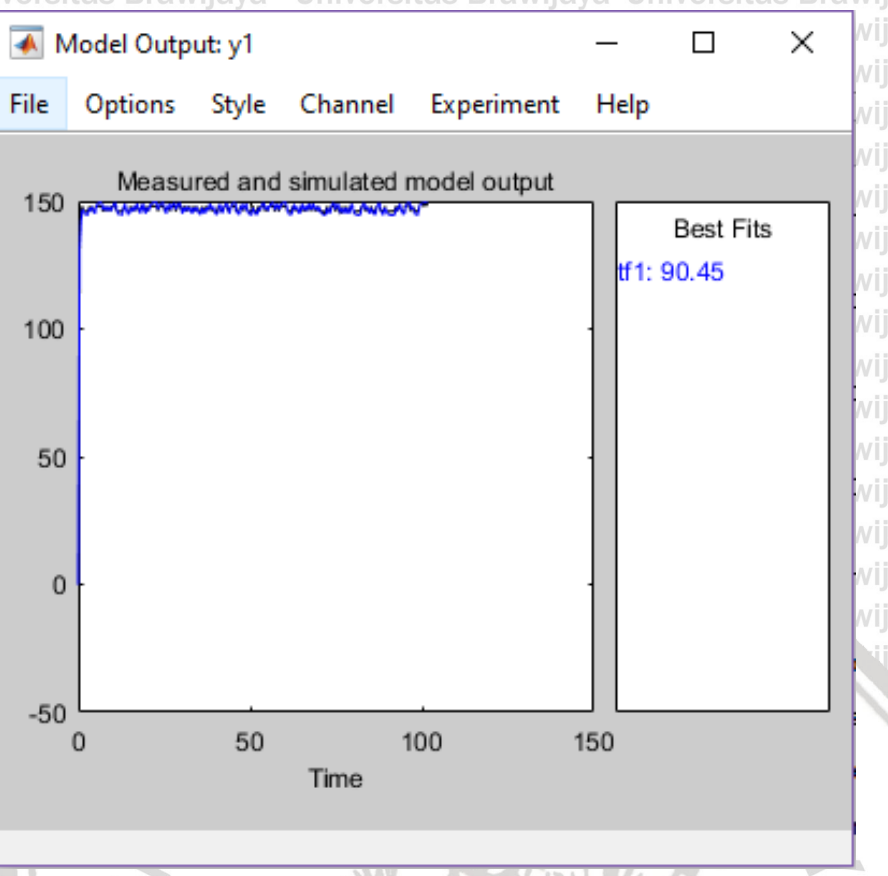
Gambar 3.5 Sinyal Masukan PRBS dan Keluaran Motor DC

- Dengan menggunakan rlocusplot pada matlab. Data keluaran dari motor yang didapatkan dari masukan berupa sinyal PRBS dan data kecepatan motor DC. Kemudian di-import pada block *System Identification Toolbox* seperti dalam Gambar 3.6



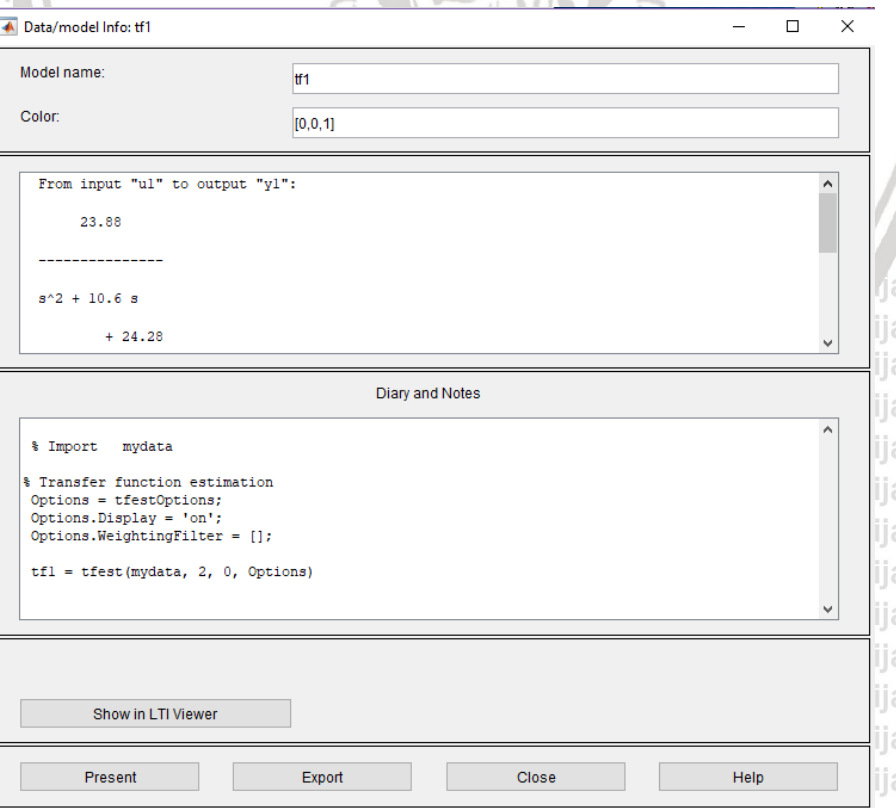
Gambar 3.6 System Idenctification Toolbox

- Setelah melakukan beberapa estimasi model berdasarkan data yang telah didapatkan dari data yang telah di-import, didapatkan fungsi alih motor DC dengan *best fits* sebesar 90,45% seperti dalam Gambar 3.7



Gambar 3.7 Hasil Estimasi Model

Model *continuous* fungsi alih motor DC dapat dilihat dalam Gambar 3.8



Gambar 3.8 Model *continuous* fungsi alih motor DC



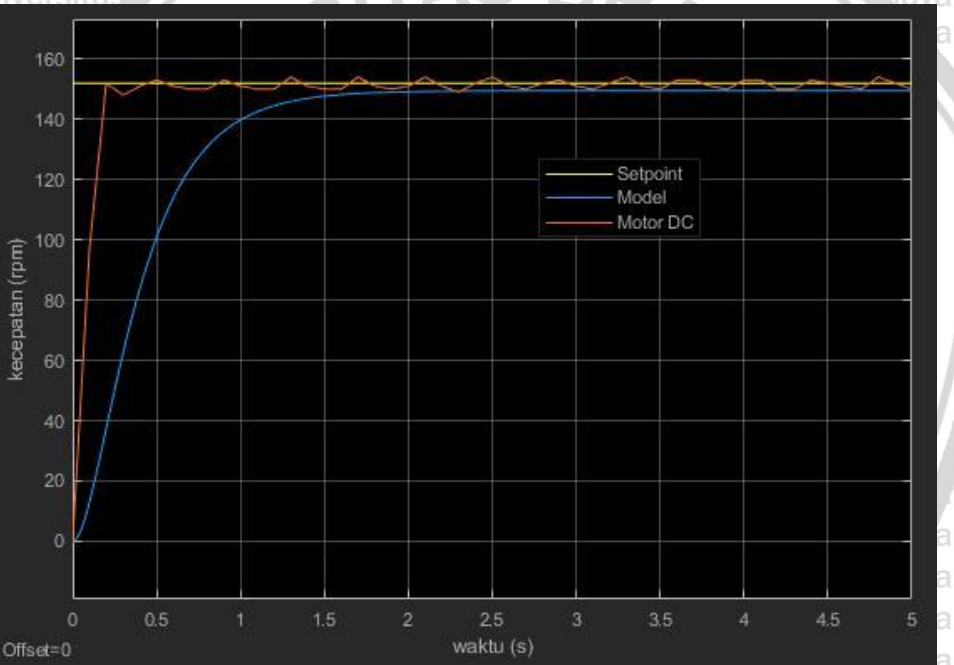


8.U Dari hasil identifikasi fungsi alih motor DC yang didapat adalah:

$$\frac{\dot{\theta}(s)}{U(s)} = \frac{23,88}{s^2 + 10,6s + 24,28}$$

Setelah didapatkan fungsi alih maka fungsi alih harus divalidasi karena suatu fungsi

alih dapat dikatakan mewakili *plant* apabila keluaran fungsi alih yang diperoleh dari proses identifikasi hampir menyerupai keluaran *plant*. Proses validasi dilakukan dengan membandingkan nilai keluaran fungsi alih dan nilai dari kecepatan motor DC dari pembacaan sensor kecepatan yaitu *rotary encoder* sebagai proses validasi. Proses ini dilakukan dengan memberikan masukan *unit step pwm* 100% yaitu kecepatan sebesar 150 *Rotation Per Minute* (RPM). Keluaran motor DC ditunjukkan dalam Gambar 3.9



Gambar 3.9 Validasi fungsi alih motor DC

3.7 Penentuan Parameter Kontroler PI dengan Metode Root Locus

Metode *Root Locus* atau letak kedudukan akar digunakan untuk meneliti perilaku sistem dengan parameter sistem berubah pada lingkup tertentu. Rancangan dimaksudkan agar letak pole dan zero dari fungsi alih loop tertutup terletak pada daerah yang ditentukan.

Agar sistem stabil maka pole dan zero harus terletak pada bidang s di sebelah kiri sumbu imajiner. Untuk memenuhi tujuan performansi sistem yang diinginkan, maka perlu ditambahkan kontroler pada sistem tersebut. Kontroler yang digunakan adalah kontroler proporsional integral (PI).

Langkah-langkah dalam penentuan parameter kontroler dengan metoder *Root Locus*

adalah sebagai berikut:

1. Mencari fungsi alih sistem, pada penelitian ini digunakan identifikasi dengan membangkitkan sinyal PRBS (*Pseudo Random Binary Sequence*).
2. Setelah didapatkan fungsi alih, maka diperiksa kestabilannya dengan *Root Locus* yang ada pada Matlab. Sistem yang stabil adalah sistem dengan fungsi alih yang penyebutnya mempunyai akar (pole) pada bidang s sebelah kiri sumbu imajiner.
3. Menentukan letak pole s_1 sesuai dengan spesifikasi desain yang telah ditentukan sebelumnya.
4. Setelah itu mencari nilai parameter K_p dan K_i pada Matlab dengan mensubtitusi nilai s_1 dan nilai fungsi alih sistem dalam persamaan (3-3).
5. Untuk mendapatkan nilai parameter K_p dan K_i , maka variasikan terlebih dahulu nilai parameter K_i kemudian akan didapatkan nilai dari parameter K_p yang dilakukan pada program matlab.

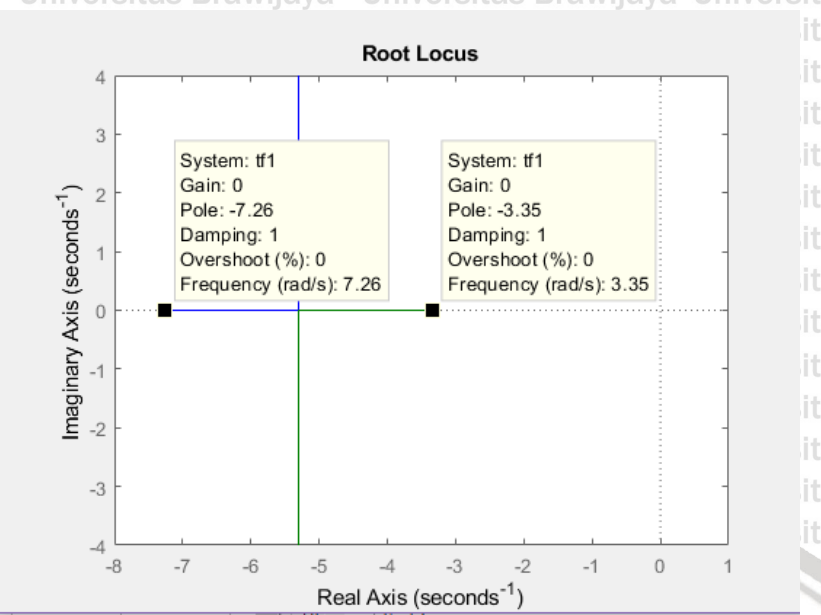
Setelah didapatkan fungsi alih sistem yaitu:

$$\frac{\theta(s)}{U(s)} = \frac{23,88}{s^2 + 10,6s + 24,28}$$

(3 - 1)

Maka selanjutnya adalah mentukan letak pole loop tertutup. Penentuan letak pole pada *Root Locus* harus sesuai dengan spesifikasi desain yang telah ditentukan. Pada penelitian ini spesifikasi desain yang ditentukan adalah *settling time* kurang dari 2 detik, *overshoot* kurang dari 5% serta rasio redaman sama dengan 1. Pada penelitian ini digunakan nilai $s_1 = -7,26$. Penentuan letak pole *Root Locus* dapat dilihat dalam Gambar 3.10 (Rahmat, A, 2019).





Gambar 3.10 Penentuan pole pada diagram Root Locus

Setelah ditentukan letak pole yang diinginkan maka selanjutnya mensubstitusi nilai pole s_1 dan nilai fungsi alih sistem pada persamaan (3-1) dan memvariasikan nilai K_i , maka akan didapatkan nilai dari parameter PI dalam Tabel 3.4. Pencarian parameter K_p dan K_i dengan menggunakan Matlab ditunjukkan pada listing program berikut.

```

clc
s1 = -7.26;
KI = [1 1.5 2 2.5 3 3.5 4 4.5 5 5.5];
plant_num = [0 0 23.8801];
plant_den = [1 10.6035 24.2815];
s1mag = abs(s1);
beta = angle(s1);
plant_a1 = polyval(plant_num,s1)/polyval(plant_den,s1);
plants1mag = abs(plant_a1);
psi = angle(plant_a1);
t = 0:1:20:300;
for k = 1:10
    KP(k) = -s1mag/(plants1mag*cos(beta))-KI(k)*cos(beta)/s1mag;
    Nilai_KI = KI(k);
    Gcnum = [KP KI(k)];
    Gcden = [0 1];
    hold on;
end
hold off

```

Hasil pencarian parameter K_p dan K_i dari perhitungan pada program diatas ditunjukkan dalam Tabel 3.4.

Tabel 3.4 Nilai parameter K_p dan K_i

K_i	K_p
1	0,169341
1,5	0,238212
2	0,307082
2,5	0,375953
3	0,444823
3,5	0,513694
4	0,582564
4,5	0,651435
5	0,720305
5,5	0,789176

Untuk memvalidasi perhitungan matlab maka dilakukan perhitungan manual dengan memasukkan nilai $s_1 = -7,26$, $\beta = 3,1416$, $\psi = 0$, $K_i = 1$ yang disubstitusikan ke persamaan (2-15).

$$K_p = \frac{s_1}{|G_p(s_1)| \cos \beta} - \frac{K_i \cos \beta}{|s_1|} \quad (2-15)$$

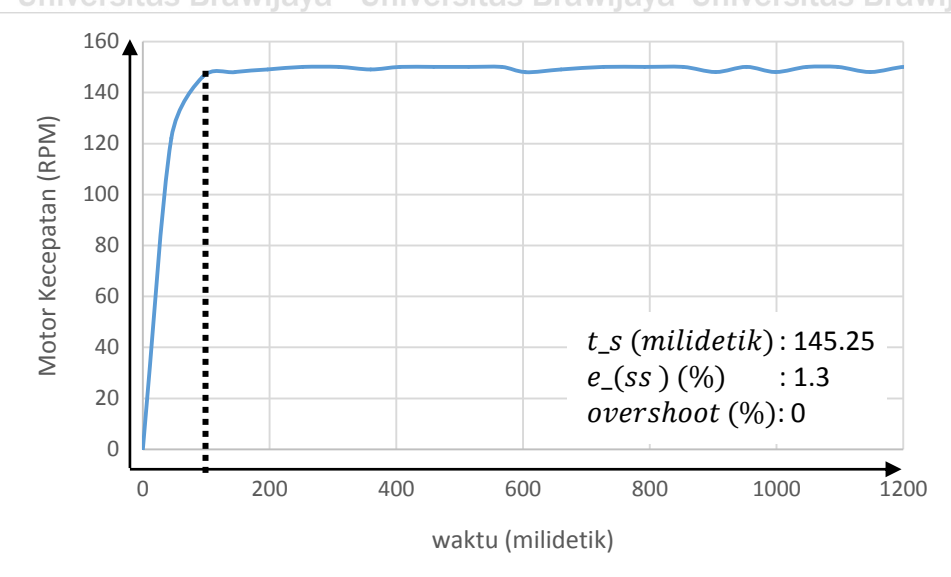
$$K_p = \frac{-7,26}{\left(\frac{23,88}{(-7,26)^2 + 10,6(-7,26) + 24,28} \right) \cos 3,1416} - \frac{1 \cos 3,1416}{|-7,26|}$$

$$K_p = \frac{-7,26}{-229,7468} + 0,1377$$

$$K_p = 0,1693$$

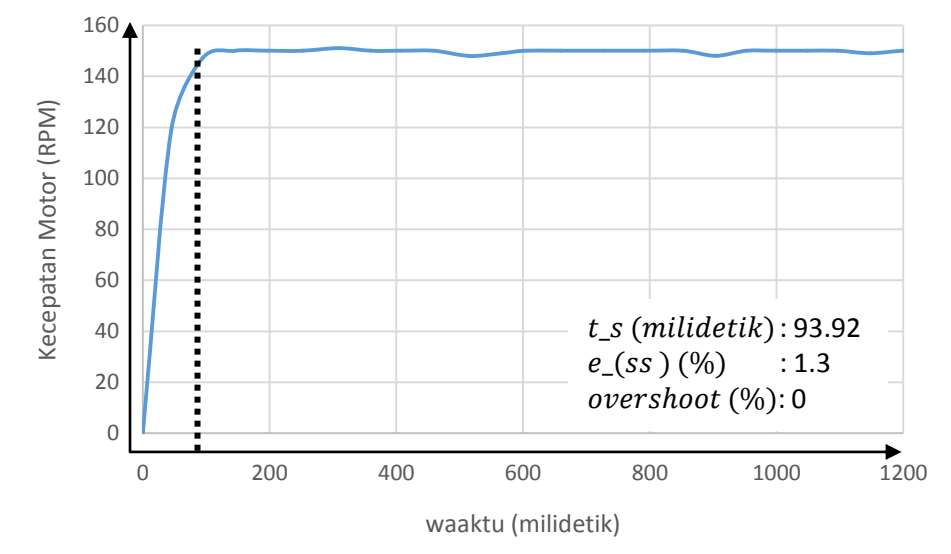
Setelah didapatkan nilai parameter K_p dan K_i dari hasil perhitungan kemudian dilakukan pengujian terhadap sistem untuk mencari nilai parameter yang sesuai dengan sistem. Gambar 3.11 s.d. Gambar 3.20 adalah keluaran sistem dengan nilai parameter kontr dalam Tabel 3.4.





Gambar 3.11 Keluaran sistem dengan nilai K_p 0,169341 dan K_i 1

Gambar 3.11 Merupakan keluaran sistem yang di gambarkan dalam bentuk kurva kecepatan motor terhadap waktu garis putus-putus menandakan titik dimana keluaran sistem mencapai *setling time*. Dari kurva di atas didapatkan nilai *setling time* sebesar 120,25 milidetik dan *error steady state* sebesar 1,3% yang didapatkan dari keluaran sistem –setpoint, dan overshoot sebesar 0%. Keluaran dari sistem berubah-ubah sesaat setelah mencapai *setling time* dikarenakan *error* dari pembacaan *rotary encoder*.



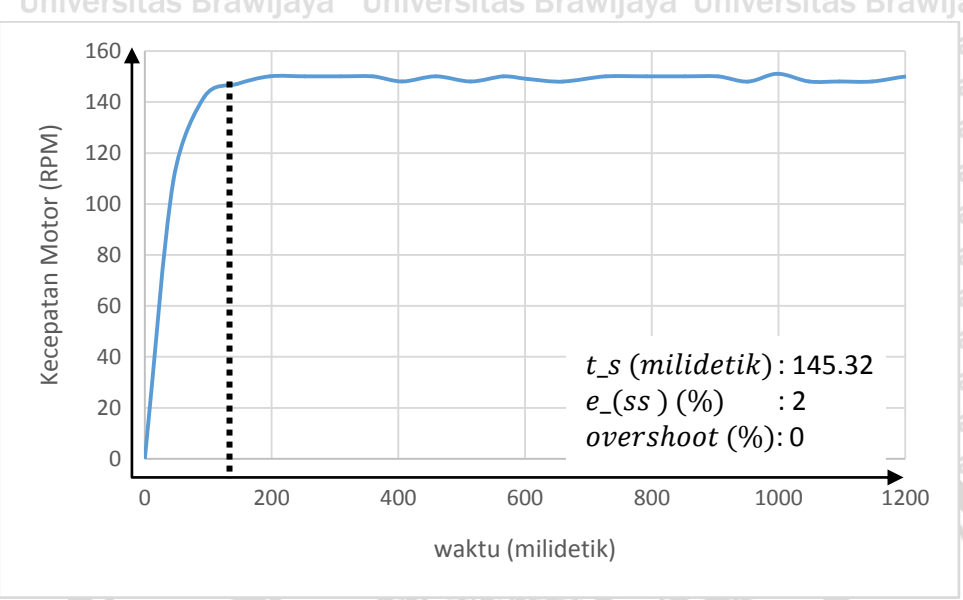
Gambar 3. 12 Keluaran sistem dengan nilai K_p 0,238212 dan K_i 1,5

Gambar 3.12 Merupakan keluaran sistem yang di gambarkan dalam bentuk kurva kecepatan motor terhadap waktu garis putus-putus menandakan titik dimana keluaran sistem mencapai *settling time*. Dari kurva di atas didapatkan nilai *settling time* sebesar

32

93,92 milidetik Br dan ja *error* *in steady state* sebesar 1,3% yang didapatkan dari keluaran sistem –setpoint | keluaran sistem

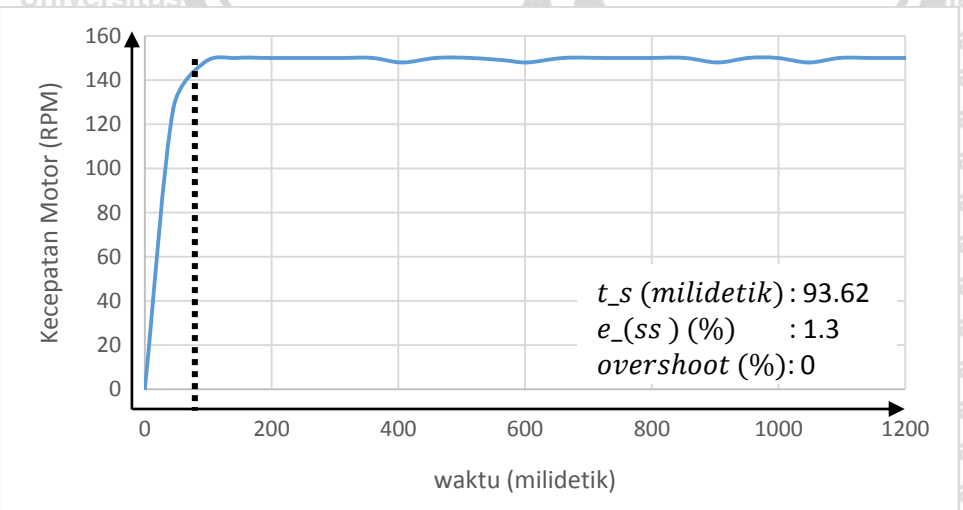
sesaat setelah mencapai *settling time* dikarenakan *error* dari pembacaan *rotary encoder*.



Gambar 3. 13 Keluaran sistem dengan nilai K_p 0,307082 dan K_i 2

Gambar 3.13 Merupakan keluaran sistem yang di gambarkan dalam bentuk kurva kecepatan motor terhadap waktu garis putus-putus menandakan titik dimana keluaran sistem mencapai *settling time*. Dari kurva di atas didapatkan nilai *settling time* sebesar 145,32 milidetik dan *error steady state* sebesar 2% yang didapatkan dari keluaran sistem –setpoint | keluaran sistem

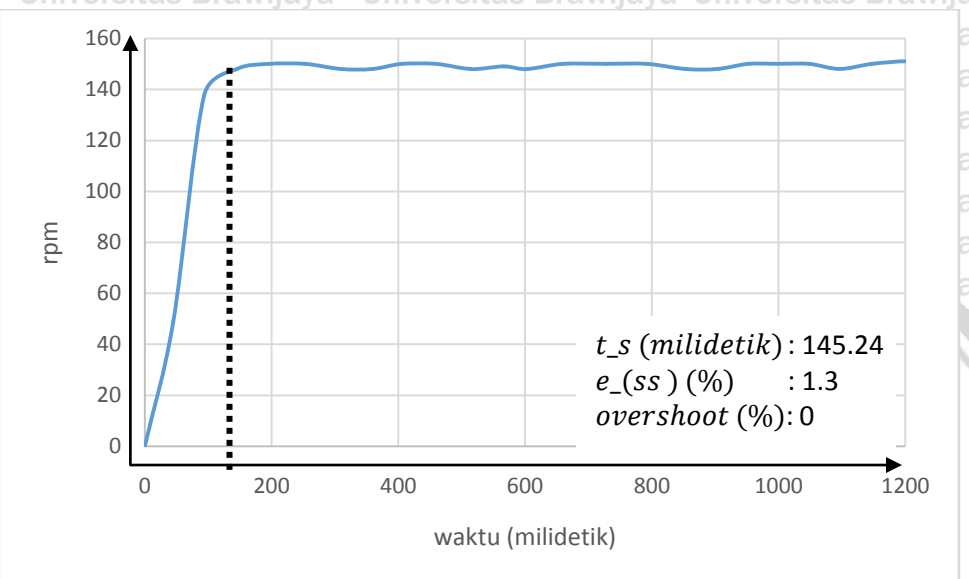
sesaat setelah mencapai *settling time* dikarenakan *error* dari pembacaan *rotary encoder*.



Gambar 3.14 Keluaran sistem dengan nilai K_p 0,375953 dan K_i 2,5

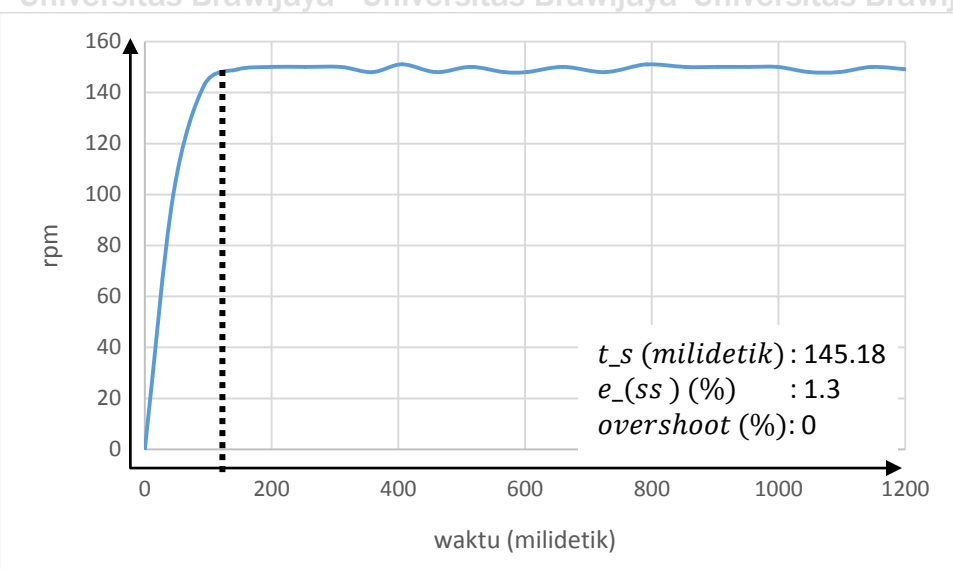


Gambar 3.14 Merupakan keluaran sistem yang di gambarkan dalam bentuk kurva kecepatan motor terhadap waktu garis putus-putus menandakan titik dimana keluaran sistem mencapai *setling time*. Dari kurva di atas didapatkan nilai *setling time* sebesar 93,62 milidetik dan *error steady state* sebesar 1,3% yang didapatkan dari $\frac{|keluaran sistem - setpoint|}{keluaran sistem}$, dan overshoot sebesar 0%. Keluaran dari sistem berubah-ubah sesaat setelah mencapai *setling time* dikarenakan *error* dari pembacaan *rotary encoder*.



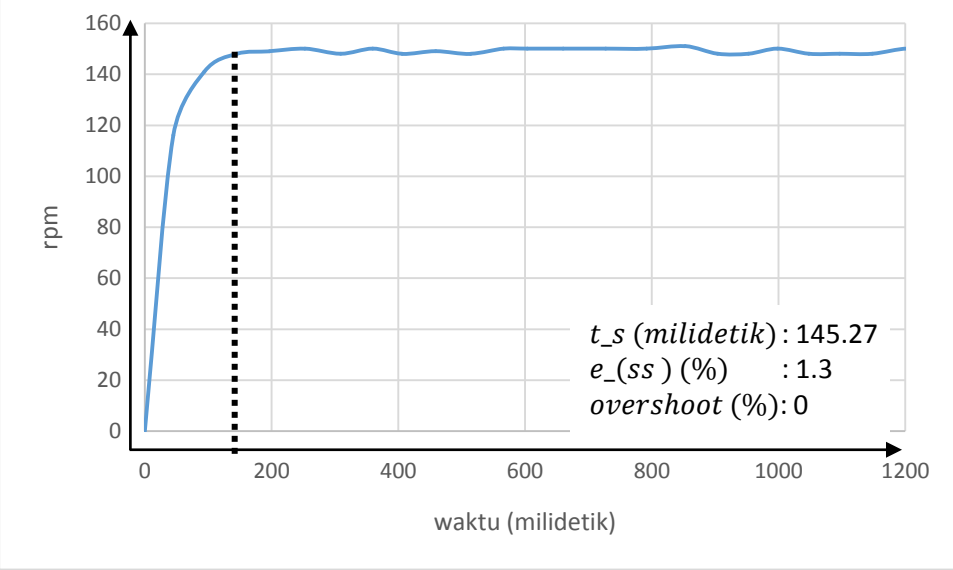
Gambar 3. 15 Keluaran sistem dengan nilai K_p 0,444823 dan K_i 3

Gambar 3.15 Merupakan keluaran sistem yang di gambarkan dalam bentuk kurva kecepatan motor terhadap waktu garis putus-putus menandakan titik dimana keluaran sistem mencapai *setling time*. Dari kurva di atas didapatkan nilai *setling time* sebesar 145,24 milidetik dan *error steady state* sebesar 1,3% yang didapatkan dari $\frac{|keluaran sistem - setpoint|}{keluaran sistem}$, dan overshoot sebesar 0%. Keluaran dari sistem berubah-ubah sesaat setelah mencapai *setling time* dikarenakan *error* dari pembacaan *rotary encoder*.



Gambar 3.16 Keluaran sistem dengan nilai K_p 0,513694 dan K_i 3,5

Gambar 3.16 Merupakan keluaran sistem yang di gambarkan dalam bentuk kurva kecepatan motor terhadap waktu garis putus-putus menandakan titik dimana keluaran sistem mencapai *settling time*. Dari kurva di atas didapatkan nilai *settling time* sebesar 145,32 milidetik dan *error steady state* sebesar 2% yang didapatkan dari $\frac{|keluaran\ sistem - setpoint|}{keluaran\ sistem}$, dan overshoot sebesar 0%. Keluaran dari sistem berubah-ubah sesaat setelah mencapai *settling time* dikarenakan *error* dari pembacaan *rotary encoder*.

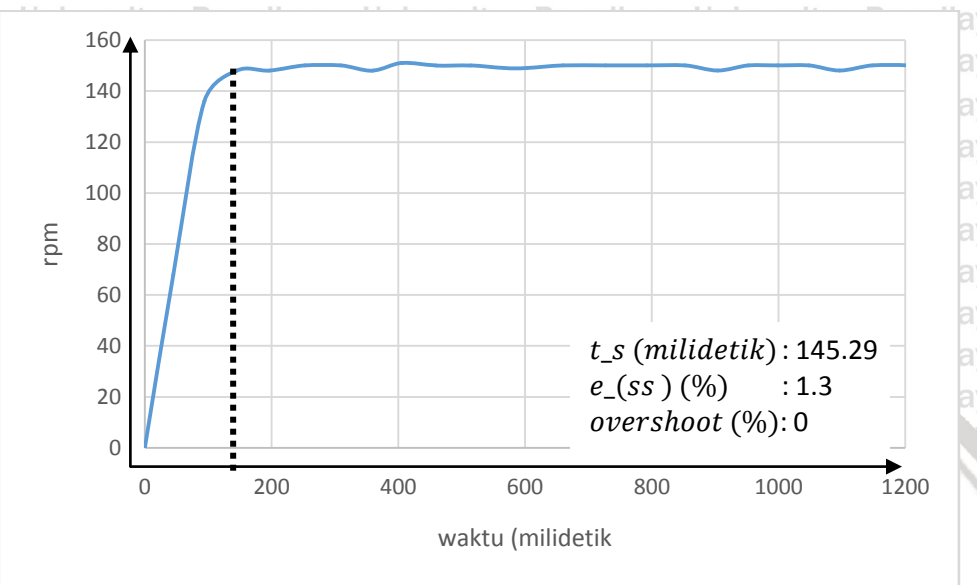


Gambar 3.17 Keluaran sistem dengan nilai K_p 0,582564 dan K_i 4

Gambar 3.17 Merupakan keluaran sistem yang di gambarkan dalam bentuk kurva kecepatan motor terhadap waktu garis putus-putus menandakan titik dimana keluaran

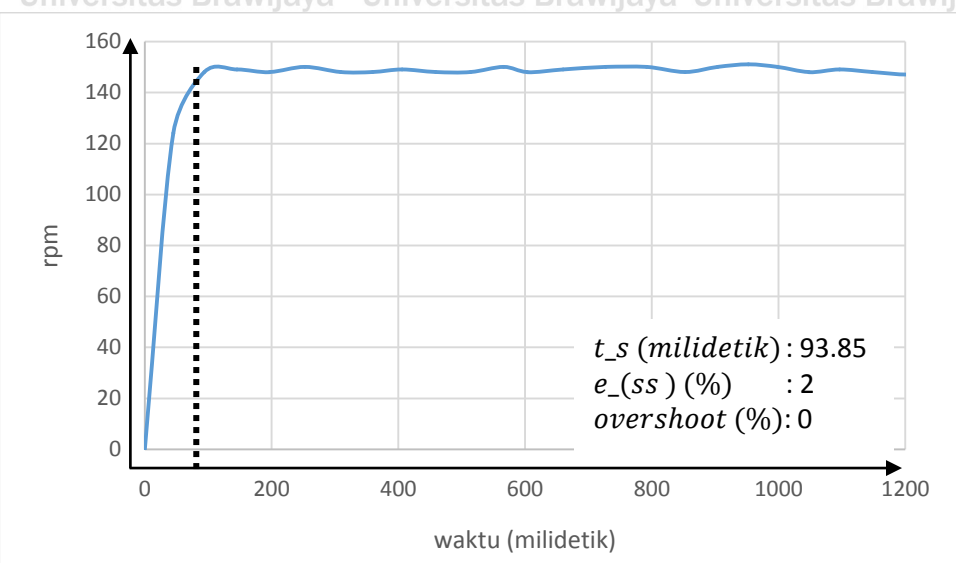


sistem mencapai *setling time*. Dari kurva di atas didapatkan nilai *setling time* sebesar 145,27 milidetik dan *error steady state* sebesar 1,3% yang didapatkan dari |keluaran sistem –setpoint|, dan overshoot sebesar 0%. Keluaran dari sistem berubah-ubah sesaat setelah mencapai *setling time* dikarenakan *error* dari pembacaan *rotary encoder*.



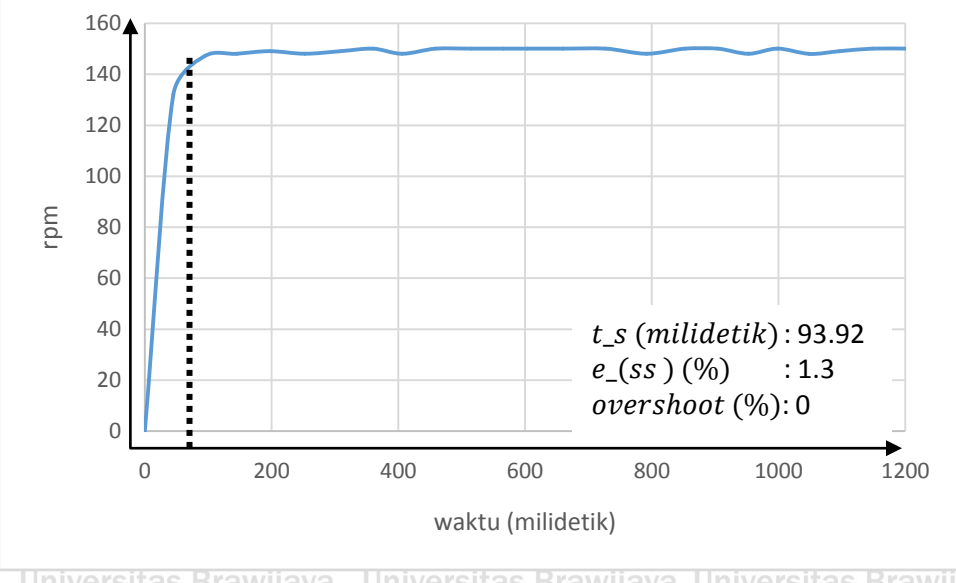
Gambar 3. 18 Keluaran sistem dengan nilai K_p 0,651435 dan K_i 4,5

Gambar 3.18 Merupakan keluaran sistem yang di gambarkan dalam bentuk kurva kecepatan motor terhadap waktu garis putus-putus menandakan titik dimana keluaran sistem mencapai *setling time*. Dari kurva di atas didapatkan nilai *setling time* sebesar 145,29 milidetik dan *error steady state* sebesar 1,3% yang didapatkan dari |keluaran sistem –setpoint|, dan overshoot sebesar 0%. Keluaran dari sistem berubah-ubah sesaat setelah mencapai *setling time* dikarenakan *error* dari pembacaan *rotary encoder*.



Gambar 3. 19 Keluaran sistem dengan nilai K_p 0,720305 dan K_i 5

Gambar 3.19 Merupakan keluaran sistem yang di gambarkan dalam bentuk kurva kecepatan motor terhadap waktu garis putus-putus menandakan titik dimana keluaran sistem mencapai *setling time*. Dari kurva di atas didapatkan nilai *setling time* sebesar 93,85 milidetik dan *error steady state* sebesar 2% yang didapatkan dari $\frac{|keluaran sistem - setpoint|}{keluaran sistem}$, dan overshoot sebesar 0%. Keluaran dari sistem berubah-ubah sesaat setelah mencapai *setling time* dikarenakan *error* dari pembacaan *rotary encoder*.



Gambar 3. 20 Keluaran sistem dengan nilai K_p 0,789176 dan K_i 5,5

Gambar 3.20 Merupakan keluaran sistem yang di gambarkan dalam bentuk kurva kecepatan motor terhadap waktu garis putus-putus menandakan titik dimana keluaran

sistem mencapai *setling time*. Dari kurva di atas didapatkan nilai *setling time* sebesar 93,32 milidetik dan *error steady state* sebesar 1,3% yang didapatkan dari keluaran sistem –setpoint | keluaran sistem|, dan overshoot sebesar 0%. Keluaran dari sistem berubah-ubah sesaat setelah mencapai *setling time* dikarenakan *error* dari pembacaan *rotary encoder*.

Data pengujian parameter kontroler ditunjukkan dalam Tabel 3.5

Tabel 3.5 Data Pengujian Parameter Kontroler

K_p	K_i	t_s (milidetik)	e_{ss} (%)	overshoot (%)
0,169341	1	120,25	1,3	0
0,238212	1,5	93,92	1,3	0
0,307082	2	145,32	2	0
0,375953	2,5	93,62	1,3	0
0,444823	3	145,24	1,3	0
0,513694	3,5	145,18	1,3	0
0,582564	4	145,27	1,3	0
0,651435	4,5	145,29	1,3	0
0,720305	5	93,85	2	0
0,789176	5,5	93,92	1,3	0

Berdasarkan data pengujian nilai parameter kontroler dalam Tabel 3.4 maka digunakan nilai K_p 0,375953 dan K_i 2,5 karena memiliki keluaran terbaik dan memiliki nilai *error steady state* (e_{ss}) yang kecil.

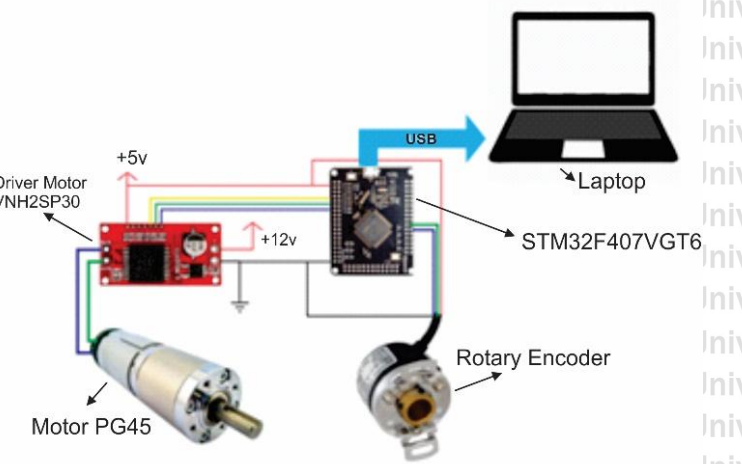
3.8 Pembuatan Perangkat Keras

Pembuatan perangkat keras dilakukan sebagai langkah awal sebelum terbentuknya suatu sistem beserta pemrogramannya. Hal ini dimaksudkan agar sistem pengontrolan kecepatan motor DC dapat bekerja sesuai dengan deskripsi awal yang telah direncanakan. Pembuatan perangkat keras yang dilakukan pada penelitian ini meliputi:

a. Skema pembuatan perangkat keras

Skema pembuatan perangkat keras ditujukan untuk penempatan dalam menyambungkan antar komponen agar mengurangi *error* pemasangan. Gambar skema pembuatan perangkat keras dapat dilihat dalam Gambar 3.21





Gambar 3.21 Skema pembuatan perangkat keras

b. Penentuan modul elektronik yang digunakan

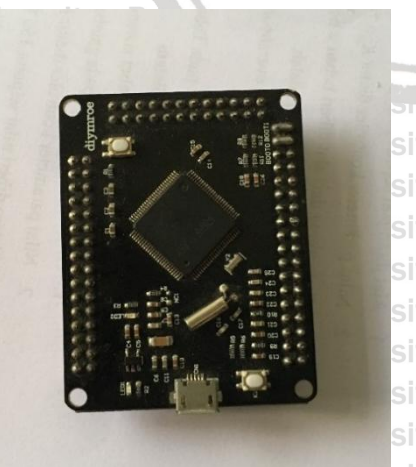
1. Baterai LiPo 3S 12V digunakan sebagai catu daya driver motor dan di seri dengan jenis yang sama agar mendapatkan tegangan 24V. bentuk fisik dari baterai LiPo 3S 12V dapat dilihat dalam Gambar 3.22



Gambar 3.22 Baterai LiPo 3S

2. Mikrokontroler STM32F407 sebagai perangkat kontroler dapat dilihat dalam

Gambar 3.23



Gambar 3.23 Mikrokontroler STM32F407





Gambar 3.24 Sensor *rotary encoder*

Sumber: www.omron.com

4.ei Driver motor VNH3SP30 untuk menggerakkan motor dapat dilihat dalam Gambar 3.25

3.25



Gambar 3.25 Driver motor VNH3SP30

5. Motor DC planetary gearbox dapat dilihat dalam Gambar 3.26



Gambar 3.26 Motor DC planetary gearbox

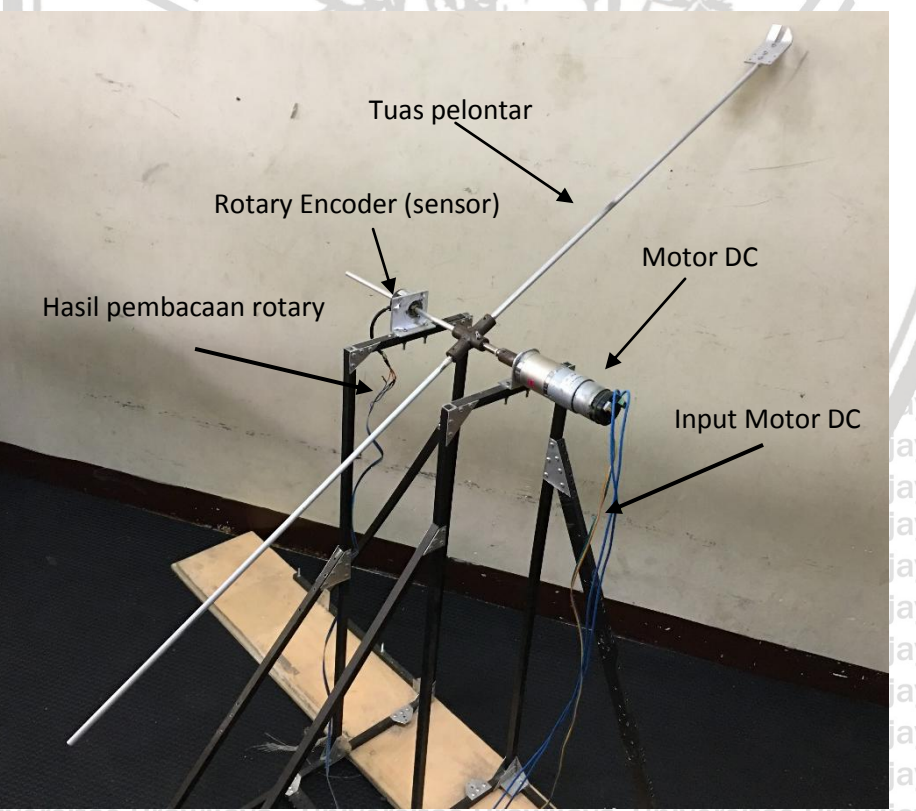
Uni6.e PC atau komputer yang sudah terinstall CoIDE, STMStudio dan Matlab dalam dilihat dalam Gambar 3.27



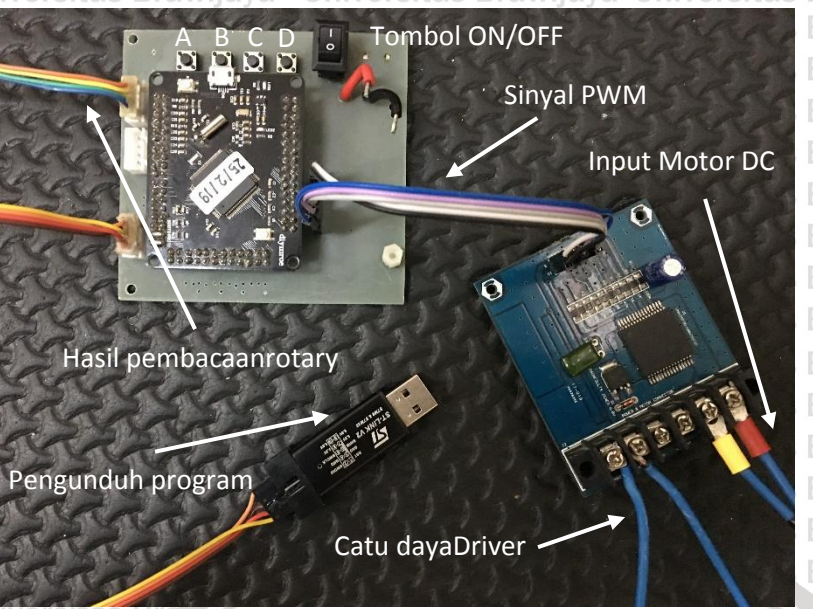
Gambar 3.27PC atau komputer

3.7.1. Foto Alat

Bentuk fisik dari alat yang dibuat seperti ditunjukkan dalam Gambar 3.28 dan pengkabelan alat dapat dilihat dalam Gambar 3.29



Gambar 3.28Foto alat tampak depan



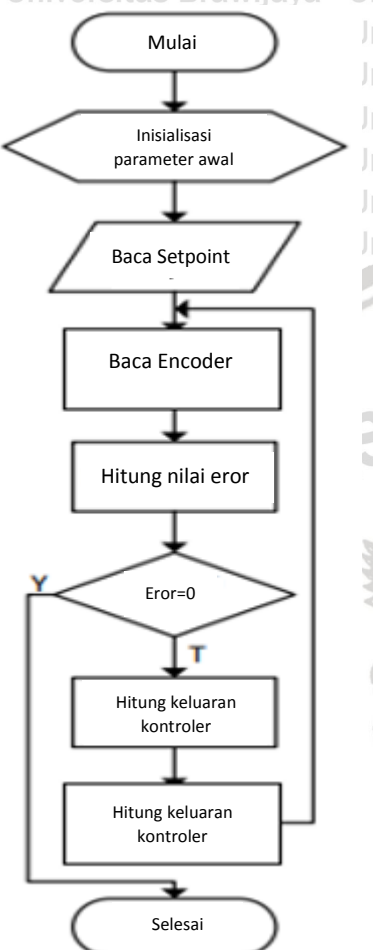
Gambar 3.29 Foto pengkabelan alat

3.7.2. Prinsip Kerja Sistem

1. LiPo 3S dua buah sebagai catu daya driver motor DC dengan tegangan 12V dan dipasang seri
2. Catu daya mikrokontroler STM32F407 diambil dari PC dengan menghubungkan pada port USB
3. Pada shaft motor DC dan shaft *Rotary encoder* disambungkan menggunakan Alumunium 8mm dan shaft berbahan besi.
4. Pembacaan kecepatan putar motor DC menggunakan *rotary encoder* yang disambungkan dengan shaft pada motor DC.
5. Menekan tombol ON pada papan elektrik.
6. Menekan tombol B sampai dengan D sesuai setpoint yang diinginkan.
7. Memasukkan kaitan shuttlecock pada ujung tuas pelontar.
8. Menekan tombol A pada papan elektrik untuk menjalankan perintah menyalaikan motor.
9. Keluaran kontroler PI pada mikrokontroler berupa sinyal PWM yang dihubungkan dengan driver motor
10. Hasil keluaran sinyal PWM dari mikrokontroler digunakan untuk menggerakan motor DC
11. Motor DC berputar sesuai dengan kecepatan atau nilai *setpoint* yang diberikan.
12. Motor DC akan diberi *setpoint0* saat mencapai 90 derajat.

3.9 Pembuatan Algoritma dan Program

Perancangan perangkat lunak berkaitan dengan flowchart program yang akan diimplementasikan ke microkontroller STM32F407VGT6. Gambar 3.29 adalah flowchart sistem secara keseluruhan.



Gambar 3.30 Flowchart Pemrograman

3.10 Perancangan Pengujian Sistem

Pengujian pada penelitian ini meliputi:

a) Pengujian Sistem Tanpa Beban

Prosedur pengujian sistem tanpa beban adalah sebagai berikut:

1. Alat dirangkai seperti dalam Gambar 3.21

2. Nilai parameter kontrol diatur K_p 0,375953 dan K_i 2,5

3. Setpoint yang digunakan adalah 100RPM, 125 RPM, 150RPM

4. Nilai $settling time(t_s)$ dan $overshoot$ dari data log software STM studio

dihitung dan dicatat dalam Tabel 4.1





Unib. Pengujian Sistem Berbeban

Prosedur pengujian sistem berbeban adalah sebagai berikut:

1. Alat dirangkai seperti dalam Gambar 3.21

2. Nilai parameter kontroler diatur K_p 0,375953 dan K_i 2,5

3. Pada ujung dari alat diberi beban sebesar 500 gr

4. Setpoint yang digunakan adalah 100RPM, 125 RPM, 150 RPM

1. Nilai *settling time*(t_s) dan *Overshoot* dari data log *software* dihitung

2. Hasil perhitungan dicatat dalam Tabel 4.2

Unic. Pengujian Sistem dengan Variasi Beban

Prosedur pengujian sistem variasi beban adalah sebagai berikut

1. Alat dirangkai seperti dalam Gambar 3.21.

2. Nilai parameter kontroler diatur K_p 0,375953 dan K_i 2,5

3. Pada ujung dari alat diberi beban sebesar 308 gr, 318 gr, 325 gr dan 328 gr.

4. Setpoint yang digunakan adalah 150 RPM.

5. Nilai *settling time*(t_s) dan *overshoot* dari data log *software* dihitung.

6. Hasil perhitungan dicatat dalam Tabel 4.3.

Unid. Pengujian Sifat Reversibel Sistem

Prosedur pengujian sifat reversibel sistem adalah sebagai berikut:

1. Alat dirangkai seperti dalam Gambar 3.21

2. Nilai parameter kontroler diatur K_p 0,375953 dan K_i 2,5

3. Sistem diberi nilai setpoint 150 RPM dan ketika keluaran sudah dalam keadaan

steady state, sistem diberikan nilai setpoint 0 RPM.





BAB IV

HASIL DAN PEMBAHASAN

Dalam bab ini dilakukan pengujian dan analisis sistem setiap blok maupun secara keseluruhan. Pengujian sistem dilakukan untuk mengetahui apakah alat yang telah dibuat berfungsi dengan baik dan sesuai dengan perancangan yang telah ditentukan.

Pengujian setiap blok dilakukan untuk menemukan letak kesalahan dan untuk mempermudah dalam melakukan analisis pada sistem apabila tidak bekerja sesuai dengan perancangan. Pengujian pada sistem dibagi menjadi beberapa bagian, yaitu:

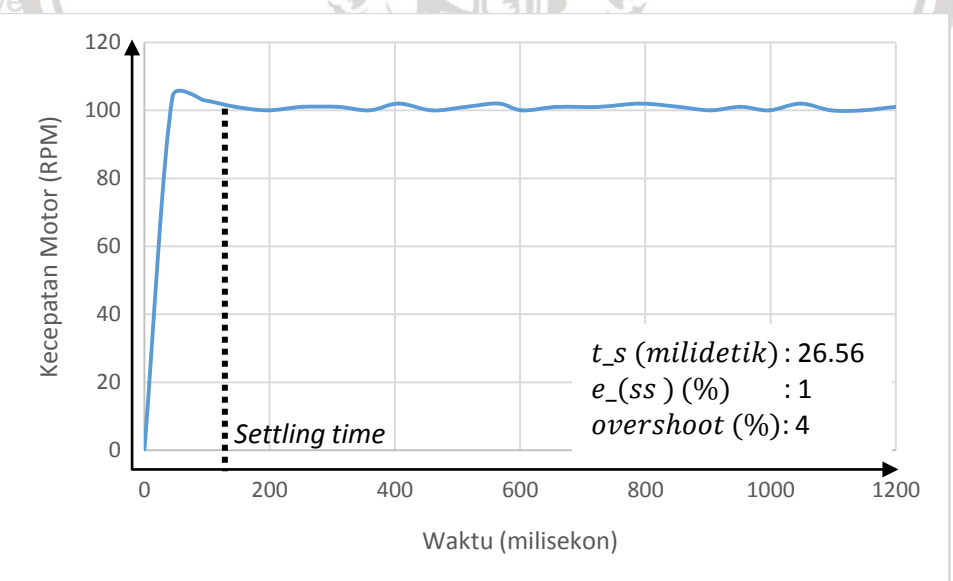
1. Pengujian sistem tanpa beban
2. Pengujian sistem berbeban
3. Pengujian sistem dengan variasi beban
4. Pengujian sifat reversibel sistem

4.1. Pengujian Sistem Tanpa Beban

Pengujian ini dilakukan untuk mengetahui performansi sistem ketika tidak diberi beban. Prosedur pada pengujian ini terdapat dalam bab 3.10.

4.1.1. Pengujian Dengan Setpoint 100RPM

Keluaran sistem pada pengujian sistem tanpa beban dengan *setpoint* 100RPM ditunjukkan dalam Gambar 4.1.



Gambar 4.1 Keluaran sistem tanpa beban dengan *setpoint* 100RPM

Gambar 4.1 Merupakan keluaran sistem yang di gambarkan dalam bentuk kurva kecepatan motor terhadap waktu garis putus-putus menandakan titik dimana

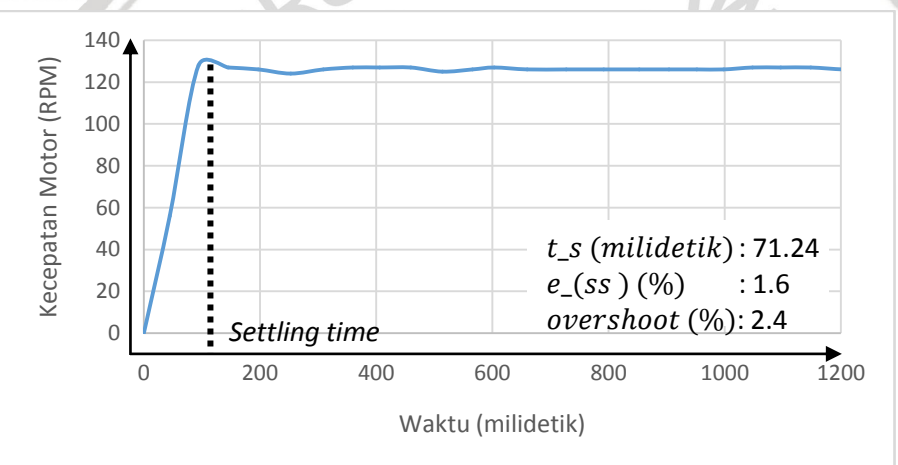
Keluaran sistem mencapai *settling time*. Dari pengujian ini didapatkan nilai *settling time* sebesar 145,29 milidetik, *overshoot* 4% dan *error steady state* 2%. Nilai yang berubah-ubah sesudah *settling time* merupakan eror pembacaan sensor *rotary encoder*.

$$e_{ss}(\%) = \frac{|101 - 100|}{100} \times 100\% = 1\%$$

$$\text{overshoot (\%)} = \frac{104 - 100}{100} \times 100\% = 4\%$$

4.1.2. Pengujian dengan Setpoint 125 RPM

Keluaran sistem pada pengujian sistem tanpa beban dengan *setpoint* 125 RPM ditunjukkan dalam Gambar 4.2.



Gambar 4.2 Keluaran sistem tanpa beban dengan *setpoint* 125 RPM

Gambar 4.2 Merupakan keluaran sistem yang di gambarkan dalam bentuk kurva kecepatan motor terhadap waktu garis putus-putus menandakan titik dimana keluaran sistem mencapai *settling time*. Dari pengujian ini didapatkan nilai *settling time* sebesar 145,87 milidetik, *overshoot* 2,4 % dan *error steady state* 1,6%. Nilai yang berubah-ubah sesudah *settling time* merupakan eror pembacaan sensor *rotary encoder*.

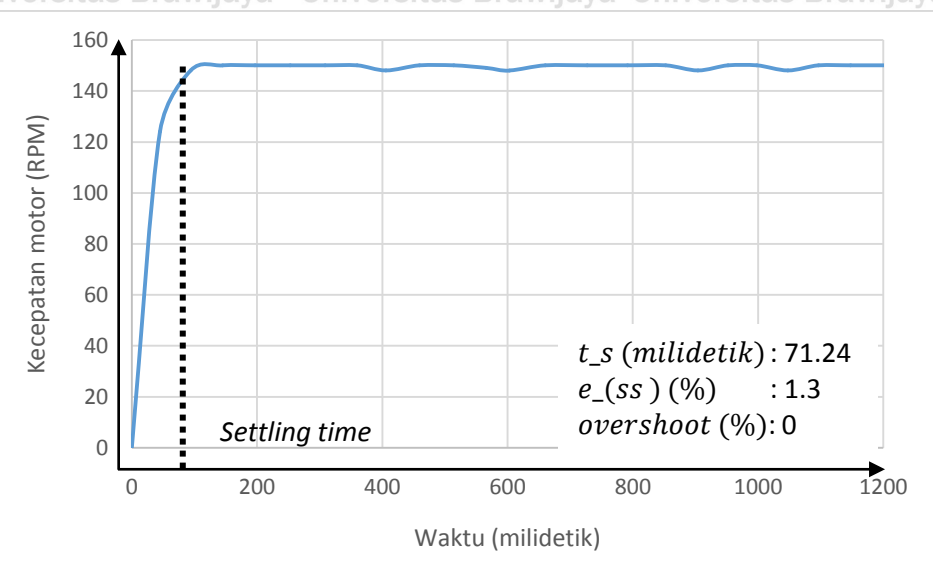
$$e_{ss}(\%) = \frac{|127 - 125|}{125} \times 100\% = 1,6\%$$

$$\text{overshoot (\%)} = \frac{128 - 125}{125} \times 100\% = 2,4\%$$



4.1.3. Pengujian dengan Setpoint 150 rpm

Keluaran sistem pada pengujian sistem tanpa beban dengan setpoint 150 RPM ditunjukkan dalam Gambar 4.3. Nilai yang berubah-ubah sesudah settling time merupakan eror pembacaan sensor *rotary encoder*.



Gambar 4.3 Keluaran sistem tanpa beban dengan setpoint 150RPM

Gambar 4.3 Merupakan keluaran sistem yang di gambarkan dalam bentuk

kurva kecepatan motor terhadap waktu garis putus-putus menandakan titik dimana keluaran sistem mencapai *settling time*. Dari pengujian ini didapatkan nilai *settling time* sebesar 93,92 milidetik, *error steady state* 1,3% dan *overshoot* 0%. Nilai yang berubah-ubah sesudah *settling time* merupakan eror pembacaan sensor *rotary encoder*.

$$ess (\%) = \frac{|148 - 150|}{150} \times 100 \% \\ = 1,3 \%$$

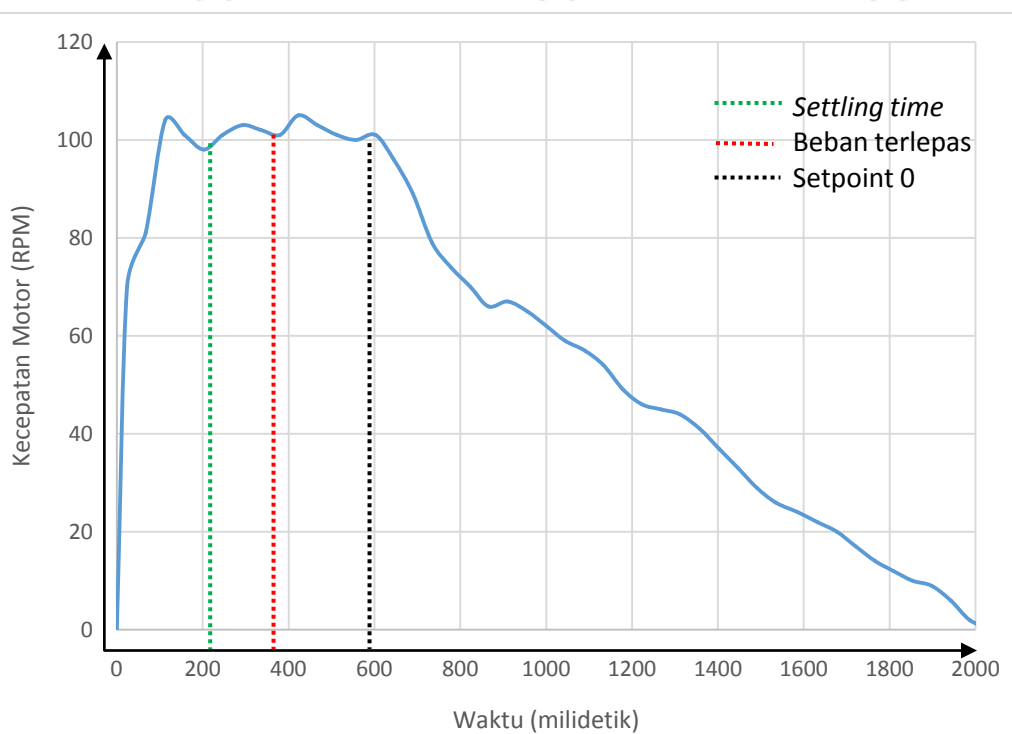
$$overshoot (\%) = \frac{150 - 150}{150} \times 100 \% \\ = 0 \%$$

4.2. Pengujian Sistem Berbeban

Pengujian ini dilakukan untuk mengetahui performansi sistem ketika diberikan beban. Prosedur pada pengujian ini terdapat dalam bab 3.10.

4.2.1. Pengujian dengan Setpoint 100rpm

Keluaran sistem pada pengujian sistem berbeban dengan setpoint 100 RPM ditunjukkan dalam Gambar 4.4.



Gambar 4.4 Keluaran sistem berbeban dengan setpoint 100RPM

Gambar 4.4 Merupakan keluaran sistem yang di gambarkan dalam bentuk kurva kecepatan motor terhadap waktu. Garis putus-putus berwarna hijau merupakan titik dimana keluaran sistem mencapai *settling time*, garis putus-putus berwarna merah merupakan titik dimana beban terlepas dari tuas, dan garis putus-putus berwarna hitam merupakan titik dimana sistem diberi *setpoint* sebesar 0.

Dari pengujian ini didapatkan nilai *settling time* sebesar 246.22milidetik, *error steady state* 5%, *overshoot* 4% dan ketinggian 2,1m. Sistem diberi *setpoint* 0 saat tuas pelontar melewati 90°. Nilai yang berubah-ubah sesudah *settling time* merupakan eror pembacaan sensor *rotary encoder*.

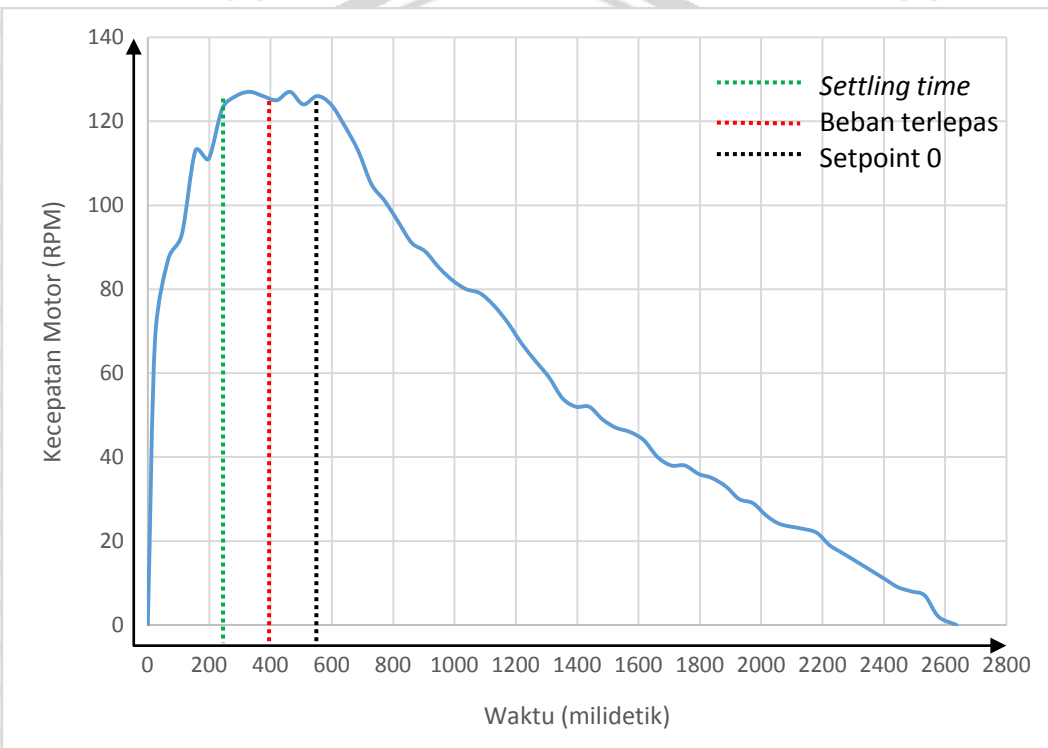


$$\text{ess} (\%) = \frac{|101 - 100|}{100} \times 100 \% \\ = 5 \%$$

$$\text{overshoot} (\%) = \frac{104 - 100}{100} \times 100 \% \\ = 4 \%$$

4.2.2. Pengujian dengan Setpoint 125rpm

Keluaran sistem pada pengujian sistem berbeban dengan setpoint 125RPM ditunjukkan dalam Gambar 4.5.



Gambar 4.5 Keluaran sistem berbeban dengan setpoint 125RPM

Gambar 4.5 Merupakan keluaran sistem yang di gambarkan dalam bentuk kurva kecepatan motor terhadap waktu. Garis putus-putus berwarna hijau merupakan titik dimana keluaran sistem mencapai *settling time*, garis putus-putus berwarna merah merupakan titik dimana beban terlepas dari tuas, dan garis putus-putus berwarna hitam merupakan titik dimana sistem diberi *setpoint* sebesar 0.

Dari pengujian ini didapatkan nilai *settling time* sebesar 287,16 detik, *error steady state* 1.6%, *overshoot* 1.6% dan ketinggian 2,7m. Sistem diberi *setpoint* 0 saat tuas pelontar melewati 90°. Nilai yang berubah-ubah sesudah *settling time* merupakan *error pembacaan sensor rotary encoder*.

$$\text{ess} (\%) = \frac{|127 - 125|}{125} \times 100 \%$$

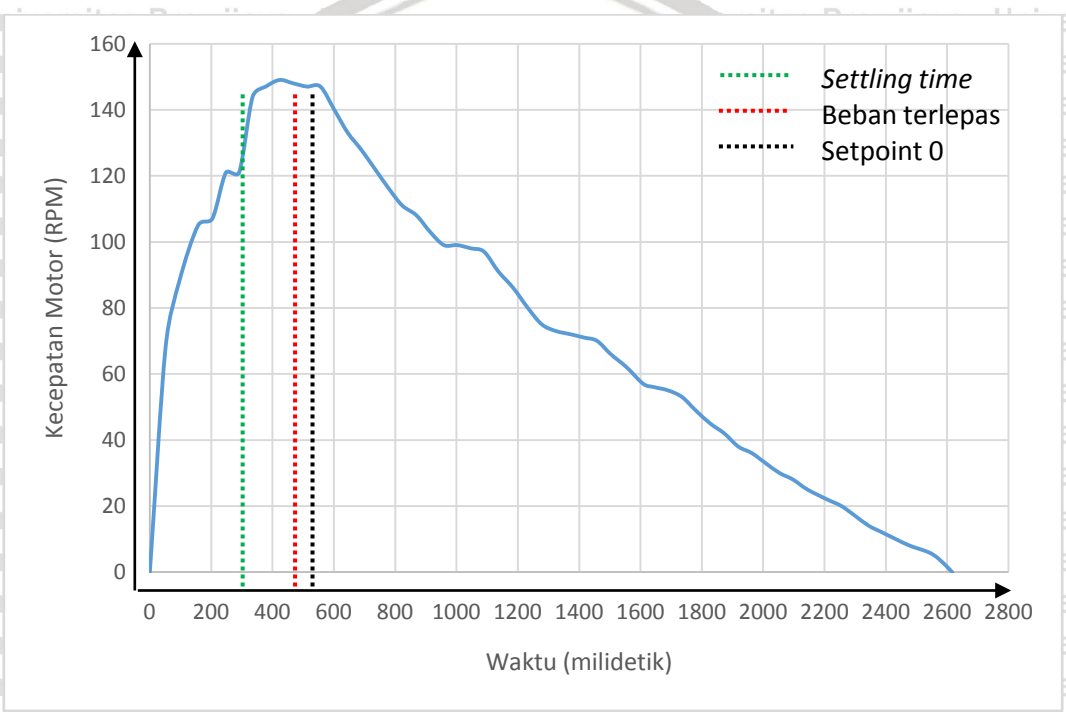
$$= 1,6 \%$$

$$\text{overshoot} (\%) = \frac{127 - 125}{125} \times 100 \%$$

$$= 1,6\%$$

4.2.3. Pengujian dengan Setpoint 150rpm

Keluaran sistem pada pengujian sistem berbeban dengan setpoint 150RPM ditunjukkan dalam Gambar 4.6.



Gambar 4.6 Keluaran sistem berbeban dengan setpoint 150RPM

Gambar 4.6 Merupakan keluaran sistem yang di gambarkan dalam bentuk

titik dimana keluaran sistem mencapai *settling time*, garis putus-putus berwarna merah merupakan titik dimana beban terlepas dari tuas, dan garis putus-putus berwarna hitam merupakan titik dimana sistem diberi *setpoint* sebesar 0.

Dari pengujian ini didapatkan nilai *settling time* sebesar 378,22 milidetik, *error steady state* 2%, *overshoot* 0% dan ketinggian 3,8m. Sistem diberi *setpoint* 0 saat tuas pelontar melewati 90°. Nilai yang berubah-ubah sesudah *settling time* merupakan eror

pembacaan sensor *rotary encoder*.



$$ess (\%) = \frac{|147 - 150|}{150} \times 100 \%$$

$$= 2\%$$

$$overshoot (\%) = \frac{150 - 150}{150} \times 100 \%$$

$$= 0 \%$$

Data hasil pengujian sistem tanpa beban dan berbeban ditunjukkan dalam Tabel 4.1.

Tabel 4.1 Data Hasil Pengujian Sistem Tanpa Beban dan Berbeban

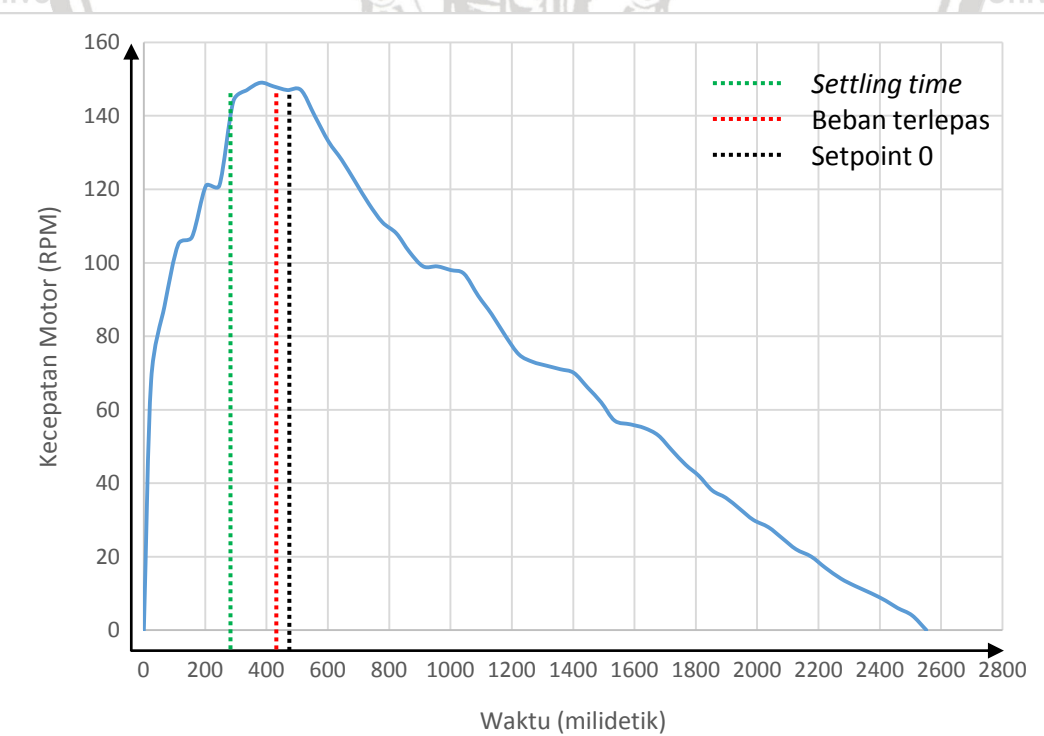
Setpoint(rpm)	Settling Time (ms)		Overshoot (%)		Error Steady State		Ketinggian (m)
	Tanpa Beban	Berbeban	Tanpa Beban	Berbeban	Tanpa Beban	Berbeban	berbeban
100	145,29	246,22	4	4	2	1	2,1
125	145,87	242,79	2,4	1,6	1,6	1,6	2,7
150	93,92	378,22	0	0	1,3	2	3,8

4.3. Pengujian Sistem dengan Variasi Beban

Pengujian ini dilakukan untuk mengetahui pengaruh variasi beban terhadap performansi sistem. Prosedur pengujian ini terdapat dalam bab 3.10.

4.3.1. Pengujian dengan Beban 308 gr

Keluaran sistem pada pengujian variasi beban dengan beban 308 gr ditunjukkan dalam Gambar 4.7.



Gambar 4.7 Keluaran sistem dengan beban 308 gr

Gambar 4.7 Merupakan keluaran sistem yang di gambarkan dalam bentuk kurva kecepatan motor terhadap waktu. Garis putus-putus berwarna hijau merupakan titik dimana keluaran sistem mencapai *settling time*, garis putus-putus berwarna merah merupakan titik dimana beban terlepas dari tuas, dan garis putus-putus berwarna hitam merupakan titik dimana sistem diberi *setpoint* sebesar 0.

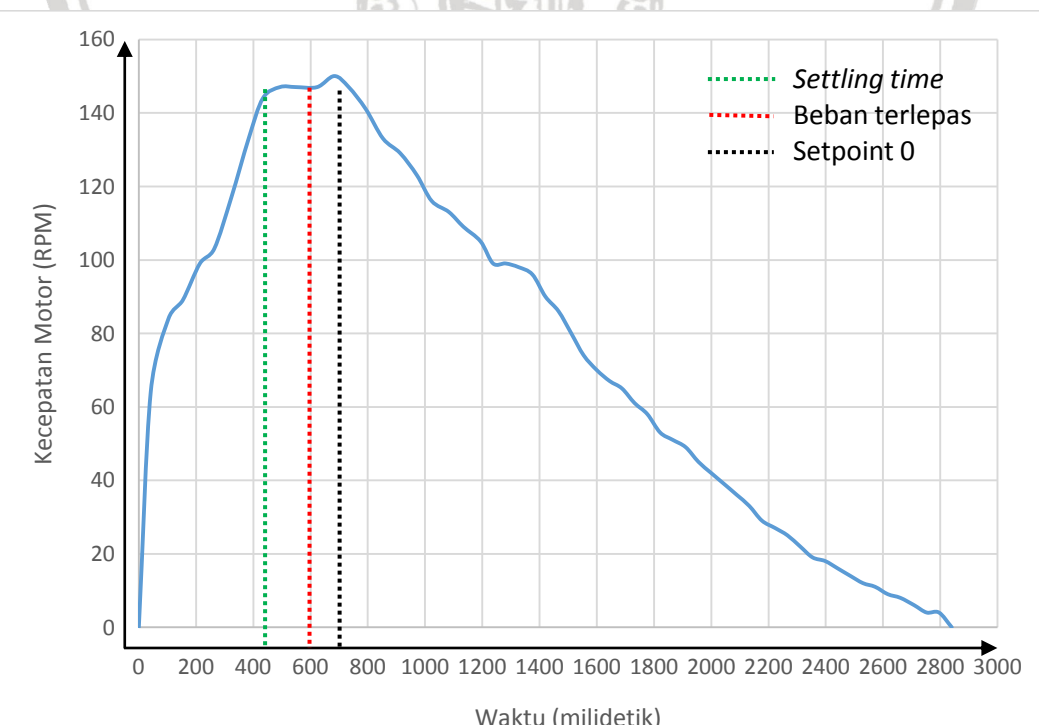
Dari pengujian ini didapatkan nilai *settling time* sebesar 378,22 milidetik, *error steady state* 2%, *overshoot* 0% dan ketinggian 3,8m. Sistem diberi *setpoint* 0 saat tuas pelontar melewati 90°.

$$ess (\%) = \frac{|147 - 150|}{150} \times 100 \% \\ = 2\%$$

$$overshoot (\%) = \frac{38 - 38}{38} \times 100 \% \\ = 0 \%$$

4.3.2. Pengujian dengan Beban 318 gr

Keluaran sistem pada pengujian variasi beban dengan beban 318 gr ditunjukkan dalam Gambar 4.8.





Gambar 4.8 Keluaran sistem dengan beban 318 gr

Gambar 4.8 Merupakan keluaran sistem yang di gambarkan dalam bentuk kurva kecepatan motor terhadap waktu. Garis putus-putus berwarna hijau merupakan titik dimana keluaran sistem mencapai *settling time*, garis putus-putus berwarna merah merupakan titik dimana beban terlepas dari tuas, dan garis putus-putus berwarna hitam merupakan titik dimana sistem diberi *setpoint* sebesar 0.

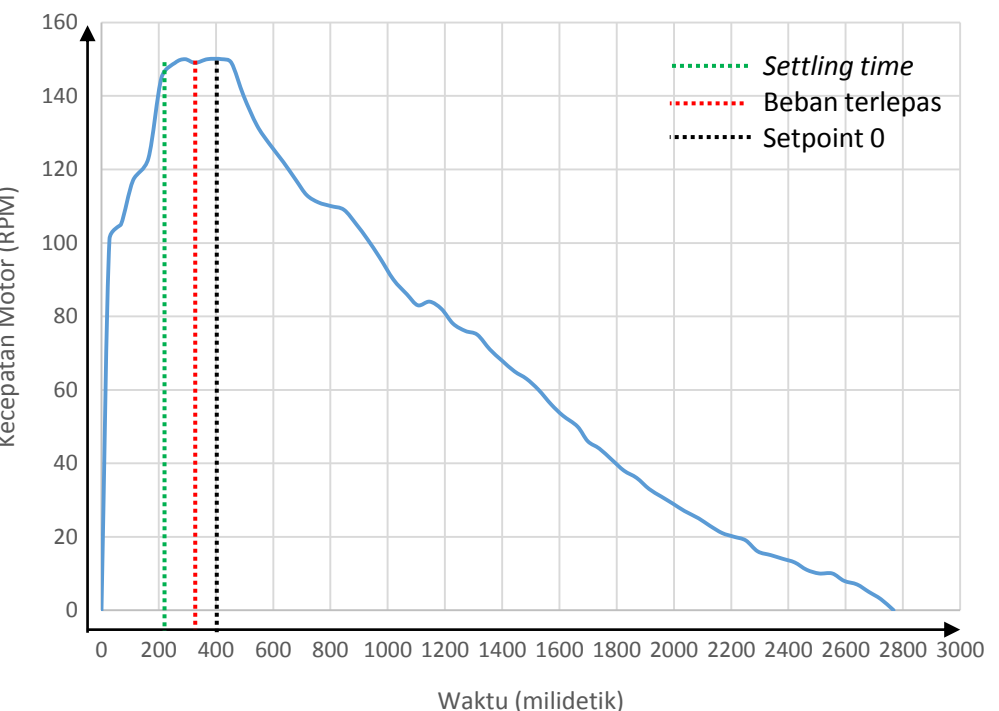
Dari pengujian ini didapatkan nilai *settling time* sebesar 492,95 milidetik, *error steady state* 2%, *overshoot* 0% dan ketinggian 3,7m. Sistem diberi *setpoint* 0 saat tuas pelontar melewati 90°.

$$\text{ess} (\%) = \frac{|147 - 150|}{150} \times 100 \% \\ = 2\%$$

$$\text{overshoot} (\%) = \frac{150 - 150}{150} \times 100 \% \\ = 0 \%$$

4.3.3. Pengujian dengan Beban 325 gr

Keluaran sistem pada pengujian variasi beban dengan beban 325 gr ditunjukkan dalam Gambar 4.9.



Gambar 4.9 Keluaran sistem dengan beban 325 gr

Gambar 4.9 Merupakan keluaran sistem yang di gambarkan dalam bentuk kurva kecepatan motor terhadap waktu. Garis putus-putus berwarna hijau merupakan titik dimana keluaran sistem mencapai *settling time*, garis putus-putus berwarna merah merupakan titik dimana beban terlepas dari tuas, dan garis putus-putus berwarna hitam merupakan titik dimana sistem diberi *setpoint* sebesar 0.

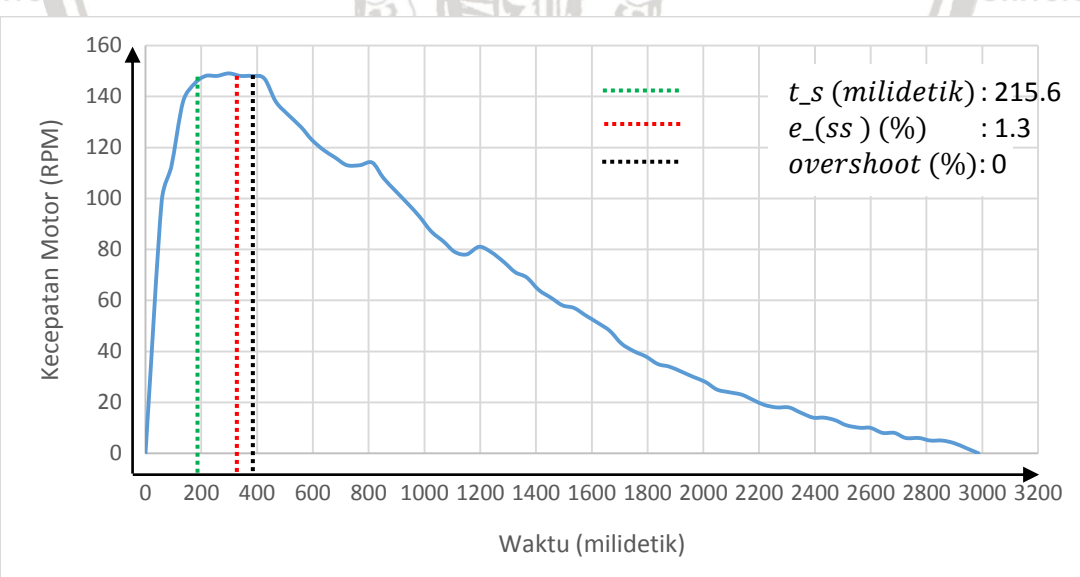
Dari pengujian ini didapatkan nilai *settling time* sebesar 256,97 detik *error steady state* 0.6%, *overshoot* 0% dan ketinggian 3,5m. Sistem diberi *setpoint* 0 saat tuas pelontar melewati 90°.

$$ess (\%) = \frac{|149 - 150|}{150} \times 100 \% \\ = 0,6\%$$

$$overshoot (\%) = \frac{150 - 150}{150} \times 100 \% \\ = 0 \%$$

4.3.4. Pengujian dengan Beban 328 gr

Keluaran sistem pada pengujian variasi beban dengan beban 328 gr ditunjukkan dalam Gambar 4.10.



Gambar 4.10 Keluaran sistem dengan beban 328 gr

Gambar 4.10 Merupakan keluaran sistem yang di gambarkan dalam bentuk

kurva kecepatan motor terhadap waktu. Garis putus-putus berwarna hijau merupakan



titik dimana keluaran sistem mencapai *settling time*, garis putus-putus berwarna merah merupakan titik dimana beban terlepas dari tuas, dan garis putus-putus berwarna hitam merupakan titik dimana sistem diberi *setpoint* sebesar 0.

Dari pengujian ini didapatkan nilai *settling time* sebesar 215,6 milidetik *error steady state* 1,3%, *overshoot* 0% dan ketinggian 3,5m. Sistem diberi *setpoint* 0 saat tuas pelontar melewati 90°.

$$ess (\%) = \frac{|148 - 150|}{150} \times 100 \% \\ = 1,3\%$$

$$overshoot (\%) = \frac{149 - 149}{149} \times 100 \% \\ = 0 \%$$

Data hasil pengujian sistem dengan variasi beban ditunjukkan dalam Tabel 4.2

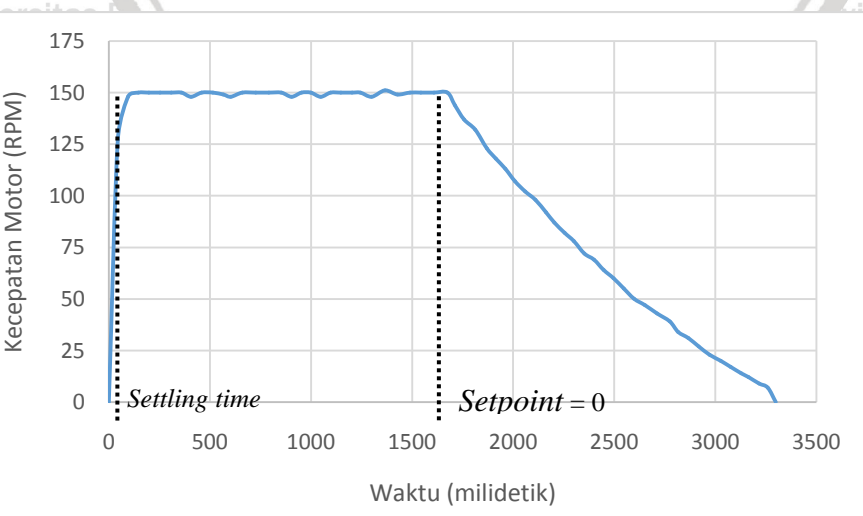
Tabel 4.2 Data Pengujian Sistem dengan Variasi Beban

Setpoint (RPM)	Berat Beban (gr)	Settling Time (ms)	Error Steady State (%)	Overshoot (%)	Ketinggian (m)
150	308	378,22	2	0	3,8
	318	492,95	2	0	3,7
	325	256,97	0,6	0	3,5
	328	215,6	1,3	0	3,5

4.4. Pengujian Sifat Reversibel Sistem

Pengujian ini dilakukan untuk mengetahui apakah sistem bersifat reversibel.

Prosedur pengujian ini terdapat dalam bab 3.10. Keluaran sistem ditunjukkan dalam Gambar 4.11.





Gambar 4.11 Keluaran pada pengujian sifat reversibel sistem

Gambar 4.11 Merupakan keluaran sistem yang di gambarkan dalam bentuk kurva kecepatan motor terhadap waktu dengan garis putus-putus pertama merupakan titik dimana keluaran sistem mencapai *settling time* dan garis putus-putus kedua merupakan titik dimana sistem di beri *setpoint* sebesar 0.

Dari pengujian ini diketahui bahwa ketika sistem sudah mencapai *setpoint* 150 RPM dan kemudian sistem diberikan *setpoint* 0 RPM, sistem dapat kembali menuju *setpoint* yang telah diberikan. Nilai yang berubah-ubah sesudah *settling time* merupakan eror pembacaan sensor *rotary encode*.





BABV KESIMPULAN

Berdasarkan pengujian dan analisis yang telah dilakukan pada penelitian ini didapatkan beberapa kesimpulan sebagai berikut:

1. Fungsi alih sistem keseluruhan adalah $\frac{\dot{\theta}(s)}{U(s)} = \frac{23.88}{s^2 + 10.6s + 24.28}$
2. Nilai parameter kontroler PI yang didapatkan menggunakan metode *root locus* dengan nilai poles₁ = -7,26 adalah K_p 0,375953 dan K_i 2,5
3. Pada pengujian sistem dengan nilai *setpoint* berbeda-beda didapatkan nilai *settling time* (t_s) rata-rata sebesar 128,36 detik
4. Nilai *setpoint* mempengaruhi performansi sistem
5. Pada pengujian sistem dengan beban berbeda-beda didapatkan nilai *settling time* (t_s) rata-rata sebesar 289,103 detik
6. *settling time* (t_s) akan bertambah saat diberikan berupa beban
7. Sistem bekerja cukup baik sesuai dengan spesifikasi desain yang telah ditentukan



- Amalia, Z. (2016). *DESAIN KONTROLER STRUKTUR OUTPUT FEEDBACK CONTROL DENGAN POLE PLACEMENT PADA PENGONTROLAN TEGANGAN OUTPUT GENERATOR DC*. Malang: Universitas Brawijaya, Skripsi tidak dipublikasikan.
- Ardiansyah, R. (2019). *KONTROL POSISI MOTOR DC MENGGUNAKAN KONTROLER PI PADA LINEAR SLIDE AKTUATOR ROBOT DIVISI KRAI*. Malang: Universitas Brawijaya, Skripsi tidak dipublikasikan.
- Asiswantara. (2017). *Penentuan Gain Kontroler PI Digital Sebagai Kontroler Camera Stabilizer dengan Menggunakan Metode Root Locus*. Malang: universitas Brawijaya: Skripsi. Tidak Dipublikasikan.
- Charles L. Philips, R. D., & Widodo, a. b. (1998). *Sistem kontrol : dasar-dasar (feedback control system 3e)*. Kota Bandar Lampung: Prenhallindo.
- Fahmizal. (2011, December 4). *Driver Motor DC pada Robot Beroda dengan Konfigurasi H-BRIDGE MOSFET*. Retrieved from fahmizaleeits.wordpress.com: <https://fahmizaleeits.wordpress.com/2011/12/04/driver-motor-dc-pada-robot-beroda-dengan-konfigurasi-h-bridge-mosfet/>
- Ogata, K. (1995). *Teknik Kontrol Automatik (sistem pengaturan) (jilid 1 ed)*. Jakarta: Erlangga.
- Prinsip Kerja Motor DC. (2019, February 7). Retrieved from elektronika-dasar.web.id: <http://elektronika-dasar.web.id/prinsip-kerja-motor-dc/>
- Rizqiawan, A. (2009, june 12). *Sekilas Rotary Encoder*. Retrieved from kohversi.wordpress.com: <https://konversi.wordpress.com/2009/06/12/sekilas-rotary-encoder/>
- Rotary Encoder. (2019, April 5). Retrieved from wikipedia.org: https://en.wikipedia.org/wiki/Rotary_encoder
- Rusli, M. (2015). *Dasar Teknik Kontrol*. Malang: UB press.
- Yana, A. (2014). *Metode Root Locus Untuk Mencari Parameter PID pada Pengendalian Posisi Stamping Rod Berbasis Pneumatic Menggunakan Arduino Uno*. Malang : Universitas Brawijaya: Skripsi. Tidak Dipublikasikan.





LAMPIRAN 1

DATA PENGUJIAN





Data Pengujian Sistem Tanpa Beban dengan Setpoint 100 rpm

Waktu (milidetik)	Keluaran (rpm)		1543.66	100
0	0		1607.92	102
44.69	104		1674.18	103
93.92	103		1710.67	97
145.29	101		1756.29	92
196.93	100		1812.19	87
252.67	101		1868.92	82
308.8	101		1914.04	77
359.55	100		1960.55	71
405.93	102		2008.16	66
459.17	100		2059.91	62
514.17	101		2109.94	58
565.92	102		2162.06	54
603.17	100		2203.43	49
660.04	101		2254.05	45
727.16	101		2300.16	40
791.54	102		2351.92	36
852.57	101		2400.42	32
903.92	100		2446.59	29
952.17	101		2496.19	25
998.3	100		2546.32	22
1047.92	102		2598.29	18
1096.56	100		2652.17	16
1147.92	100		2711.41	12
1203.17	101		2775.17	10
1243.55	101		2816.44	6
1300.18	101		2867.42	4
1365.19	101		2917.91	0
1427.54	102		2971.16	0
1488.67	100		3026.17	0



Data Pengujian Sistem Tanpa Beban dengan Setpoint 125 rpm

Waktu (milidetik)	Keluaran (rpm)		1674.18	127
0	0		1710.67	127
44.69	56		1756.29	123
93.92	128		1812.19	115
145.29	127		1868.92	111
196.93	126		1914.04	105
252.67	124		1960.55	100
308.8	126		2008.16	95
359.55	127		2059.91	88
405.93	127		2109.94	84
459.17	127		2162.06	80
514.17	125		2203.43	75
565.92	126		2254.05	70
603.17	127		2300.16	67
660.04	126		2351.92	63
727.16	126		2400.42	57
791.54	126		2446.59	53
852.57	126		2496.19	50
903.92	126		2546.32	45
952.17	126		2598.29	42
998.3	126		2652.17	38
1047.92	127		2711.41	33
1096.56	127		2775.17	29
1147.92	127		2816.44	26
1203.17	126		2867.42	24
1243.55	126		2917.91	20
1300.18	126		2971.16	17
1365.19	124		3026.17	13
1427.54	127		3075.93	11
1488.67	126		3127.67	7
1543.66	127		3164.92	5
1607.92	127		3216.54	0



Data Pengujian Sistem Tanpa Beban dengan Setpoint 150 rpm

Waktu (milidetik)	Keluaran (rpm)		1674.18	150
0	0		1710.67	144
44.69	124		1756.29	132
93.92	148		1812.19	123
145.29	150		1868.92	118
196.93	150		1914.04	113
252.67	150		1960.55	107
308.8	150		2008.16	102
359.55	150		2059.91	98
405.93	148		2109.94	92
459.17	150		2162.06	87
514.17	150		2203.43	82
565.92	149		2254.05	78
603.17	148		2300.16	72
660.04	150		2351.92	69
727.16	150		2400.42	64
791.54	150		2446.59	60
852.57	150		2496.19	55
903.92	148		2546.32	50
952.17	150		2598.29	47
998.3	150		2652.17	43
1047.92	148		2711.41	39
1096.56	150		2775.17	34
1147.92	150		2816.44	31
1203.17	150		2867.42	27
1243.55	150		2917.91	23
1300.18	148		2971.16	20
1365.19	151		3026.17	17
1427.54	149		3075.93	14
1488.67	150		3127.67	12
1543.66	150		3164.92	9
1607.92	150		3216.54	7



Data Pengujian Sistem Berbeban dengan Setpoint 100 rpm

Waktu (milidetik)	Keluaran (rpm)		1358.18	41
0	0		1401.78	37
23.79	70		1446.87	33
66.92	81		1490.79	29
112.11	104		1534.91	26
157.03	101		1586.02	24
202.92	98		1631.54	22
246.22	101		1676.86	20
291.98	103		1720.73	17
336.11	102		1766.23	14
380.34	101		1809.1	12
422.73	105		1853.04	10
466.98	103		1897.47	9
512.23	101		1942.36	6
556.98	100		1986.61	2
601.98	101		2036.16	0
644.98	96		2081.17	0
689.48	89		2125.92	0
733.73	79		2175.66	0
777.82	74		2221.16	0
823.17	70		2272.42	0
865.36	66		2318.67	0
910.73	67		2371.55	0
956.48	65		2418.42	0
1000.36	62		2457.16	0
1043.73	59		2504.29	0
1089.92	57		2550.79	0
1133.73	54		2598.66	0
1179.34	49		2651.92	0
1223.11	46		2697.42	0
1268.03	45		2743.16	0
1311.34	44		2787.16	0



Data Pengujian Sistem Berbeban dengan Setpoint 125 rpm

Waktu (milidetik)	Keluaran (rpm)		1352.06	54
0	0		1395.53	52
23.48	68		1439.16	52
66.01	87		1482.17	49
110.78	93		1525.84	47
155.1	113		1571.47	46
197.78	111		1617.73	44
242.79	123		1661.97	40
287.16	126		1707.22	38
332.04	127		1751.28	38
375.16	126		1795.78	36
420.19	125		1839.91	35
463.48	127		1885.03	33
506.78	124		1928.16	30
552.36	126		1973.47	29
597.16	124		2017.97	26
640.91	119		2062.99	24
685.53	113		2130.12	23
729.16	105		2180.46	22
772.78	101		2223.29	19
816.86	96		2268.16	17
860.8	91		2313.28	15
904.16	89		2357.91	13
951.11	85		2401.83	11
995.16	82		2446.16	9
1037.91	80		2490.23	8
1083.73	79		2533.78	7
1129.73	76		2578.03	2
1173.73	72		2637.09	0
1219.41	67		2673.63	0
1262.78	63		2715.97	0
1308.16	59		2762.79	0



Data Pengujian Sistem Berbeban dengan Setpoint 150 rpm

Waktu (milidetik)	Keluaran (rpm)		
0	0	1415.16	71
51.34	68	1457.71	70
95.96	88	1502.28	66
157.5	105	1554.35	62
203.84	107	1608.37	57
248.28	121	1643.46	56
291.15	121	1689.32	55
335.48	144	1734.84	53
378.22	147	1778.85	49
422.85	149	1826.58	45
466.48	148	1872.47	42
512.03	147	1918.21	38
555.91	147	1962.71	36
601.2	140	2006.97	33
645.28	133	2052.46	30
688.34	128	2096.71	28
734.18	122	2143.46	25
779.88	116	2207.47	22
822.71	111	2254.2	20
869.22	108	2299.45	17
913.72	103	2343.92	14
958.49	99	2387.28	12
1002.21	99	2431.23	10
1046.97	98	2476.9	8
1089.59	97	2538.21	6
1136.22	91	2571.9	4
1184.96	86	2615.72	0
1232.1	80	2660.65	0
1277.59	75	2704.9	0
1322.85	73	2749.4	0
1371.22	72	2793.64	0
		2836.9	0



Data Pengujian Variasi Beban dengan Beban 308 gr

Waktu (milidetik)	Keluaran (rpm)		
0	0	1415.16	71
51.34	68	1457.71	70
95.96	88	1502.28	66
157.5	105	1554.35	62
203.84	107	1608.37	57
248.28	121	1643.46	56
291.15	121	1689.32	55
335.48	144	1734.84	53
378.22	147	1778.85	49
422.85	149	1826.58	45
466.48	148	1872.47	42
512.03	147	1918.21	38
555.91	147	1962.71	36
601.2	140	2006.97	33
645.28	133	2052.46	30
688.34	128	2096.71	28
734.18	122	2143.46	25
779.88	116	2207.47	22
822.71	111	2254.2	20
869.22	108	2299.45	17
913.72	103	2343.92	14
958.49	99	2387.28	12
1002.21	99	2431.23	10
1046.97	98	2476.9	8
1089.59	97	2538.21	6
1136.22	91	2571.9	4
1184.96	86	2615.72	0
1232.1	80	2660.65	0
1277.59	75	2704.9	0
1322.85	73	2749.4	0
1371.22	72	2793.64	0
		2836.9	0



Data Pengujian Variasi Beban dengan Beban 318 gr

Waktu (milidetik)	Keluaran (rpm)		
0	0	1644.35	67
41.53	64	1687.3	65
103.71	84	1731.6	61
153.54	89	1776.09	58
213.29	99	1820.74	53
263.47	103	1864.6	51
323.22	117	1909.97	49
383.61	133	1954.7	45
433.6	144	1998.72	42
492.95	147	2044.05	39
548.31	147	2088.85	36
623.1	147	2132.28	33
682.97	150	2176.47	29
733.05	147	2222.22	27
792.85	141	2265.66	25
852.8	133	2309.65	22
913.05	129	2353.29	19
971.44	123	2397.46	18
1022.97	116	2441.4	16
1083.1	113	2484.54	14
1133.49	109	2529.18	12
1193.66	105	2571.78	11
1237.3	99	2615.79	9
1281.22	99	2659.91	8
1326.29	98	2708.03	6
1374.67	96	2751.73	4
1419.92	90	2794.78	4
1465.93	86	2839.31	0
1510.28	80	2884.03	0
1553.72	74	2926.78	0
1599.29	70	2972.41	0
		3015.91	0



Data Pengujian Variasi Beban dengan Beban 325 gr

Waktu (milidetik)	Keluaran (rpm)		
0	0	1312.84	75
27.97	101	1356.72	71
67.98	105	1398.33	68
110.23	117	1442.98	65
163.84	123	1484.61	63
209.73	145	1526.85	60
256.97	149	1571.24	56
291.59	150	1611.33	53
326.96	149	1662.99	50
370.21	150	1698.84	46
419.84	150	1739.21	44
453.97	149	1782.22	41
496.58	140	1825.1	38
542.97	132	1869.85	36
586.21	127	1913.12	33
635.35	122	1954.22	31
680.09	117	1996.35	29
716.98	113	2036.84	27
758.1	111	2086.22	25
801.96	110	2124.86	23
847.09	109	2168.35	21
890.84	105	2209.22	20
928.97	101	2250.71	19
971.96	96	2292.58	16
1019.84	90	2337.85	15
1066.99	86	2379.6	14
1105.24	83	2421.85	13
1146.6	84	2463.6	11
1187.86	82	2506.87	10
1228.23	78	2552.99	10
1271.6	76	2593.85	8
		2639.63	7

Data Pengujian Variasi Beban dengan Beban 928 gr

Waktu (milidetik)	Keluaran (rpm)		
0	0	1325.97	71
58.22	99	1366.61	69
91.99	112	1410.86	64
134.9	138	1454.1	61
176.23	145	1495.6	58
215.6	148	1536.71	57
256.22	148	1579.33	54
298.84	149	1624.24	51
340.59	148	1665.1	48
381.85	148	1706.97	43
425.99	147	1751.85	40
466.84	138	1793.58	38
509.35	133	1837.1	35
557.34	128	1877.99	34
595.97	123	1922.1	32
637.85	119	1963.22	30
679.97	116	2007.38	28
722.11	113	2048.98	25
769.23	113	2090.85	24
813.23	114	2137.61	23
852.86	108	2177.48	21
895.6	103	2218.22	19
939.61	98	2262.6	18
981.22	93	2307.11	18
1024.6	87	2348	16
1069.25	83	2393.63	14
1108.58	79	2432.11	14
1151.6	78	2472.6	13
1195.83	81	2512.72	11
1238.11	79	2562.86	10
1285.14	75	2599.1	10
		2643.1	8

LAMPIRAN 2

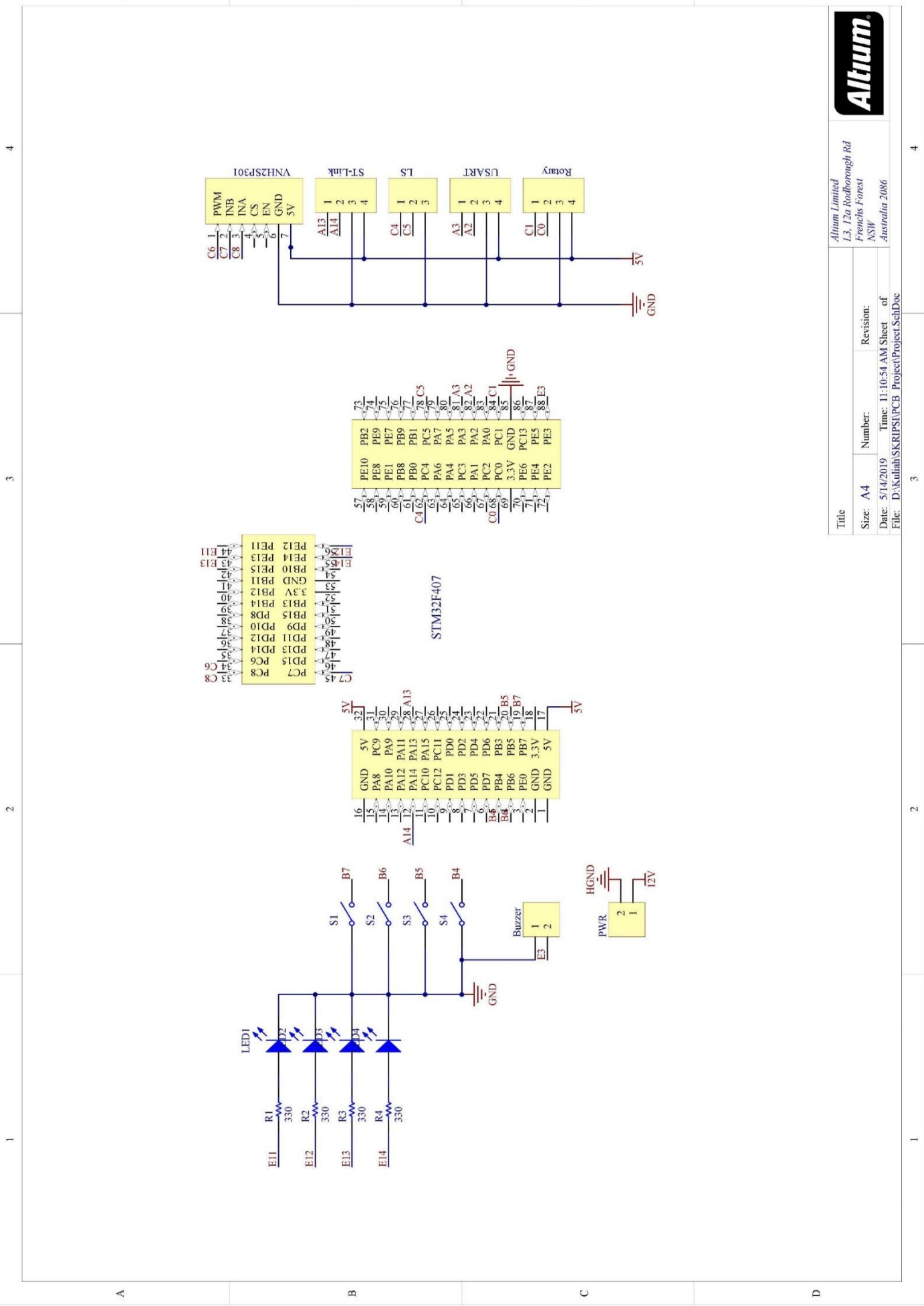
KONFIGURASI PIN DAN SKEMATIK



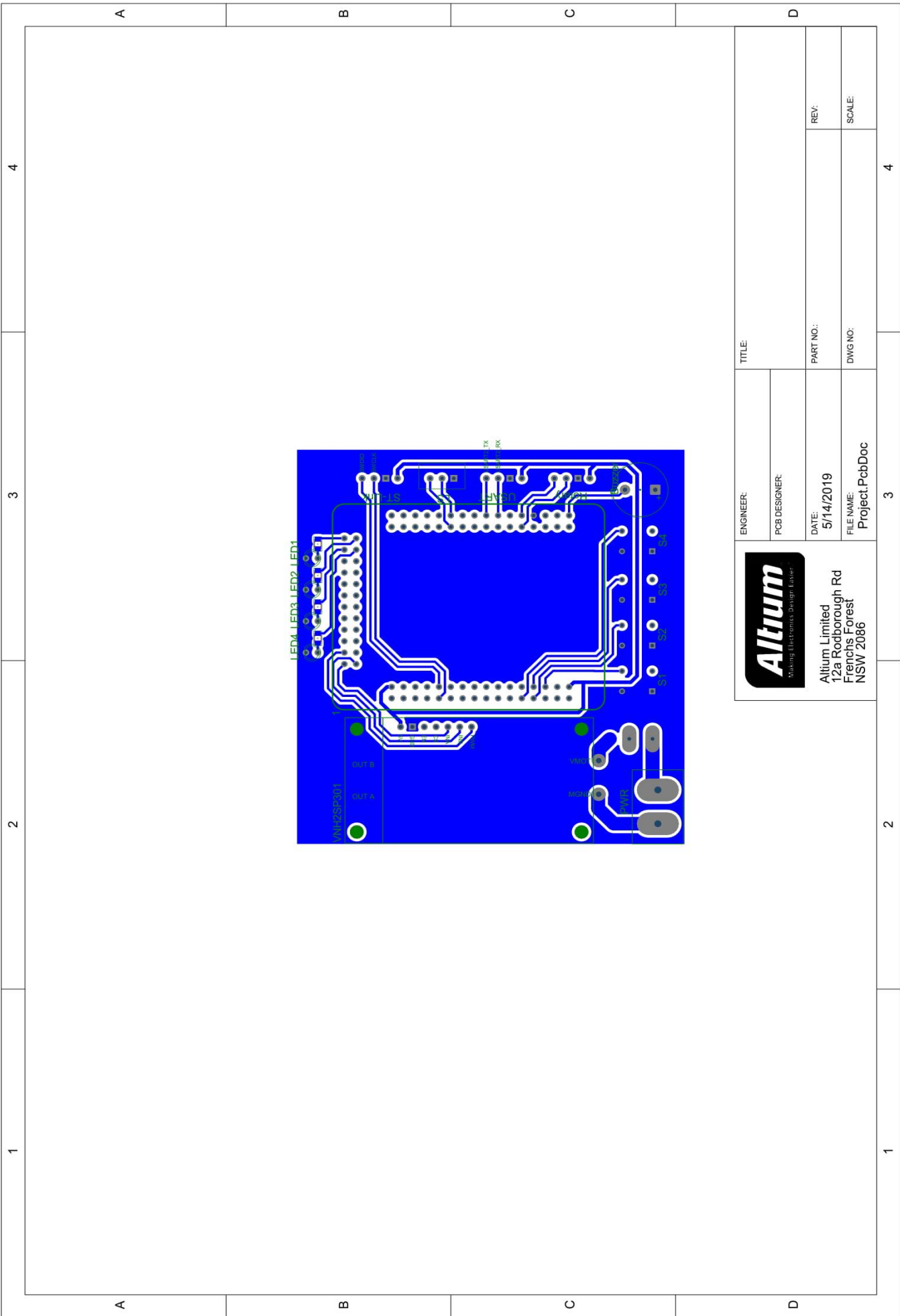


DIR2	PWM						LED1
	TIN3_CH1						
C8	C6	D14	D12	D10	D8	B11	E11
C7	D15	D13	D11	D9	B15	B13	E12
						GND	
						3.3V	
							LED4
DIR1							













LAMPIRAN 3

LISTING PROGRAM UTAMA







```
#include "bismillah.h"
int nilaiDC;
void vTaskRUN1( void *pvParameters ) {
    for(;;) {
        /* **** */
        /* Motor Set & Control */
        /* SkripsiPei */
//        V1.Kp = 0.3; V1.Ki = 0.1;
        V1.set = nilaiDC;
//        PID_Kecepatan1();
        eksekusi_motor(mtr1, V1.arah, V1.set);
        /* **** */
        TIM3->CCR1 = (( V1.set * (TIM_3.period - 1)) / 100); //motor5
    }
}

void vTaskRUN3( void * pvParameters ) {
    TickType_t xLastWakeTime;
    const TickType_t xPeriod = pdMS_TO_TICKS( 20 );
    xLastWakeTime = xTaskGetTickCount();

    for(;;) {
        vTaskDelayUntil( &xLastWakeTime, xPeriod );

        prt[0] = speed[0]* (6000/r1.ppr);
        speed[0]=0;
        if (!prt[0]) r1.Rpm=0;
    }
}

int waktuu,ttd, cobaa, tmpp, tanda=0;
void vTaskRUN4( void * pvParameters ) {
TickType_t xLastWakeTime;
const TickType_t xPeriod = pdMS_TO_TICKS( 100 );
xLastWakeTime = xTaskGetTickCount();

for(;;){ vTaskDelayUntil( &xLastWakeTime, xPeriod );
if(ttd)
waktuu++;
V1.arah = maju;
if(waktuu==40)
{
    waktuu = 0;
}
elseif(waktuu==20)
{
}
}
}
```

```
if(V1.SP==150) {
    cobaa++;
    tanda = 1;
}
elseif(waktu==5 && !tanda)
{
    tmpp += 25;
    V1.SP = tmpp;
}
if(tanda) {
    switch(cobaa){
        case 1 :   V1.Kp = 0.1400;
                    V1.Ki = 1; tanda = 0; tmpp = 0;
                    break;
        case 2 :   V1.Kp = 0.2089;
                    V1.Ki = 1.5; tanda = 0; tmpp = 0;
                    break;
        case 3 :   V1.Kp = 0.2778;
                    V1.Ki = 2; tanda = 0; tmpp = 0;
                    break;
        case 4 :   V1.Kp = 0.3466;
                    V1.Ki = 2.5; tanda = 0; tmpp = 0;
                    break;
        case 5 :   V1.Kp = 0.4155;
                    V1.Ki = 3; tanda = 0; tmpp = 0;
                    break;
        case 6 :   V1.Kp = 0.4844;
                    V1.Ki = 3.5; tanda = 0; tmpp = 0;
                    break;
        case 7 :   V1.Kp = 0.5533;
                    V1.Ki = 4; tanda = 0; tmpp = 0;
                    break;
        case 8 :   V1.Kp = 0.6221;
                    V1.Ki = 4.5; tanda = 0; tmpp = 0;
                    break;
        case 9 :   V1.Kp = 0.6910;
                    V1.Ki = 5.; tanda = 0; tmpp = 0;
                    break;
        case 10:  V1.Kp = 0.7599;
                    V1.Ki = 5.5; tanda = 0; tmpp = 0;
    }
}
//Universitas Brawijaya
//    if(rt_1.encoder2>=rt_1.ppr) {
//        V1.SP = 0;
//        V1.set = 0;
//    }
void vTaskRUN5( void * pvParameters ){
    TickType_t xLastWakeTime;
```

```
const TickType_t xPeriod = pdMS_TO_TICKS( 75 );
xLastWakeTime = xTaskGetTickCount();

for(;;){
    vTaskDelayUntil( &xLastWakeTime, xPeriod );
}

int main(void){
    SystemInit();
    inisTIM2();
    inisTIM3();
    External_Interrupt();
    init_IO(RCC_AHB1Periph_GPIOC, P_7|P_8, GPIO_Mode_OUT,
GPIO_OType_PP, GPIO_PuPd_NOPULL ); //DIR Motor

    xTaskCreate( vTaskRUN1, ( signedchar * ) "RUN1",
configMINIMAL_STACK_SIZE, NULL, 1, NULL );
    xTaskCreate( vTaskRUN2, ( signedchar * ) "RUN2",
configMINIMAL_STACK_SIZE, NULL, 1, NULL );
    xTaskCreate( vTaskRUN3, ( signedchar * ) "RUN3",
configMINIMAL_STACK_SIZE, NULL, 1, NULL );
    xTaskCreate( vTaskRUN4, ( signedchar * ) "RUN4",
configMINIMAL_STACK_SIZE, NULL, 1, NULL );
    xTaskCreate( vTaskRUN5, ( signedchar * ) "RUN5",
configMINIMAL_STACK_SIZE, NULL, 1, NULL );

    vTaskStartScheduler();
    while (1)
    {
    }

}

//External Interrupt section
void EXTI0_IRQHandler(){
if (EXTI_GetITStatus(EXTI_Line0)) {
    speed[0]++;
    if(GPIO_ReadInputDataBit(GPIOC, GPIO_Pin_1)){
        rt_1.encoder--;
        rt_1.encoder2--;
    }
    else{
        rt_1.encoder++;
        rt_1.encoder2++;
    }
}
if(GPIO_ReadInputDataBit(GPIOC, GPIO_Pin_1)){
    rt_1.encoder--;
    rt_1.encoder2--;
}
else{
    rt_1.encoder++;
    rt_1.encoder2++;
}
if(rt_1.encoder>rt_1.ppr) rt_1.encoder=1;
}
```



```
        elseif(rt_1.encoder<0) rt_1.encoder=rt_1.ppr-1;  
        rt_1.sudut=(rt_1.encoder*360)/rt_1.ppr;  
if(rt_1.CaptureNumber == 0)  
{  
    rt_1 EXTI_ReadValue1 = TIM2->CNT;  
    rt_1.CaptureNumber = 1;  
}  
elseif(rt_1.CaptureNumber == 1)  
{  
    rt_1 EXTI_ReadValue2 = TIM2->CNT;  
}  
// Hitung Data Periode  
if (rt_1 EXTI_ReadValue2> rt_1 EXTI_ReadValue1) rt_1.Capture =  
(rt_1 EXTI_ReadValue2 - rt_1 EXTI_ReadValue1);  
elseif (rt_1 EXTI_ReadValue2<  
rt_1 EXTI_ReadValue1) rt_1.Capture = ((TIM2 ->ARR - rt_1 EXTI_ReadValue1)  
+ rt_1 EXTI_ReadValue2);  
else rt_1.Capture = 0;  
// HitungFrekuensi  
    rt_1.Freq = TIM_2.period / rt_1.Capture;  
    rt_1.Rpm = (rt_1.Freq*60)/rt_1.ppr;  
    rt_1.CaptureNumber = 0;  
}  
    EXTI_ClearITPendingBit(EXTI_Line0);  
}
```

LAMPIRAN 4 **DATASHEET**







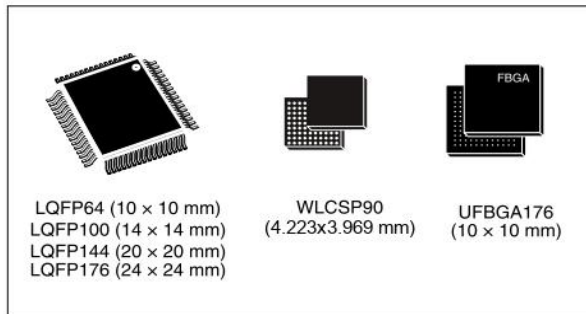
STM32F405xx STM32F407xx

ARM Cortex-M4 32b MCU+FPU, 210DMIPS, up to 1MB Flash/192+4KB RAM, USB OTG HS/FS, Ethernet, 17 TIMs, 3 ADCs, 15 comm. interfaces & camera

Datasheet - production data

Features

- Core: ARM® 32-bit Cortex®-M4 CPU with FPU, Adaptive real-time accelerator (ART Accelerator™) allowing 0-wait state execution from Flash memory, frequency up to 168 MHz, memory protection unit, 210 DMIPS/1.25 DMIPS/MHz (Dhrystone 2.1), and DSP instructions
- Memories
- Up to 1 Mbyte of Flash memory
- Up to 192+4 Kbytes of SRAM including 64-Kbyte of CCM (core coupled memory) data RAM
- Flexible static memory controller supporting Compact Flash, SRAM, PSRAM, NOR and NAND memories
- LCD parallel interface, 8080/6800 modes
- Clock, reset and supply management
 - 1.8 V to 3.6 V application supply and I/Os
 - POR, PDR, PVD and BOR
 - 4-to-26 MHz crystal oscillator
 - Internal 16 MHz factory-trimmed RC (1% accuracy)
 - 32 kHz oscillator for RTC with calibration
 - Internal 32 kHz RC with calibration
- Low-power operation
 - Sleep, Stop and Standby modes
 - V_{BAT} supply for RTC, 20×32 bit backup registers + optional 4 KB backup SRAM
- 3×12-bit, 2.4 MSPS A/D converters: up to 24 channels and 7.2 MSPS in triple interleaved mode
- 2×12-bit D/A converters
- General-purpose DMA: 16-stream DMA controller with FIFOs and burst support



- Up to 17 timers: up to twelve 16-bit and two 32-bit timers up to 168 MHz, each with up to 4 IC/OC/PWM or pulse counter and quadrature (incremental) encoder input
- Debug mode
 - Serial wire debug (SWD) & JTAG interfaces
 - Cortex-M4 Embedded Trace Macrocell™
- Up to 140 I/O ports with interrupt capability
 - Up to 136 fast I/Os up to 84 MHz
 - Up to 138 5 V-tolerant I/Os
- Up to 15 communication interfaces
 - Up to 3 × I²C interfaces (SMBus/PMBus)
 - Up to 4 USARTs/2 UARTs (10.5 Mbit/s, ISO 7816 interface, LIN, IrDA, modem control)
 - Up to 3 SPIs (42 Mbit/s), 2 with muxed full-duplex I²S to achieve audio class accuracy via internal audio PLL or external clock
 - 2 × CAN interfaces (2.0B Active)
 - SDIO interface
- Advanced connectivity
 - USB 2.0 full-speed device/host/OTG controller with on-chip PHY
 - USB 2.0 high-speed/full-speed device/host/OTG controller with dedicated DMA, on-chip full-speed PHY and ULPI
 - 10/100 Ethernet MAC with dedicated DMA: supports IEEE 1588v2 hardware, MII/RMII

STM32F405xx, STM32F407xx

- 8- to 14-bit parallel camera interface up to 54 Mbytes/s
- True random number generator
- CRC calculation unit
- 96-bit unique ID
- RTC: subsecond accuracy, hardware calendar

Table 1. Device summary

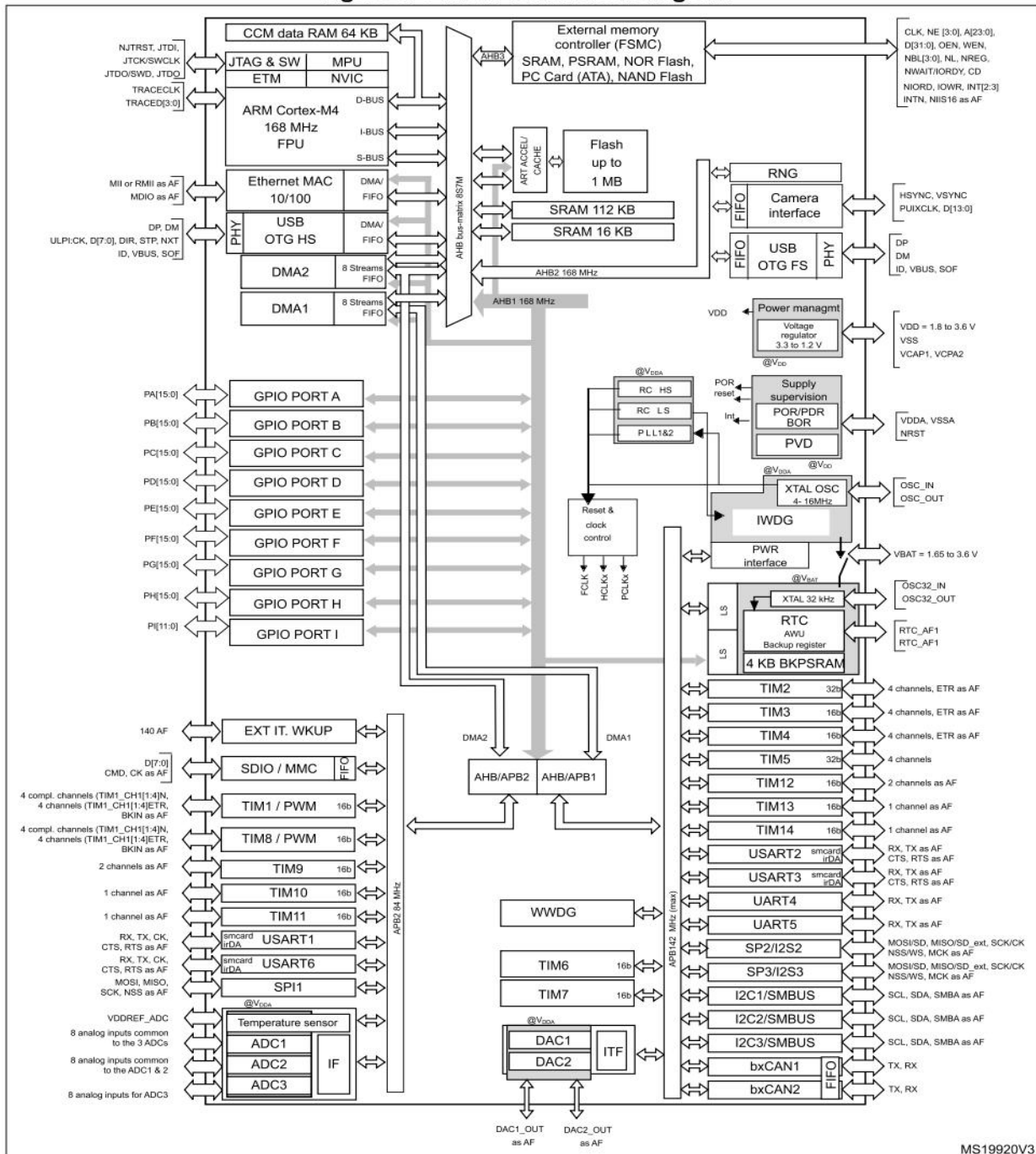
Reference	Part number
STM32F405xx	STM32F405RG, STM32F405VG, STM32F405ZG, STM32F405OG, STM32F405OE
STM32F407xx	STM32F407VG, STM32F407IG, STM32F407ZG, STM32F407VE, STM32F407ZE, STM32F407IE

STM32F405xx, STM32F407xx

Description

2.2 Device overview

Figure 5. STM32F40xxx block diagram



1. The camera interface and ethernet are available only on STM32F407xx devices.

MS19920V3

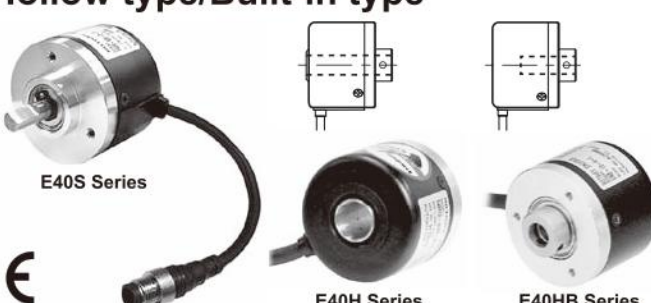
E40 Series

Diameter ø40mm Shaft type/Hollow type/Built-in type Incremental Rotary Encoder

■ Features

- 12-24VDC power supply of line driver output(Line-up)
- Easy installation at narrow space
- Small moment of inertia
- Power supply : 5VDC, 12-24VDC ±5%
- Various output types

⚠ Please read "Caution for your safety" in operation manual before using.



■ Ordering information

E40 [H] [8] — [5000] — [3] — [N] — [24] — []

Series	Shaft type	Hollow type	Pulse/1Revolution	Output phase	Output	Power supply	Cable
S: Shaft type	External	Inner		2: A, B	T: Totem pole output	5 : 5VDC ±5%	No mark: Cable type
H: Hollow type		6: ø6mm 8: ø8mm	Series	3: A, B, Z	N: NPN open collector output	24: 12-24VDC ±5%	C: Connector cable type(※)
HB: Hollow built-in type		8: ø8mm 10: ø10mm 12: ø12mm		4: A, \bar{A} , B, \bar{B} 6: A, \bar{A} , B, B, Z, \bar{Z}	V: Voltage output L: Line driver output		

※Standard: E40S6-[PULSE]-3-N-24, E40H8-[PULSE]-3-N-24

E40HB8-[PULSE]-3-N-24

※Standard: A, B, Z

※Cable length:
: 250mm

■ Specifications

Item	Diameter ø40mm shaft/hollow shaft/hollow built-in type of incremental rotary encoder													
Resolution(P/R) ^{※1}	*1, *2, *5, 10, *12, 15, 20, 23, 25, 30, 35, 40, 45, 50, 60, 75, 100, 120, 150, 192, 200, 240, 250, 256, 300, 360, 400, 500, 512, 600, 800, 1000, 1024, 1200, 1500, 1800, 2000, 2048, 2500, 3000, 3600, 5000 (Not indicated resolution is customizable.)													
Output phase	A, B, Z phase(Line driver A, \bar{A} , B, \bar{B} , Z, \bar{Z} phase)													
Phase difference of output	Phase difference between A and B : $\frac{T}{4} \pm \frac{T}{8}$ (T=1cycle of A phase)													
Control output	<table border="1"> <tr> <td>Totem pole output</td> <td>• Low - Load current:Max. 30mA, Residual voltage : Max. 0.4VDC • High - Load current:Max. 10mA, Output voltage(Power voltage 5VDC): Min. (Power voltage-2.0)VDC, Output voltage(Power voltage 12-24VDC):Min. (Power voltage-3.0)VDC</td> </tr> <tr> <td>NPN open collector output</td><td>Load current : Max. 30mA, Residual voltage : Max. 0.4VDC</td> </tr> <tr> <td>Voltage output</td><td>Load current : Max. 10mA, Residual voltage : Max. 0.4VDC</td> </tr> <tr> <td>Line driver output</td><td>• Low - Load current : Max. 20mA, Residual voltage : Max. 0.5VDC • High - Load current : -20mA, Output voltage(Power voltage 5VDC): Min. 2.5VDC, Output voltage(Power voltage 12-24VDC): Min. (Power voltage-3.0)VDC</td> </tr> </table>			Totem pole output	• Low - Load current:Max. 30mA, Residual voltage : Max. 0.4VDC • High - Load current:Max. 10mA, Output voltage(Power voltage 5VDC): Min. (Power voltage-2.0)VDC, Output voltage(Power voltage 12-24VDC):Min. (Power voltage-3.0)VDC	NPN open collector output	Load current : Max. 30mA, Residual voltage : Max. 0.4VDC	Voltage output	Load current : Max. 10mA, Residual voltage : Max. 0.4VDC	Line driver output	• Low - Load current : Max. 20mA, Residual voltage : Max. 0.5VDC • High - Load current : -20mA, Output voltage(Power voltage 5VDC): Min. 2.5VDC, Output voltage(Power voltage 12-24VDC): Min. (Power voltage-3.0)VDC			
Totem pole output	• Low - Load current:Max. 30mA, Residual voltage : Max. 0.4VDC • High - Load current:Max. 10mA, Output voltage(Power voltage 5VDC): Min. (Power voltage-2.0)VDC, Output voltage(Power voltage 12-24VDC):Min. (Power voltage-3.0)VDC													
NPN open collector output	Load current : Max. 30mA, Residual voltage : Max. 0.4VDC													
Voltage output	Load current : Max. 10mA, Residual voltage : Max. 0.4VDC													
Line driver output	• Low - Load current : Max. 20mA, Residual voltage : Max. 0.5VDC • High - Load current : -20mA, Output voltage(Power voltage 5VDC): Min. 2.5VDC, Output voltage(Power voltage 12-24VDC): Min. (Power voltage-3.0)VDC													
Response time (Rise/Fall)	<table border="1"> <tr> <td>Totem pole output</td> <td>Max. 1μs</td> <td rowspan="2">• Measuring condition - Cable length : 2m, I sink = 20mA</td> </tr> <tr> <td>NPN open collector output</td> <td>Max. 1μs</td> </tr> <tr> <td>Voltage output</td> <td>Max. 0.5μs</td> <td></td> </tr> <tr> <td>Line driver output</td> <td>Max. 0.5μs</td> <td></td> </tr> </table>			Totem pole output	Max. 1μs	• Measuring condition - Cable length : 2m, I sink = 20mA	NPN open collector output	Max. 1μs	Voltage output	Max. 0.5μs		Line driver output	Max. 0.5μs	
Totem pole output	Max. 1μs	• Measuring condition - Cable length : 2m, I sink = 20mA												
NPN open collector output	Max. 1μs													
Voltage output	Max. 0.5μs													
Line driver output	Max. 0.5μs													
Max. Response frequency	300kHz													
Power supply	• 5VDC ±5%(Ripple P-P : Max. 5%) • 12-24VDC ±5%(Ripple P-P : Max. 5%)													
Current consumption	Max. 80mA(disconnection of the load), Line driver output : Max. 50mA(disconnection of the load)													
Insulation resistance	Min. 100MΩ(at 500VDC megger between all terminals and case)													
Dielectric strength	750VAC 50/60Hz for 1 minute(Between all terminals and case)													
Connection	Cable type, 250mm connector cable type													
Starting torque	Shaft type : Max. 40gf·cm(0.004N·m), Hole type : Max. 50gf·cm(0.005N·m)													
Moment of inertia	Max. 40g·cm ² (4×10 ⁻⁶ kg·m ²)													
Shaft loading	Radial : Max. 2kgf, Thrust : Max. 1kgf													
Max. allowable revolution ^{※2}	5000rpm													
Vibration	1.5mm amplitude or 300m/s ² at frequency of 10 to 55Hz(for 1 min.) in each of X, Y, Z directions for 2 hours													
Shock	Approx. Max. 50G													
Environment	Ambient temperature	-10 to 70°C, storage : -25 to 85°C												
	Ambient humidity	35 to 85%RH, storage : 35 to 90%RH												
Protection	IP50(IEC standard) ※Option type is available for IP64 (IEC standard).													
Cable	ø5, 5-wire, Length : 2m, Shield cable(Line driver output : ø5, 8-wire)(AWG24, Core diameter: 0.08, Number of cores: 40, Insulator out diameter: ø1)													
Accessory	• Shaft type : ø6mm coupling standard, ø8mm coupling(Sold separately) • Hole type : Bracket													
Approval	CE (Except line driver output)													
Unit weight	Approx. 160g													

※1: *' pulse is only for A, B phase(Line Driver output is for A, \bar{A} , B, \bar{B} phase)

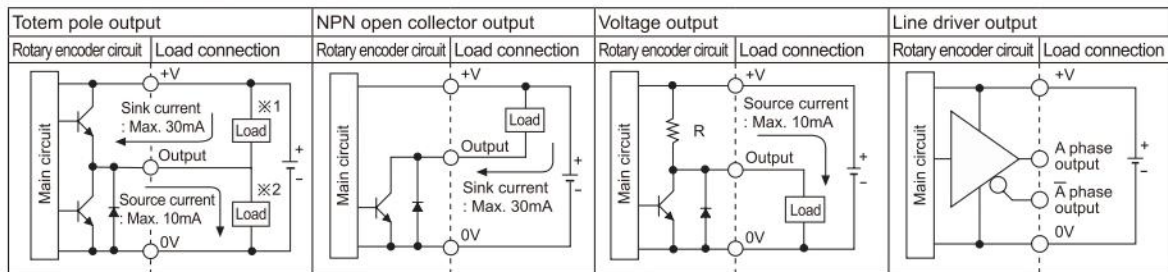
※2: Make sure that. Max response revolution should be lower than or equal to max. allowable revolution when selecting the resolution.

$$\text{Max. response frequency} = \frac{\text{Max. response revolution(rpm)}}{\text{Resolution}} \times 60 \text{ sec}$$

※Environment resistance is rated at no freezing or condensation.

Incremental ø40mm Shaft/Hollow Shaft/Built-in type

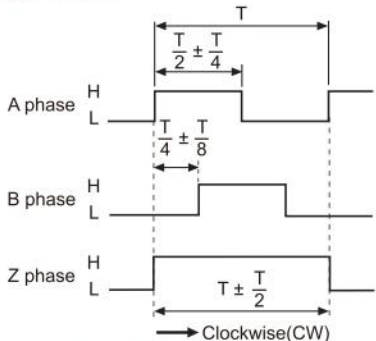
■ Control output diagram



- Totem pole output type can be used for NPN open collector output type(X1) or Voltage output type(X2).
- All output circuits of A, B, Z phase are the same. (Line driver output is A, \bar{A} , B, \bar{B} , Z, \bar{Z})

■ Output waveform

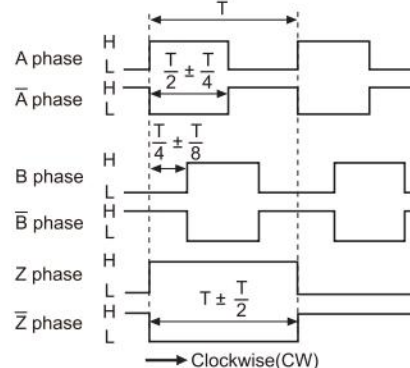
- Totem pole output / NPN open collector output / Voltage output



※Z phase output is option.

※CW : Right turn as from the shaft.

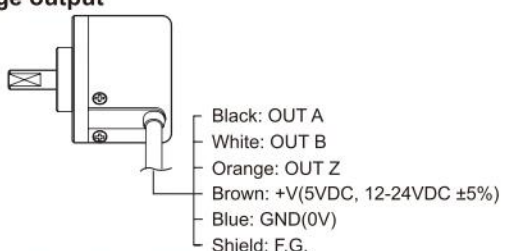
- Line driver output



■ Connections

◎ Cable type

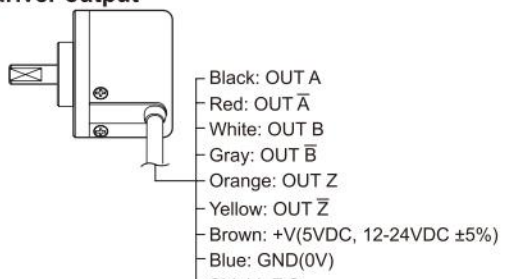
- Totem pole output / NPN open collector output / Voltage output



※Unused wires must be insulated.

※The metal case and shield wire of encoder should be grounded(F.G.).

• Line driver output



◎ Connector cable type

- Totem pole output / NPN open collector output / Voltage output

• Line driver output

Totem pole output/ NPN open collector output/ Voltage output			Line driver output		
Pin No	Function	Cable color	Pin No	Function	Cable color
①	OUT A	Black	①	OUT A	Black
②	OUT B	White	②	OUT \bar{A}	Red
③	OUT Z	Orange	③	+V	Brown
④	+V	Brown	④	GND	Blue
⑤	GND	Blue	⑤	OUT B	White
⑥	F.G.	Shield	⑥	OUT \bar{B}	Gray
			⑦	OUT Z	Orange
			⑧	OUT \bar{Z}	Yellow
			⑨	F.G.	Shield

※F.G.(Field Ground): It should be grounded separately.

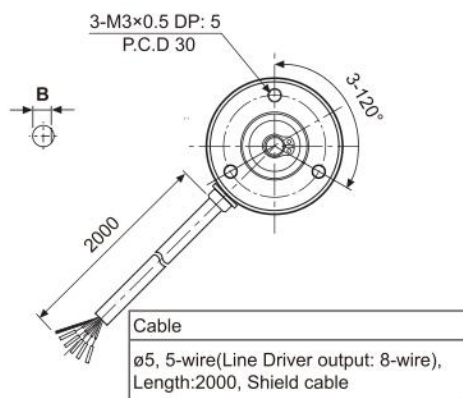
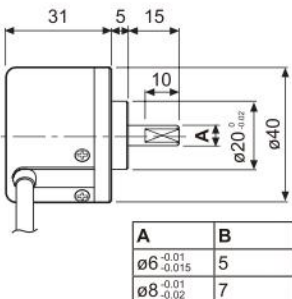
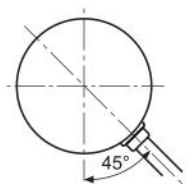
- (A) Photo electric sensor
- (B) Fiber optic sensor
- (C) Door/Area sensor
- (D) Proximity sensor
- (E) Pressure sensor
- (F) Rotary encoder
- (G) Connector/Socket
- (H) Temp. controller
- (I) SSR/Power controller
- (J) Counter
- (K) Timer
- (L) Panel meter
- (M) Tacho/Speed/Pulse meter
- (N) Display unit
- (O) Sensor controller
- (P) Switching mode power supply
- (Q) Stepper motor&Driver&Controller
- (R) Graphic/Logic panel
- (S) Field network device
- (T) Software
- (U) Other

E40 Series

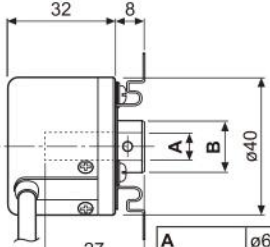
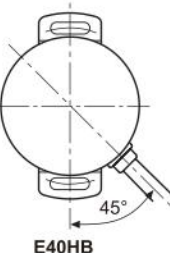
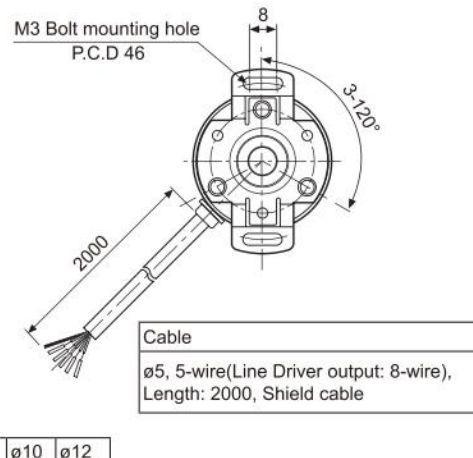
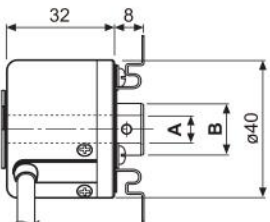
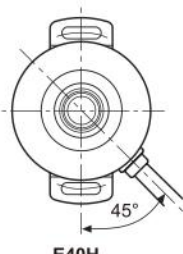
■ Dimensions

◎ Cable type

• Shaft type



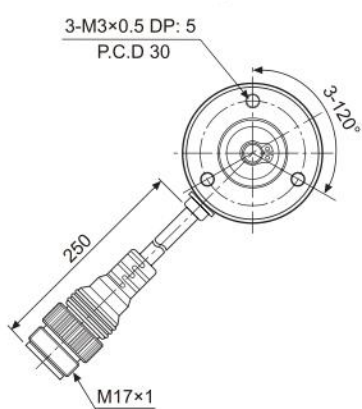
• Hollow shaft / Hollow shaft built-in type



Tolerance

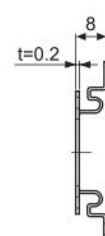
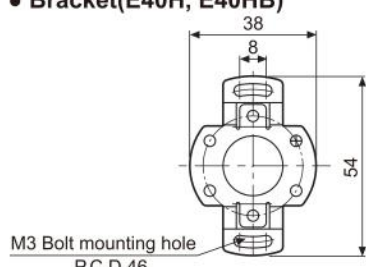
$^{+0.015}$
 0

◎ Connector cable type



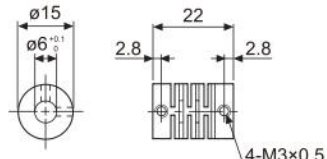
※Connector cable is customizable and refer to the G-10 for specifications.

• Bracket(E40H, E40HB)



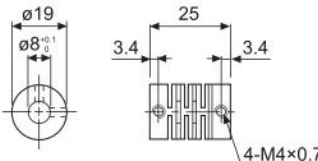
• Coupling(E40S)

• Ø6 Coupling



- Parallel misalignment : Max. 0.25mm
- Angular misalignment: Max. 5°
- End-play: Max. 0.2mm

• Ø8 Coupling



- For parallel misalignment, angular misalignment, end-play terms, refer to the F-78 page.
- For flexible coupling(ERB Series) information, refer to the F-71 page.

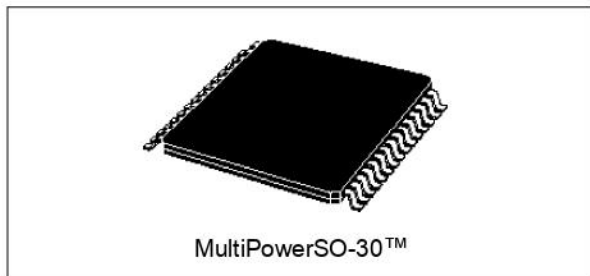


life.augmented

VNH2SP30-E

Automotive fully integrated H-bridge motor driver

Datasheet - production data



Features

Type	$R_{DS(on)}$	I_{out}	V_{ccmax}
VNH2SP30-E	19 mΩ max (per leg)	30 A	41 V

- AEC-Q100 qualified
- 5 V logic level compatible inputs
- Undervoltage and overvoltage shutdown
- Overvoltage clamp
- Thermal shutdown
- Cross-conduction protection
- Linear current limiter
- Very low standby power consumption
- PWM operation up to 20 kHz
- Protection against loss of ground and loss of V_{cc}
- Current sense output proportional to motor current
- Package: ECOPACK®



using STMicroelectronics well known and proven proprietary VIPower™ M0 technology which permits efficient integration on the same die of a true power MOSFET with intelligent signal/protection circuitry.

The low side switches are vertical MOSFETs manufactured using STMicroelectronics proprietary EHD (STripFET™) process. The three die are assembled in a MultiPowerSO-30 package on electrically isolated leadframes. This package, specifically designed for the harsh automotive environments, offers improved thermal performance thanks to exposed die pads. Moreover, its fully symmetrical mechanical design allows superior manufacturability at board level. The input signals IN_A and IN_B can directly interface with the microcontroller to select the motor direction and brake condition. The $DIAG_A/EN_A$ or $DIAG_B/EN_B$, when connected to an external pull-up resistor, enable one leg of the bridge. They also provide a feedback digital diagnostic signal. The normal operating condition is explained in the truth table. The motor current can be monitored with the CS pin by delivering a current proportional to its value. The speed of the motor can be controlled in all possible conditions by the PWM up to 20 kHz. In all cases, a low level state on the PWM pin will turn off both the LS_A and LS_B switches. When PWM rises to a high level, LS_A or LS_B turn on again depending on the input pin state.

Table 1. Device summary

Package	Order code
	Tape and reel
MultiPowerSO-30	VNH2SP30TR-E

Description

The VNH2SP30-E is a full bridge motor driver intended for a wide range of automotive applications. The device incorporates a dual monolithic high side driver and two low side switches. The high side driver switch is designed

1 Block diagram and pin description

Figure 1. Block diagram

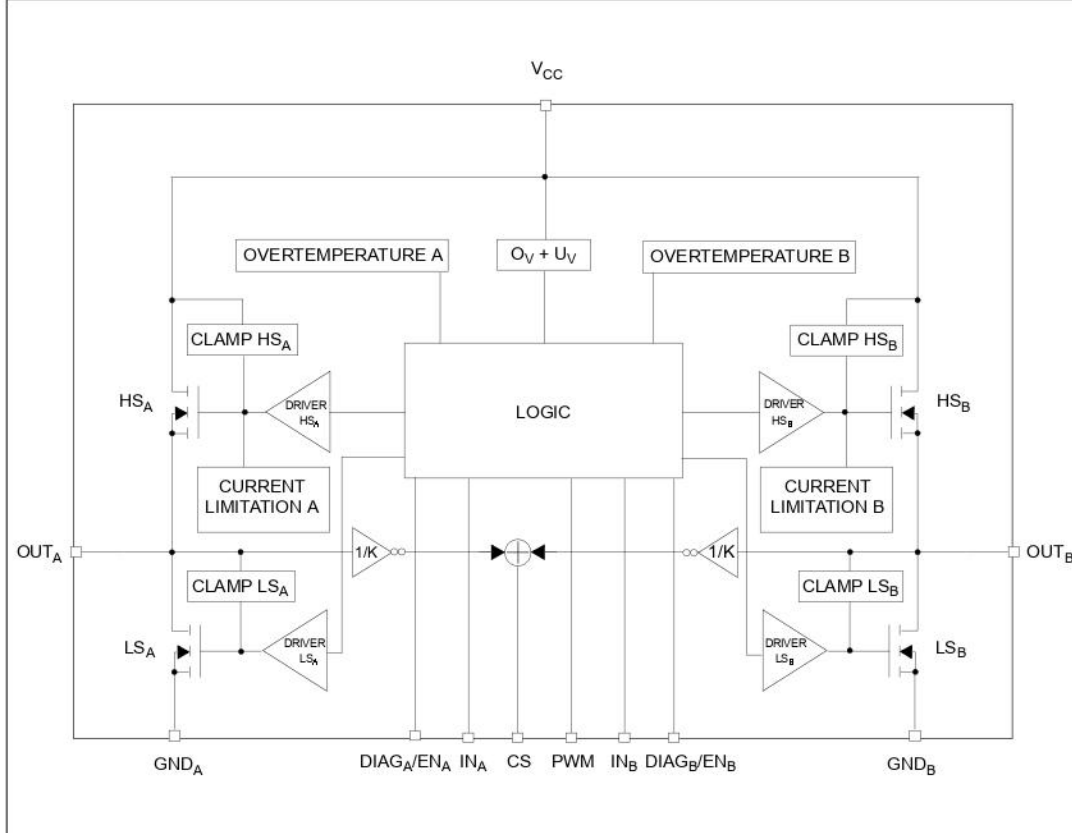
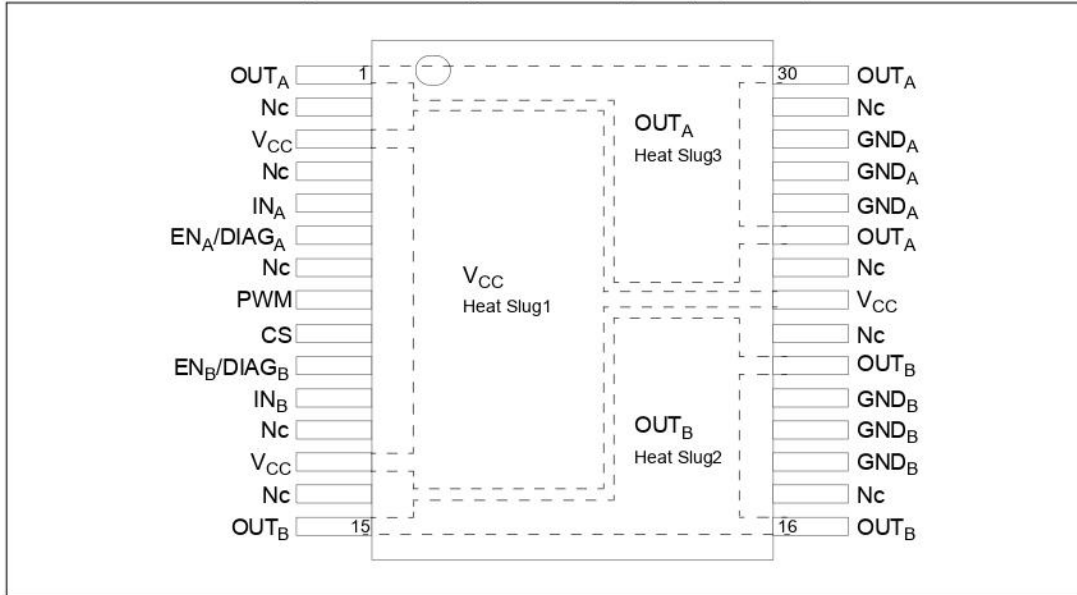


Table 2. Block description

Name	Description
Logic control	Allows the turn-on and the turn-off of the high side and the low side switches according to the truth table
Overvoltage + undervoltage	Shuts down the device outside the range [5.5V..16V] for the battery voltage
High side and low side clamp voltage	Protects the high side and the low side switches from the high voltage on the battery line in all configurations for the motor
High side and low side driver	Drives the gate of the concerned switch to allow a proper $R_{DS(on)}$ for the leg of the bridge
Linear current limiter	Limits the motor current by reducing the high side switch gate-source voltage when short-circuit to ground occurs
Overtemperature protection	In case of short-circuit with the increase of the junction's temperature, shuts down the concerned high side to prevent its degradation and to protect the die
Fault detection	Signals an abnormal behavior of the switches in the half-bridge A or B by pulling low the concerned EN _x /DIAG _x pin

Block diagram and pin description**VNH2SP30-E****Figure 2. Configuration diagram (top view)****Table 3. Pin definitions and functions**

Pin no.	Symbol	Function
1, 25, 30	OUT _A , Heat Slug3	Source of high side switch A / Drain of low side switch A
2, 4, 7, 12, 14, 17, 22, 24, 29	NC	Not connected
3, 13, 23	V _{CC} , Heat Slug1	Drain of high side switches and power supply voltage
6	EN _A /DIAG _A	Status of high side and low side switches A; open drain output
5	IN _A	Clockwise input
8	PWM	PWM input
9	CS	Output of current sense
11	IN _B	Counter clockwise input
10	EN _B /DIAG _B	Status of high side and low side switches B; open drain output
15, 16, 21	OUT _B , Heat Slug2	Source of high side switch B / Drain of low side switch B
26, 27, 28	GND _A	Source of low side switch A ⁽¹⁾
18, 19, 20	GND _B	Source of low side switch B ⁽¹⁾

1. GND_A and GND_B must be externally connected together.

VNH2SP30-E

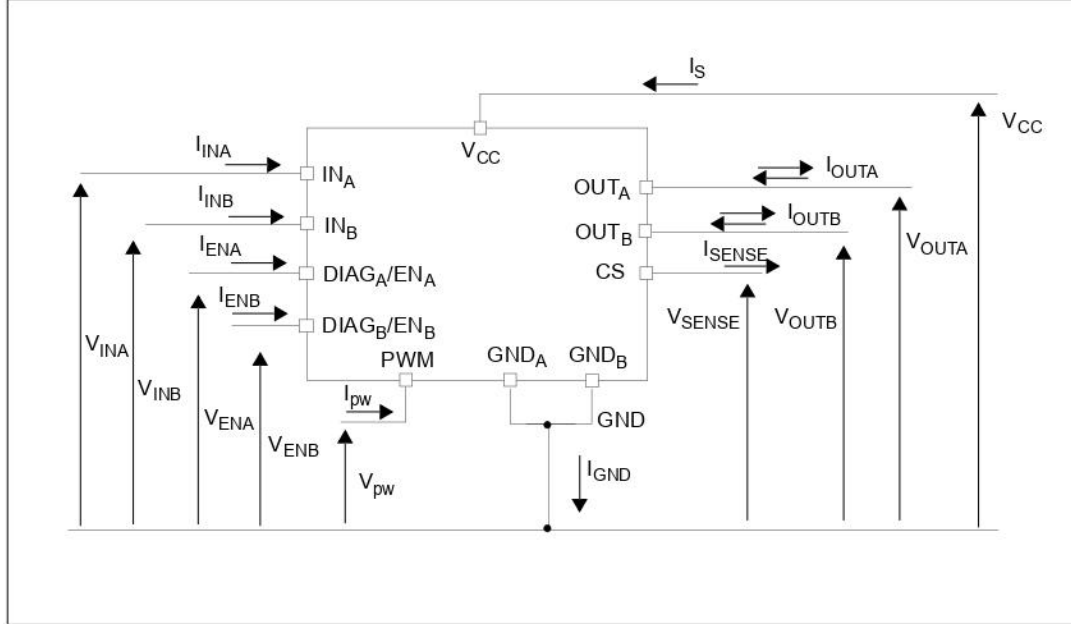
Block diagram and pin description

Table 4. Pin functions description

Name	Description
V_{CC}	Battery connection
GND_A , GND_B	Power grounds; must always be externally connected together
OUT_A , OUT_B	Power connections to the motor
IN_A , IN_B	Voltage controlled input pins with hysteresis, CMOS compatible. These two pins control the state of the bridge in normal operation according to the truth table (brake to V_{CC} , brake to GND, clockwise and counterclockwise).
PWM	Voltage controlled input pin with hysteresis, CMOS compatible. Gates of low side FETs are modulated by the PWM signal during their ON phase allowing speed control of the motor.
$EN_A/DIAG_A$, $EN_B/DIAG_B$	Open drain bidirectional logic pins. These pins must be connected to an external pull up resistor. When externally pulled low, they disable half-bridge A or B. In case of fault detection (thermal shutdown of a high side FET or excessive ON state voltage drop across a low side FET), these pins are pulled low by the device (see truth table in fault condition).
CS	Analog current sense output. This output sources a current proportional to the motor current. The information can be read back as an analog voltage across an external resistor.

2 Electrical specifications

Figure 3. Current and voltage conventions



2.1 Absolute maximum ratings

Table 5. Absolute maximum ratings

Symbol	Parameter	Value	Unit
V _{CC}	Supply voltage	+41	V
I _{max}	Maximum output current (continuous)	30	A
I _R	Reverse output current (continuous)	-30	
I _{IN}	Input current (IN _A and IN _B pins)	±10	mA
I _{EN}	Enable input current (DIAG _A /EN _A and DIAG _B /EN _B pins)	±10	
I _{PW}	PWM input current	±10	
V _{CS}	Current sense maximum voltage	-3/+15	V
V _{ESD}	Electrostatic discharge (R = 1.5kΩ, C = 100pF) – CS pin – logic pins – output pins: OUT _A , OUT _B , V _{CC}	2 4 5	kV
T _j	Junction operating temperature	Internally limited	
T _c	Case operating temperature	-40 to 150	°C
T _{STG}	Storage temperature	-55 to 150	

VNH2SP30-E

Electrical specifications

2.2 Electrical characteristics

$V_{CC} = 9V$ up to 16 V; $-40^{\circ}C < T_j < 150^{\circ}C$, unless otherwise specified.

Table 6. Power section

Symbol	Parameter	Test conditions	Min	Typ	Max	Unit
V_{CC}	Operating supply voltage		5.5		16	V
I_S	Supply current	Off state with all Fault Cleared & $EN_x=0$ $IN_A = IN_B = PWM = 0$; $T_j = 25^{\circ}C$; $V_{CC} = 13V$		12	30	μA
		$IN_A = IN_B = PWM = 0$ Off state: $IN_A = IN_B = PWM = 0$		60	2	μA
R_{ONHS}	Static high side resistance	$I_{OUT} = 15A$; $T_j = 25^{\circ}C$			14	$m\Omega$
		$I_{OUT} = 15A$; $T_j = -40$ to $150^{\circ}C$			28	
R_{ONLS}	Static low side resistance	$I_{OUT} = 15A$; $T_j = 25^{\circ}C$			5	$m\Omega$
		$I_{OUT} = 15A$; $T_j = -40$ to $150^{\circ}C$			10	
V_f	High side free-wheeling diode forward voltage	$I_f = 15A$		0.8	1.1	V
$I_{L(off)}$	High side off state output current (per channel)	$T_j = 25^{\circ}C$; $V_{OUTX} = EN_x = 0V$; $V_{CC} = 13V$			3	μA
		$T_j = 125^{\circ}C$; $V_{OUTX} = EN_x = 0V$; $V_{CC} = 13V$			5	
I_{RM}	Dynamic cross-conduction current	$I_{OUT} = 15A$ (see Figure 7)		0.7		A

Table 7. Logic inputs (IN_A , IN_B , EN_A , EN_B)

Symbol	Parameter	Test conditions	Min	Typ	Max	Unit
V_{IL}	Input low level voltage	Normal operation ($DIAG_X/EN_X$ pin acts as an input pin)			1.25	V
V_{IH}	Input high level voltage		3.25			
V_{IHYST}	Input hysteresis voltage		0.5			
V_{ICL}	Input clamp voltage	$I_{IN} = 1mA$	5.5	6.3	7.5	μA
		$I_{IN} = -1mA$	-1.0	-0.7	-0.3	
I_{INL}	Input low current	$V_{IN} = 1.25V$	1			μA
I_{INH}	Input high current	$V_{IN} = 3.25V$			10	
V_{DIAG}	Enable output low level voltage	Fault operation ($DIAG_X/EN_X$ pin acts as an output pin); $I_{EN} = 1mA$			0.4	V